

પ્રકરણ ચાર

ગતિમાન વિદ્યુતભારો અને ચુંબકત્વ (MOVING CHARGES AND MAGNETISM)



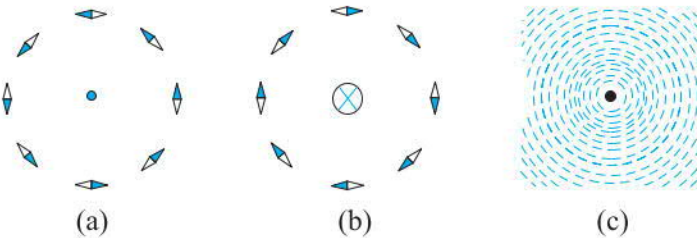
4.1 પ્રસ્તાવના (INTRODUCTION)

વિદ્યુત અને ચુંબકત્વ બંને લગભગ 2000 કરતાં વધુ વર્ષથી જાહીતા છે. આમ છતાં, 1820માં, આશરે 200 વર્ષ પહેલાં, સ્પષ્ટ રીતે જાણવા મળ્યું કે તે બંને એકનીજા સાથે ગાઢ રીતે સંકળાયેલા છે*. 1820ના ઉનાળામાં પિરિયડ દરમિયાન પ્રાયોગિક નિર્દર્શન કરતી વખતે, ડેનિશ બૌતિકશાસ્ત્રી હાન્સ કિશ્ચિયન ઓસ્ટેડ (Hans Christian Oersted) અનુભવ્યું કે સીધા તારમાંથી વિદ્યુતપ્રવાહ પસાર કરતી વખતે તેની બાજુમાં રહેલી ચુંબકીય સોયમાં નોંધપાત્ર કોણાવર્તન થાય છે. તેમણે આ ઘટનાની શોધ કરી. તેમણે શોધ્યું કે ચુંબકીય સોયનું કોણાવર્તન સીધા તારને કેન્દ્ર તરીકે ગણતાં તારને લંબસમતલમાં રહેલા કાલ્પનિક વર્તુળના સ્પર્શકની દિશામાં હોય છે. આ પરિસ્થિતિ આદૃતિ 4.1(a) માં દર્શાવી છે. જ્યારે વિદ્યુતપ્રવાહ મોટો હોય અને ચુંબકીય સોય તારથી પુરતી નજીક હોય કે જેથી પૃથ્વીનું ચુંબકીયક્ષેત્ર અવગણી શકાય ત્યારે આમ અનુભવી શકાય છે. પ્રવાહની દિશા ઉલટાવીએ તો સોયનું કોણાવર્તન પણ ઉલટાઈ જાય છે [આદૃતિ 4.1(b)]. પ્રવાહ વધારતાં અથવા ચુંબકીય સોયને તારની નજીક લાવતાં કોણાવર્તન વધે છે. લોખંડની કણીઓ (ભૂકો) તારની આજુબાજુમાં ભભરાવવામાં આવે તો તાર કેન્દ્રમાં રહે તે રીતે કણીઓ સમકેન્દ્રી વર્તુળોમાં ગોઠવાય છે [આદૃતિ 4.1(c)]. ઓસ્ટેડ તારવ્યું કે ગતિમાન વિદ્યુતભાર અથવા પ્રવાહો તેમની આસપાસના અવકાશમાં ચુંબકીયક્ષેત્ર ઉત્પન્ન કરે છે.

ત્યારબાદ આવા પ્રયોગોની ઘટમાળ ચાલી. 1864માં જેમ્સ મેક્સવેલે વિદ્યુત અને ચુંબકત્વ જે નિયમોનું પાલન કરે છે તે નિયમો તારવ્યા તથા ત્યારબાદ એવી અનુભૂતિ કરી કે પ્રકાશ એ વિદ્યુતચુંબકીય

* પ્રકરણ 1, પાના નંબર 3 પરના બોક્સમાં જુઓ.

તરંગો છે. રેડિયો તરંગોની શોધ હટેજે કરી અને 19મી સદીના અંતભાગમાં છે. સી. બોઝ તથા જી. માર્કોનીએ તેને ઉત્પન્ન કરી બતાવ્યા. 20મી સદીમાં વિજ્ઞાન અને ટેકનોલોજીએ હરણફાળ ભરી. વિદ્યુત ચુંબકત્વ વિશે વધુ માહિતી પ્રાપ્ત થતાં તથા વિદ્યુતચુંબકીય તરંગો ઉત્પન્ન કરવા, વિવર્ધીત કરવા, તેનું પ્રસારણ અને પરખ (Detection, તેમની હાજરીની નોંધ) કરવા માટેનાં સાધનોની શોધને કારણે આ શક્ય બન્યું.



આકૃતિ 4.1 સીધા-લાંબા વિદ્યુતપ્રવાહધારિત તારને લીધે ઉદ્ભવતું ચુંબકીયક્ષેત્ર. તાર આ પાનાના પૃષ્ઠને લંબરૂપે છે. ચુંબકીય સોય તારની આજુબાજુ ગોઠવાયેલ છે. ચુંબકીય સોયોનું કોણાવર્તન (a) જ્યારે વિદ્યુતપ્રવાહ પાનાના પૃષ્ઠમાંથી બહાર તરફ આવતો હોય, (b) જ્યારે વિદ્યુતપ્રવાહ પાનાના પૃષ્ઠમાં અંદર તરફ જતો હોય, (c) લોંઘંડની કણીઓ (બૂકો)ની તારની આસપાસ ગોઠવણી. ચુંબકીય સોયનો ઘડ ભાગ તેમનો ઉત્તરધ્રુવ દર્શાવે છે. પૃથ્વીના ચુંબકીયક્ષેત્રની અસર અવગણેલ છે.

ગતિ કરતા વિદ્યુતભારો જેવા કે ઈલેક્ટ્રોન, પ્રોટોન અને વિદ્યુતપ્રવાહ વહન કરતાં તાર પર ચુંબકીયક્ષેત્ર કેવી રીતે બળ લગાડે છે તે આપણે આ પ્રકરણમાં જોઈશું. આપણે એ પણ શીખીશું કે વિદ્યુતપ્રવાહ કેવી રીતે ચુંબકીયક્ષેત્ર ઉત્પન્ન કરે છે. સાઈક્લોટ્રોનમાં (વિદ્યુતભારીત) કણોને ખૂબ ઊંચી ઊર્જાઓ સુધી કેવી રીતે પ્રવેણિત કરી શકાય તે જોઈશું. ગેલ્વેનોમીટરની મદદથી વિદ્યુતપ્રવાહો અને વીજદબાણ (વોલ્ટેજ)ની પરખ કેવી રીતે કરી શકાય તે પણ શીખીશું.

આ પ્રકરણ અને તે પછીના ચુંબકત્વના પ્રકરણમાં આપણે નીચે આપેલી રૂઢિ (પ્રણાલિકા, Convention) અનુસરીશું. પાનાના પૃષ્ઠમાંથી બહાર તરફ નીકળતા વિદ્યુતપ્રવાહ કે ક્ષેત્ર (વિદ્યુત કે ચુંબકીય)ને ટ્યકાં ઠ વડે દર્શાવીશું. પાનાના પૃષ્ઠમાં પ્રવેશતા વિદ્યુતપ્રવાહ કે ક્ષેત્રને ચોકડી ઠ વડે દર્શાવીશું*. આકૃતિઓ 4.1(a) અને 4.1(b)માં આ પરિસ્થિતિઓ, અનુક્રમે દર્શાવી છે.

4.2 ચુંબકીયભળ (MAGNETIC FORCE)

4.2.1 ઉદ્ગમો અને ક્ષેત્રો (Sources and Fields)

ચુંબકીયક્ષેત્ર **B**નો પરિયય કરતાં પહેલાં આપણે પ્રકરણ-1માં વિદ્યુતક્ષેત્ર **E** વિશે જે ભાજ્યા તે યાદ કરી લઈએ. આપણે જોયું હતું કે બે વિદ્યુતભારો વચ્ચેની આંતરક્ષીય બે ભાગમાં સમજ શકાય છે. વિદ્યુતક્ષેત્રનું ઉદ્ગમ એવો વિદ્યુતભાર **Q**, વિદ્યુતક્ષેત્ર **E** ઉત્પન્ન કરે છે જ્યાં,



હાન્સ કિશ્ચિયન ઓર્સ્ટેડ (1777-1851) ડેનિશ ભौતિકશાસ્ત્રી અને રસાયણશાસ્ત્રી, જે કોપનહેનમાં પ્રોફેસર હતાં. તેમણે અનુભવ્યું કે વિદ્યુતપ્રવાહધારિત તાર પાસે ચુંબકીય સોય લાવતાં તે કોણાવર્તન અનુભવે છે. આ શોધ દ્વારા વિદ્યુત અને ચુંબકીય ઘટનાઓ વચ્ચે સંકલન હોવાની સૌંપ્રથમ માહિતી મળી.

* ટપું જાણે કે તીરની અણી આપણી તરફ રાખી હોય તેમ દેખાય છે. જ્યારે ચોકડી એ જાણે કે પુછ પર પીંછાં ધરાવતું તીર આપણાથી દૂરની તરફ ગતિ કરે છે એમ દેખાય છે.



હेन्रीક अंटुन लोरेन्ज (Hendrik Antoon Lorentz) (1853-1928) ડય સૈદ્વાંતિક ભૌતિકશાસ્ત્રી અને લેઈડનમાં પ્રોફેસર તેણે વિદ્યુત, ચુંબકત્વ અને ગતિશાસ્ત્ર વચ્ચેના સંબંધો શોધ્યા હતા. ચુંબકીયક્ષેત્રના કારણો મુજબ કાશના ઉત્ત્સર્જ કો (Emitters) પર જોવા મળેલી ચુંબકીય ક્ષેત્રોની અસર (જીમાન અસર) ને સમજાવવા તેણે પરમાણુમાં વિદ્યુતભારો હોવાની સંકલ્પના કરી હતી. જે માટે તેને 1902માં નોભેલ પારિતોષિક અનાયત થયું હતું. તેણે ગૂંઘવણાબંધી ગાણિતિક દલીલો વડે પરિવર્તન (Transformation) સમીકરણો તારવા હતા (જે તેના માનમાં લોરેન્જ પરિવર્તન સમીકરણો તરીકે જાણીતા થયા) પરંતુ તે જાણતો ન હતો કે આ સમીકરણો અવકાશ અને સમયના નવા ઘ્યાલ (Concept) તરફ દોરી જશે.

હેન્રીક અંટુન લોરેન્જ (Hendrik Antoon Lorentz) (1853-1928)

$$\mathbf{E} = Q\hat{\mathbf{r}} / (4\pi\epsilon_0)r^2 \quad (4.1)$$

જ્યાં $\hat{\mathbf{r}}$ એ રાની દિશામાંનો એકમ સદિશ છે અને ક્ષેત્ર \mathbf{E} એ સદિશ ક્ષેત્ર છે. વિદ્યુતભાર q આ ક્ષેત્ર સાથે આંતરકિયા કરે છે અને બળ \mathbf{F} અનુભવે છે, જેનું સમીકરણ

$$\mathbf{F} = q\mathbf{E} = qQ\hat{\mathbf{r}} / (4\pi\epsilon_0)r^2 \quad (4.2)$$

વડે અપાય છે. પ્રકરણ-1માં દર્શાવ્યું હતું તેમ ક્ષેત્ર \mathbf{E} કોઈ માનવસર્જિત વસ્તુ નથી પરંતુ તેનું ભૌતિક મહત્વ છે. તે ઊર્જા અને વેગમાનને વહન કરી શકે છે, તથા તે તત્કષણ ઉદ્ભબત્વનું (સ્થાપિત થતું) નથી, પરંતુ તે વહન માટે ચોક્કસ સમય લે છે. ક્ષેત્રના આ ઘ્યાલનો ફેરફારે વિશેષ આગ્રહ રાખ્યો હતો અને મેક્સવેલે વિદ્યુત અને ચુંબકત્વના એકીકૃતિકરણ (Unification)માં તેનો ઉપયોગ કર્યો હતો. અવકાશના દરેક બિંદુ (સ્થાન) પર આધારિત હોવા ઉપરાંત તે સમય સાથે પણ બદલાઈ શકે છે, એટલે કે તે સમયનું વિધેય પણ હોઈ શકે છે. આ પ્રકરણમાં આપડી ચર્ચા દરમ્યાન આપણે માનીશું કે આ ક્ષેત્રો સમય સાથે બદલાતાં નથી.

કોઈ એક બિંદુએ વિદ્યુતક્ષેત્ર, એક કે વધુ વિદ્યુતભારોના કારણો હોઈ શકે. જો વધારે વિદ્યુતભારો હાજર હોય તો આ ક્ષેત્રોનો સદિશ સરવાળો થાય છે. પ્રકરણ-1માં તમે શીખ્યા કે આને સંપાતપણાનો સિદ્ધાંત કરે છો. એક વખત ક્ષેત્ર જાણવા મળે એટલે પરીક્ષણ વિદ્યુતભાર (Test Charge) પર લાગતું બળ, સમીકરણ (4.2) પરથી મેળવી શકાય છે.

જેવી રીતે સ્થિર વિદ્યુતભારો વિદ્યુતક્ષેત્ર ઉત્પન્ન કરે છે, તેવી રીતે વિદ્યુતપ્રવાહો કે ગતિમાન વિદ્યુતભારો (વધારાનું) ચુંબકીયક્ષેત્ર ઉત્પન્ન કરે છે. તેને $\mathbf{B(r)}$ વડે દર્શાવાય છે, જે પણ સદિશક્ષેત્ર છે. તેને વિદ્યુતક્ષેત્ર જેવા કેટલાક મૂળભૂત ગુણધર્મો છે. તે અવકાશના દરેક બિંદુએ વ્યાખ્યાયિત કરી શકાય છે (અને તે પણ સમય પર આધારિત હોઈ શકે છે). પ્રાયોગિક રીતે, તે સંપાતપણાના સિદ્ધાંતને અનુસરે છે તેમ માલુમ પડ્યું છે. ઘણા બધા ચુંબકીય ઉદ્ગમોનું ચુંબકીયક્ષેત્ર દરેક ઉદ્ગમના સ્વતંત્ર ચુંબકીયક્ષેત્રના સદિશ સરવાળા જેટલું હોય છે.

4.2.2 ચુંબકીયક્ષેત્ર, લોરેન્જબળ

(Magnetic Field, Lorentz Force)

ધારો કે વિદ્યુતક્ષેત્ર $\mathbf{E(r)}$ અને ચુંબકીયક્ષેત્ર $\mathbf{B(r)}$ ની હાજરીમાં કોઈ એક બિંદુવત વિદ્યુતભાર q (\mathbf{v} વેગથી ગતિ કરતો અને \mathbf{r} સમયે \mathbf{r} સ્થાને) રહેલો છે. આ બંનેના કારણે વિદ્યુતભાર q પર લાગતું બળ આ મુજબ લખી શકાય.

$$\mathbf{F} = q[\mathbf{E(r)} + \mathbf{v} \times \mathbf{B(r)}] = \mathbf{F}_{\text{વિદ્યુત}} + \mathbf{F}_{\text{ચુંબકીય}} \quad (4.3)$$

આ બળ સૌપ્રથમ એચ.એ. લોરેન્જે, એમ્પ્રિયર અને બીજાઓએ કરેલા ઘણા પ્રયોગોના આધારે દર્શાવ્યું હતું. તેને લોરેન્જ બળ કહે છે. વિદ્યુતક્ષેત્રના કારણે લાગતા બળ વિશે તમે વિગતવાર અભ્યાસ કર્યો હતો. જો આપણે ચુંબકીયક્ષેત્ર સાથેની પ્રતિક્રિયા જોઈએ તો આપણને આ મુજબની લાક્ષણિકતાઓ જાણવા મળે.

- તે q, \mathbf{v} અને \mathbf{B} (કણના વિદ્યુતભાર, વેગ અને ચુંબકીયક્ષેત્ર) પર આધાર રાખે છે. જ્યાં વિદ્યુતભાર પરનું બળ ધન વિદ્યુતભાર પરના બળ કરતાં વિરુદ્ધ દિશામાં હોય છે.

ગતિમાન વિદ્યુતભારો અને ચુંબકત્વ

- (ii) ચુંબકીય બળ $q[\mathbf{v} \times \mathbf{B}]$ એ વેગ અને ચુંબકીયક્ષેત્રનો સદિશ ગુણાકાર ધરાવે છે. સદિશ ગુણાકારના કારણે જ્યારે વેગ અને ચુંબકીયક્ષેત્ર એકનીજાને સમાંતર કે પ્રતિસમાંતર હોય ત્યારે ચુંબકીયક્ષેત્રના કારણે લાગતું બળ શૂન્ય થાય છે. આ બળ, વેગ અને ચુંબકીયક્ષેત્ર બંનેને લંબરૂપે લાગે છે. તેની દિશા સ્કૂના નિયમ કે જમણા હાથના સદિશ માટેના નિયમ (સદિશ ગુણાકાર) વડે આફૂતિ 4.2માં દર્શાવેલ છે.
- (iii) જો વિદ્યુતભાર ગતિ ન કરતાં હોય (કે જેથી $|\mathbf{v}| = 0$) તો ચુંબકીય બળ શૂન્ય હોય છે. ગતિમાન વિદ્યુતભાર જ ચુંબકીયક્ષેત્ર અનુભવી શકે છે.

જો ચુંબકીય બળ માટેના સમીકરણ

$$F = q[\mathbf{v} \times \mathbf{B}] = q v B \sin\theta \hat{n}$$

જ્યાં, θ એ \mathbf{v} અને \mathbf{B} વચ્ચેનો કોણ છે [જુઓ આફૂતિ 4.2(a)], માં આપણે q , \mathbf{F} અને \mathbf{v} બધાને એક એકમ લઈએ તો ચુંબકીય બળ માટેનું સૂત્ર ચુંબકીયક્ષેત્રનો એકમ વ્યાખ્યાયિત કરવા માટે મદદરૂપ થાય છે. જો ચુંબકીયક્ષેત્ર \mathbf{B} ને લંબ દિશામાં 1 m/sની ઝડપથી ગતિ કરતા એકમ વિદ્યુતભાર (1 C) પર લાગતું બળ એક ન્યૂટન હોય તો ચુંબકીયક્ષેત્ર Bનું મૂલ્ય 1 SI એકમ જેટલું હોય છે.

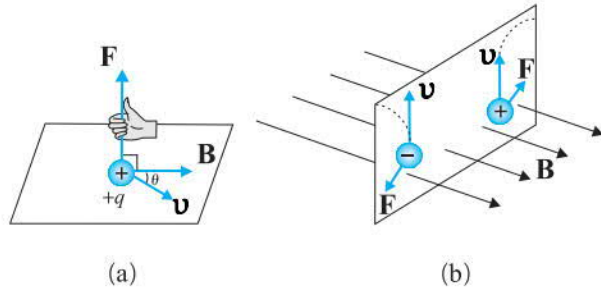
પરિમાણની રીતે $[B] = [F/qv]$ હોય છે અને B ના એકમો ન્યૂટન સેકન્ડ/કુલંબ મીટર (N s/C m) છે. આ એકમને નિકોલા ટેસ્લા (Nikola Tesla : 1856-1943)ના માનમાં ટેસ્લા (tesla (T)) વડે દર્શાવવામાં આવે છે. ટેસ્લા મોટો એકમ છે. એક નાનો એકમ (SI એકમ નથી) જેને ગોંસ ($= 10^{-4}$ ટેસ્લા) કહેવાય છે, તે પણ ઉપયોગમાં લેવાય છે. પૃથ્વીનું ચુંબકીયક્ષેત્ર આશરે 3.6×10^{-5} T જેટલું છે. કોઈક 4.1માં બ્રહ્માંડમાં વિશાળ વિસ્તારોમાંના ચુંબકીયક્ષેત્ર દર્શાવ્યાં છે.

કોષ્ટક 4.1 જુદી જુદી ભૌતિક પરિસ્થિતિઓમાં ચુંબકીયક્ષેત્રના માનના કમ

ભૌતિક પરિસ્થિતિ	B નું માન (ટેસ્લામાં)
ન્યુટ્રોન તારાની સપાઠી	10^8
કોઈ પ્રયોગશાળામાં મહત્તમ ક્ષેત્રનું મૂલ્ય	1
નાના લંબચોરસ ચુંબક (Bar Magnet)ની પાસે	10^{-2}
પૃથ્વીની સપાઠી પર	10^{-5}
મનુષ્યના ચેતા તંતુ	10^{-10}
તારાઓ વચ્ચેના અવકાશમાં	10^{-12}

4.2.3 વિદ્યુતપ્રવાહ ધારિત વાહક પર લાગતું ચુંબકીય બળ (Magnetic Force on a Current-Carrying Conductor)

આપણે કોઈ એક ગતિમાન વિદ્યુતભાર પર ચુંબકીયક્ષેત્રના કારણે લાગતા બળનું વિશ્લેષણ આગળ વધારીને વિદ્યુતપ્રવાહધારિત સીધા સળીયા માટે ઉપયોગમાં લઈ શકીએ. / લંબાઈ અને A આડહેદનું ક્ષેત્રફળ ધરાવતો નિયમિત (સમાંગ) સળીયો વિચારો. સુવાહકની જેમ આપણે એક પ્રકારના ગતિમાન વિદ્યુતભારો (અહીંયા ઈલેક્ટ્રોન) ધારી લઈશું. ધારોકે, તેમાં ગતિમાન વિદ્યુતભારોની સંખ્યા ઘનતા n છે. આથી તેમાં રહેલા કુલ ગતિમાન વિદ્યુતભારોની સંખ્યા n/A છે. આ સુવાહક સળીયામાં સ્થિર



આફૂતિ 4.2 વિદ્યુતભારિત કષા પર લાગતું ચુંબકીય બળની દિશા. (a) ચુંબકીયક્ષેત્ર \mathbf{B} સાથે ઉત્તેષ્ણ બનાવતી દિશામાં \mathbf{v} વેગથી ગતિ કરતાં ધન વિદ્યુતભારિત કષા પર લાગતું બળ જમણા હાથના નિયમ વડે દર્શાવાય છે. (b) ચુંબકીયક્ષેત્રની હાજરીમાં ગતિ કરતો q વિદ્યુતભારિત કષા -તુની સરખામણીમાં વિરુદ્ધ દિશામાં કોણવર્તન અનુભવે છે.

ભौतિકવિજ્ઞાન

વિદ્યુતપ્રવાહ I માટે, આપણે ધાર્યું કે દરેક ગતિમાન વાહકનો સરેરાશ ડ્રિફ્ટ (Drift) વેગ v_d (પ્રકરણ 3 જુઓ) છે. બાધ્ય ચુંબકીયક્ષેત્ર Bની હાજરીમાં, આ ગતિમાન વાહક પર લાગતું બળ :

$$\mathbf{F} = (n/A)q \mathbf{v}_d \times \mathbf{B}$$

જ્યાં q , એ વાહક ક્ષણ પરનો વિદ્યુતભાર છે. હવે nqv_d એ વિદ્યુતપ્રવાહ ઘનતા \mathbf{j} છે અને $|nqv_d|/A$ એ વિદ્યુતપ્રવાહ I છે. [વિદ્યુતપ્રવાહ અને વિદ્યુતપ્રવાહ ઘનતા વિશે વધુ માહિતી માટે પ્રકરણ-3 જુઓ]. આથી,

$$\begin{aligned} \mathbf{F} &= [(nqv_d)/A] \times \mathbf{B} = [\mathbf{j} A]/ \times \mathbf{B} \\ &= I \mathbf{l} \times \mathbf{B} \end{aligned} \quad (4.4)$$

જ્યાં, I એ સબિયાની લંબાઈ /જેટલા માનનો સદિશ છે અને તેની દિશા વિદ્યુતપ્રવાહ Iની દિશામાં છે. નોંધો કે વિદ્યુતપ્રવાહ I એ સદિશ નથી. સમીકરણ(4.4)ના છેલ્લા પદ પર જતી વખતે, આપણે સદિશ ચિહ્નને \mathbf{j} થી I પર બદલ્યું છે.

સમીકરણ (4.4) સીધા સળીયા માટે લાગુ પાડી શકાય છે. આ સમીકરણમાં B એ બાધ્ય ચુંબકીયક્ષેત્ર છે. તે વિદ્યુતપ્રવાહ ધારિત સળીયા વડે ઉદ્ભવેલું ચુંબકીયક્ષેત્ર નથી. જો તારનો બીજો કોઈ યાદચિંહ આકાર હોય તો આપણે તેના પરનું લોરેન્ઝ બળ, તેને dI , લંબાઈના સીધા સૂક્ષ્મ ટુકડાઓનો બનેલો ધારીને તેમના સરવાળા દ્વારા મેળવી શકીએ.

$$\mathbf{F} = \sum_j I d\mathbf{l}_j \times \mathbf{B}$$

મોટા ભાગના કિસ્સાઓમાં આ સરવાળાને સંકલનના રૂપમાં ફેરવી શકાય છે.

પરમિટિવિટી (પરાવૈદ્યુતાંક) અને પરમિઅબિલિટી (પારગમ્યતા) વિષે (ON PERMITTIVITY AND PERMEABILITY)

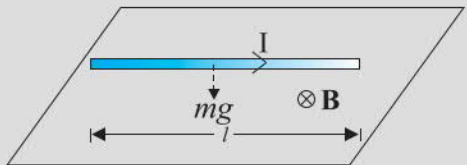
ગુરુત્વાકર્ષણના સાર્વત્રિક નિયમમાં આપણે કહીએ છીએ કે, કોઈ પણ બે બિંદુવાત દ્રવ્યમાનો એકબીજા પર બળ લગાડે છે, જે તેમના દ્રવ્યમાન $m_1 m_2$ ના ગુણાકારના સમપ્રમાણમાં અને તેમની વચ્ચેના અંતર એના વર્ગના વસ્તુ પ્રમાણમાં હોય છે. આપણે તેને $F = G m_1 m_2 / r^2$ વડે દર્શાવીએ છીએ, જ્યાં G એ ગુરુત્વાકર્ષણનો સાર્વત્રિક અચળાંક છે. તે જ રીતે સ્થિત વિદ્યુતના ફુલંબના નિયમ મુજબ, એકબીજાથી r અંતરે રહેલા બે બિંદુવાત વિદ્યુતભારો q_1, q_2 વચ્ચે લાગતું બળ $F = k q_1 q_2 / r^2$, જ્યાં k એ સપ્રમાણતાનો અચળાંક છે. SI એકમ પદ્ધતિમાં, kને $1/4\pi$ વડે દર્શાવવામાં આવે છે જ્યાં D એ માધ્યમની પરમિટિવિટી છે. તે જ રીતે ચુંબકત્વમાં, આપણને બીજો અચળાંક મળે છે, જે SI એકમ પદ્ધતિમાં, $\mu/4\pi$ વડે દર્શાવવામાં આવે છે, જ્યાં μ એ માધ્યમની પરમિઅબિલિટી છે.

G, D અને μ સપ્રમાણતા અચળાંક તરીકે આવતા હોવા છતાં, ગુરુત્વીય બળ અને વિદ્યુતચુંબકીય બળ વચ્ચે તરફાવત છે. ગુરુત્વબળ, વચ્ચેના કોઈ માધ્યમ પર આધાર રાખતું નથી, જ્યારે વિદ્યુતચુંબકીય બળ એ વિદ્યુતભારો કે ચુંબકો વચ્ચેના માધ્યમ પર આધાર રાખે છે. આમ, G સાર્વત્રિક અચળાંક છે, જ્યારે D અને μ માધ્યમ પર આધારિત છે. જુદા જુદા માધ્યમમાં તેમના મૂલ્યો અલગ હોય છે. ગુણાકાર D μ એ તે માધ્યમમાં વિદ્યુતચુંબકીય તરંગના વેગ પ સાથે $D\mu = 1/p^2$ સમીકરણ દ્વારા સકળાયેલ છે.

વિદ્યુત પરમિટિવિટી D એવી ભૌતિક રાશી છે કે જે વિદ્યુતક્ષેત્ર માધ્યમ પર અને માધ્યમ વિદ્યુતક્ષેત્ર પર કેવી અસર કરે છે તે દર્શાવે છે. વિદ્યુતક્ષેત્રની અસર હેઠળ આપેલ દ્રવ્યની પોલરાઇઝ (પ્રોવીભૂત) થવાની અને એ રીતે વિદ્યુતક્ષેત્રને અંશતઃ નાભૂદ કરવાની ક્ષમતા વડે નક્કી થાય છે. તે જ રીતે ચુંબકીય પરમિઅબિલિટી μ એ ચુંબકીયક્ષેત્રમાં દ્રવ્યની ચુંબકત્વ મેળવવા (ધારણ કરવા)ની ક્ષમતા દર્શાવે છે. તે, દ્રવ્ય કેટલી માત્રામાં ચુંબકીયક્ષેત્ર મેળવી શકશે તેનું માપ છે.

ઉદાહરણ 4.1

ઉદાહરણ 4.1 200 ગ્રામ દળનો અને 1.5 m લંબાઈનો એક સીધો તાર 2 A વિદ્યુતપ્રવાહ ધરાવે છે. તેને સમક્ષિતિજ અને સમાન ચુંબકીયક્ષેત્ર \mathbf{B} (આકૃતિ 4.3)માં હવામાં લટકતો (Suspended) રાખેલ છે. ચુંબકીયક્ષેત્રનું મૂલ્ય કેટલું હશે ?



આફુતિ 4.3

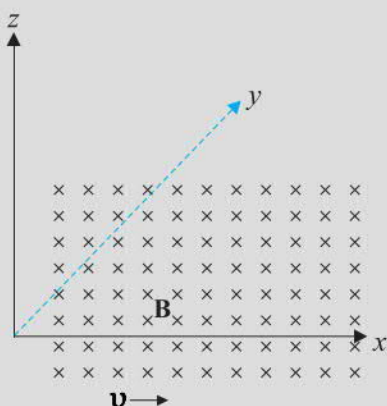
ઉકેલ સમીકરણ (4.4) પરથી, આપણાને ઉર્ધ્વદિશામાં લાગતું I/B મૂલ્યનું બળ મળે. હવામાં લટકવા માટે, આ બળ ગુરુત્વીય બળને સમતોલતું હોવું જોઈએ :

$$mg = I/B$$

$$\begin{aligned} B &= \frac{mg}{I} \\ &= \frac{0.2 \times 9.8}{2 \times 1.5} = 0.65 \text{ T} \end{aligned}$$

નોંધો કે તારની એકમ લંબાઈ દીઠ દ્વયમાન m/I આપેલ હોત તો તે પણ પુરતું હતું. પૃથ્વીનું ચુંબકીયક્ષેત્ર આશરે 4×10^{-5} T છે, જે આપણે અવગાયું છે.

ઉદાહરણ 4.2 જો ચુંબકીયક્ષેત્ર ધન y-અક્ષને સમાંતર હોય અને વિદ્યુતભારિત ક્ષણ ધન x-અક્ષ પર ગતિ કરતો હોય (આફુતિ 4.4), તો (a) ઈલેક્ટ્રોન (ઝડા વિદ્યુતભાર), (b) પ્રોટોન (ધન વિદ્યુતભાર) પર કઈ દિશામાં લોરેન્જ બળ લાગશે ?



આફુતિ 4.4

ઉકેલ : ક્ષણનો વેગ v , x-અક્ષ પર છે, જ્યારે ચુંબકીયક્ષેત્ર B , y-અક્ષ પર છે. આથી, $v \times B$ એ z-અક્ષ પર (સ્ક્રૂનો નિયમ અથવા જમણા હાથના અંગૂઠાનો નિયમ) હોય. આમ, (a) ઈલેક્ટ્રોન માટે તે -z અક્ષ પર હશે, જ્યારે (b) ધન વિદ્યુતભાર (પ્રોટોન) માટે આ બળ +z અક્ષ પર હશે.



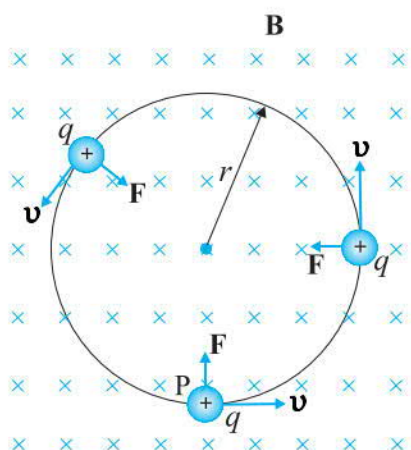
Charged particles moving in a magnetic field. Interactive demonstration : <http://www.phys.hawaii.edu/~teb/optics/java/partmagn/index.html>

ઉદાહરણ 4.1

ઉદાહરણ 4.2

4.3 ચુંબકીયક્ષેત્રમાં ગતિ (MOTION IN A MAGNETIC FIELD)

હેઠે આપણે ચુંબકીયક્ષેત્રમાં ગતિ કરતા વિદ્યુતભારનો વિગતવાર અભ્યાસ કરીશું. યંત્રશાસ્ત્ર (ધોરણ XI, ના પુસ્તક, પ્રકરણ-6)માં આપણે શીજ્યા કે જો ક્ષણ પર લાગતા બળનો ઘટક, ક્ષણની ગતિની દિશા (કે તેથી વિરુદ્ધ)માં હોય તો જ બળ વડે કાર્ય થાય. ચુંબકીયક્ષેત્રમાં ગતિ કરતા વિદ્યુતભારના

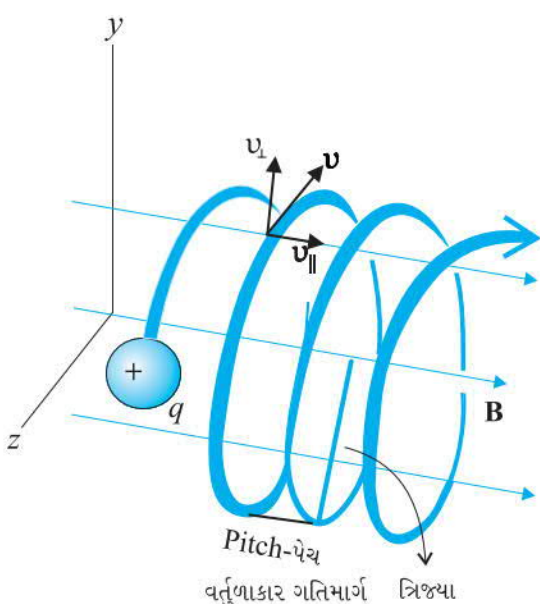


આકृति 4.5 વર્તુળમય ગતિ

કિસ્સામાં, ચુંબકીય બળ કણના વેગને લંબરૂપે લાગે છે. આથી કોઈ કાર્ય થતું નથી અને વેગના મૂલ્યમાં કોઈ ફરજ પડતો નથી (બલે તેના વેગમાનની દિશામાં ફરજાર થતો હોય). [નોંધો કે આ વિદ્યુતક્ષેત્રના કારણે લાગતા બળ qE જેવું નથી, જેના ઘટકો ગતિની દિશાને સમાંતર (કે પ્રતિસમાંતર) હોઈ શકે અને તેથી વેગમાનની સાથે ઉર્જાનો પડા ફરજાર કરી શકે.]

હવે આપણે સમાન (નિયમિત) ચુંબકીયક્ષેત્રમાં ગતિ કરતા વિદ્યુતભારને ધ્યાનમાં લઈશું. પ્રારંભમાં v એ B ને લંબરૂપે હોય તેમ ધારીએ. લંબરૂપે લાગતું બળ, $qv \times B$, કેન્દ્રગામી બળ તરીકે વર્ત છે અને તે ચુંબકીયક્ષેત્રને લંબરૂપે વર્તુળમય ગતિ કરાવે છે. જો v અને B એકબીજાને લંબરૂપે હોય તો કણનો માર્ગ વર્તુળકાર હશે (આકૃતિ 4.5).

જો વેગનો કોઈ ઘટક, B ને સમાંતર કે પ્રતિસમાંતર હોય તો ગતિ દરમ્યાન, ચુંબકીય ક્ષેત્રની કોઈ અસર થતી ન હોવાથી આ ઘટક બદલાતો નથી. B ને લંબરૂપે રહેલા સમતલમાં ગતિ અગાઉ જણાવ્યા મુજબ વર્તુળમય હોય છે; આથી સર્પિલ (હેલીકલ, Helical) ગતિ ઉદ્ભબે છે (આકૃતિ 4.6).



આકૃતિ 4.6 હેલીકલ ગતિ

અગાઉના ધોરણ (ધોરણ XI, પ્રકરણ-4)માં તમે ભણી ગયા છો કે, જો કણના વર્તુળકાર ગતિમાર્ગની ત્રિજ્યા r હોય, તો mv^2/r જેટલું બળ વર્તુળકાર માર્ગને લંબરૂપે કેન્દ્ર તરફ લાગે છે, જેને કેન્દ્રગામી બળ કહે છે. જો વેગ v , ચુંબકીયક્ષેત્ર B ને લંબરૂપે હોય તો ચુંબકીય બળ v અને B બંનેને લંબરૂપે કેન્દ્રગામી બળની જેમ લાગે છે. તેનું મૂલ્ય qvB જેટલું હોય છે. કેન્દ્રગામી બળના બંને સમીકરણો સરખાવતાં,

$$mv^2/r = qvB, જે પરથી$$

$$r = mv/qB \quad (4.5)$$

જે વિદ્યુતભારિત કણના વર્તુળકાર માર્ગની ત્રિજ્યા છે. વેગમાન વધે તેમ ત્રિજ્યા મોટી થાય છે અને વર્તુળકાર માર્ગ મોટો બને છે. જો કોણીય આવૃત્તિ ω હોય, તો $v = \omega r$. આથી,

$$\omega = 2\pi v/qB/m \quad [4.6(a)]$$

જે વેગ કે ઉર્જા પર આધાર રાખતી નથી. અહીંથી v એ પરિભ્રમણની આવૃત્તિ છે. અહીં, v ઉર્જા પર આધાર રાખતી નથી એ બાબત સાયકલોટ્રોનની રચનામાં ખૂબ જ ઉપયોગી છે. (જુઓ વિભાગ 4.4.2).

એક પરિભ્રમણ માટે લાગતો સમય $T = 2\pi/\omega = 1/v$ છે. જો વેગને ચુંબકીયક્ષેત્રની દિશામાં કોઈ ઘટક ($v_{||}$ વડે દર્શાવેલ) હોય, તો તે કણને આ ક્ષેત્રની દિશામાં ગતિ કરાવશે અને કણનો ગતિમાર્ગ હેલીકલ હશે (આકૃતિ 4.6). એક પરિભ્રમણ દરમ્યાન ચુંબકીયક્ષેત્રની દિશામાં કાપેલું અંતર પેચ (પીચ, Pitch) p કહેવાય છે. સમીકરણ [4.6(a)]નો ઉપયોગ કરતાં

$$p = v_{||}T = 2\pi mv_{||}/qB \quad [4.6(b)]$$

ગતિના વર્તુળકાર ઘટકની ત્રિજ્યાને હેલીકલની ત્રિજ્યા કહે છે.

ઉદાહરણ 4.3 6×10^{-4} T જેટલા ચુંબકીયક્ષેત્રને લંબરૂપે 3×10^7 m/sની ઝડપથી ગતિ કરતા ઈલેક્ટ્રોન (દ્વયમાન 9×10^{-31} kg અને વિદ્યુતભાર 1.6×10^{-19} C)ના માર્ગની ત્રિજ્યા કેટલી હશે? તેની (પરિભ્રમણ) આવૃત્તિ કેટલી હશે? તેની ઊર્જા keVમાં શોધો. ($1 \text{ eV} = 1.6 \times 10^{-19} \text{ J}$)

ઉકેલ સમીકરણ (4.5)નો ઉપયોગ કરતાં

$$r = mv/(qB) = 9 \times 10^{-31} \text{ kg} \times 3 \times 10^7 \text{ ms}^{-1} / (1.6 \times 10^{-19} \text{ C} \times 6 \times 10^{-4} \text{ T}) \\ = 28.12 \times 10^{-2} \text{ m} = 28.12 \text{ cm}$$

$$v = v/(2\pi r) = 17 \times 10^6 \text{ s}^{-1} = 17 \times 10^6 \text{ Hz} = 17 \text{ MHz}$$

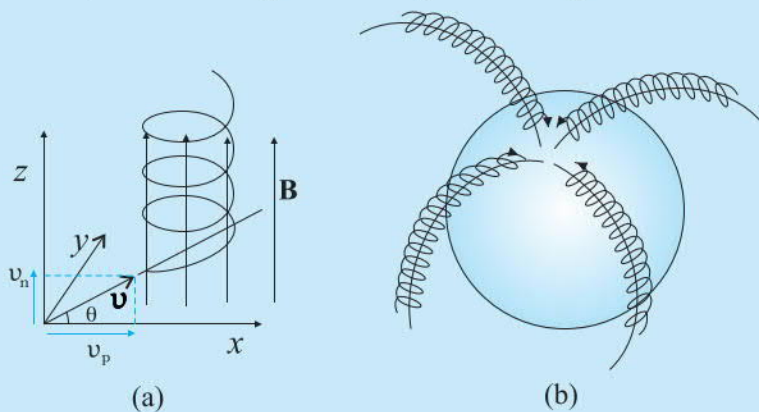
$$E = (1/2)mv^2 = (1/2)9 \times 10^{-31} \text{ kg} \times 9 \times 10^{14} \text{ m}^2/\text{s}^2 = 40.5 \times 10^{-17} \text{ J} \\ \approx 4 \times 10^{-16} \text{ J} = 2.5 \text{ keV}$$

ઉદાહરણ 4.3

વિદ્યુતભારિત કષોની હેલીકલ ગતિ અને ઓરોરા બોરિઆલિસ (HELICAL MOTION OF CHARGED PARTICLES AND AURORA BOREALIS)

અલાસકા અને ઉત્તર કેનેડા જેવા ધ્રુવ પ્રદેશોમાં, રંગબેરંગી અદ્ભુત નજીરો અવકાશમાં જોવા મળે છે. નુંય કરતા લીલા-ગુલાબી રંગના પ્રકાશના નયનરચ્ય નજીરા આકર્ષક છે અને એટલા જ કોયડારૂપ છે. આ કુદરતી ઘટનાની સમજૂતી ભૌતિકવિજ્ઞાનમાં આપણે જે શીખ્યા છીએ તેના પદમાં જાણવા મળી છે.

ધારોકે m દળ અને q વિદ્યુતભાર ધરાવતો એક વિદ્યુતભારિત કષ, પ્રારંભિક વેગ v થી ચુંબકીયક્ષેત્ર B માં પ્રવેશે છે. ધારોકે તેના વેગનો ચુંબકીયક્ષેત્રને સમાંતર ઘટક v_p અને લંબઘટક v_n છે. ચુંબકીયક્ષેત્રની દિશામાં આ કષ પર કોઈ બળ લાગતું નથી. તેથી આ કષ v_p વેગથી ચુંબકીયક્ષેત્રને સમાંતર ગતિ ચાલુ રાખે છે. તેના વેગના લંબ ઘટક v_n ના કારણે લોરેન્જ બળ ($v_n \times B$) લાગે છે, v_n અને B બંને લંબરૂપે હોય છે. વિભાગ 4.3.1માં જોયું તે મુજબ કષ ચુંબકીયક્ષેત્રને લંબ સમતલમાં વતુણાકાર ગતિ કરવાનું વલણ ધરાવે છે. આ ગતિ ચુંબકીયક્ષેત્રને સમાંતર ગતિ સાથે સંકાય એટલે આકૃતિ (a)માં દર્શાવ્યા મુજબ પરિણામી ગતિપથ સર્પિલ (હેલીકલ, Helix) આકારનો બને છે. જો ચુંબકીયક્ષેત્ર રેખા વળે, તો પણ હેલીકલ માર્ગ ગતિ કરતો કષ સપદાયેલો (બંધીત, Trapped) રહીને આ કેન્ત્રરેખાની આસપાસ ગતિ કરે છે. લોરેન્જ બળ દરેક બિંદુએ વેગને લંબરૂપે હોવાથી, ચુંબકીયક્ષેત્ર કષ પર કોઈ કાર્ય કરતું નથી અને વેગનું માન એક સરખું રહે છે.

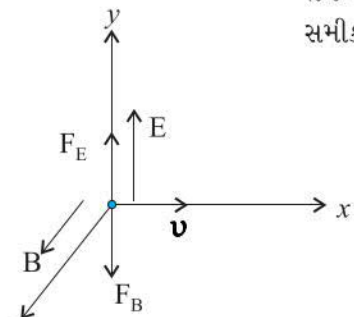


જ્યારે સૌર જવાળાઓ સક્રિય થાય, ત્યારે સૂર્યમાંથી મોટા પ્રમાણમાં ઈલેક્ટ્રોન્સ અને પ્રોટોન્સ ઉત્સર્જિત થાય છે. તેમાંના કેટલાક પૃથ્વીના ચુંબકીયક્ષેત્રમાં સપદાઈને (ટ્રેપ થઈને) ચુંબકીયક્ષેત્ર રેખાઓ પર હેલીકલ માર્ગ ગતિ કરે છે. ચુંબકીયક્ષેત્ર રેખાઓ ચુંબકીય ધ્રુવો પાસે આકૃતિ (b)માં દર્શાવ્યા મુજબ એક બીજાની નજીક આવે છે. આથી ધ્રુવો પાસે વિદ્યુતભારોની ઘનતા વધે છે. આ વિદ્યુતભારિત કષોનો વાતાવરણના અણુ અને પરમાણુઓ સાથે અથડામણ અનુભવે છે. ઉતેજીત થયેલા ઓફિસજનના પરમાણુઓ લીલો પ્રકાશ ઉત્સર્જિત કરે છે અને ઉતેજીત થયેલા નાઈટ્રોજન પરમાણુઓ ગુલાબી પ્રકાશ ઉત્સર્જિત કરે છે. આ ઘટનાને ભૌતિકવિજ્ઞાનમાં ઓરોરા બોરિઆલિસ કહે છે.

4.4 સંયુક્ત અને ચુંબકીયક્ષેત્રોમાં ગતિ (MOTION IN COMBINED ELECTRIC AND MAGNETIC FIELDS)

4.4.1 વેગ પસંદગીકાર (સિલેક્ટર) (Velocity Selector)

તમે જાણો છો કે, વિદ્યુત અને ચુંબકીય એ બંને ક્ષેત્રોની હાજરીમાં પ વેગથી ગતિ કરતો વિદ્યુતભાર q , સમીકરણ (4.3) મુજબ બળ અનુભવે છે, એટલે કે,



આકૃતિ 4.7

Cyclotron Interactive demonstration :
<http://www.phy.ntnu.edu.tw/ntnujava/index.php?topic=33.0>

$$\mathbf{F} = q(\mathbf{E} + \mathbf{v} \times \mathbf{B}) = \mathbf{F}_E + \mathbf{F}_B$$

આકૃતિ 4.7માં દર્શાવ્યા મુજબ, આપણે એક સામાન્ય કિસ્સો વિચારીએ કે જેમાં વિદ્યુત અને ચુંબકીયક્ષેત્રો એકબીજાને લંબરૂપે હોય અને તે બંને કણાના વેગને પણ લંબરૂપે હોય. આથી,

$$\mathbf{F}_E = q\mathbf{E} = q\mathbf{E}\hat{\mathbf{j}} \text{ અને } \mathbf{F}_B = q\mathbf{v} \times \mathbf{B} = q(\mathbf{v}\hat{\mathbf{i}} \times \mathbf{B}\hat{\mathbf{k}}) = -q\mathbf{vB}\hat{\mathbf{j}}$$

$$\text{જે પરથી, } \mathbf{F} = q(\mathbf{E} - \mathbf{vB})\hat{\mathbf{j}}$$

આમ, આકૃતિમાં દર્શાવ્યા મુજબ વિદ્યુત અને ચુંબકીય બળો વિરુદ્ધ દિશામાં લાગે છે. ધારોકે, આપણે \mathbf{E} અને \mathbf{B} ના મૂલ્યો એવા રાખીએ કે જેથી બંને બળના મૂલ્યો સમાન થાય. તો, વિદ્યુતભાર પરનું કુલ બળ શૂન્ય થશે અને વિદ્યુતભારિત કણ કોઈ પણ કોણાવર્તન પાચા વગર આ ક્ષેત્રોમાં ગતિ કરશે. આ ત્યારે શક્ય બને કે જ્યારે

$$q\mathbf{E} = q\mathbf{vB} \text{ અથવા } v = \frac{E}{B} \quad (4.7)$$

આ શરતનો ઉપયોગ કરીને જુદી જુદી જડપથી ગતિ કરતા વિદ્યુતભારોની કિરણાવલિ (શેરડા, બીમ)માંથી ચોક્કસ વેગના વિદ્યુતભારિત કણોને (તેમના વિદ્યુતભાર અને દળ પર આધાર રાખ્યા વગર) પસંદ કરી (જુદા પાડી) શકાય. આમ, પરસ્પર લંબ E અને B ક્ષેત્રો વેગ પસંદગીકાર તરીકે વર્ત છે. પરસ્પર લંબ ક્ષેત્રોમાંથી ફક્ત E/B જડપ ધરાવતા (વિદ્યુતભારિત) કણો જ કોઈ પણ કોણાવર્તન વગર પસાર થઈ શકે છે. આ પદ્ધતિનો ઉપયોગ 1897માં જે. જે. થોમસને ઇલેક્ટ્રોનના વિદ્યુતભાર અને દળનો ગુણોત્તર (e/m) માપવા માટે કર્યો હતો. આ સિદ્ધાંતનો ઉપયોગ માસ સ્પેક્ટ્રોમીટર (Mass Spectrometer) નામના સાધનમાં થાય છે. જે આયનોને તેમના વિદ્યુતભાર અને દળના ગુણોત્તર મુજબ જુદા પાડવા માટે ઉપયોગી છે.

4.4.2 સાઈક્લોટ્રોન (Cyclotron)

સાઈક્લોટ્રોન એ વિદ્યુતભારિત કણો કે આયનોને ઊર્જી ઊર્જા સુધી પ્રવેગિત કરવા માટેનું સાધન છે. તેની શોખ E. O. Lawrence અને M. S. Livingston એ 1934માં ન્યૂક્લીયસનનું બંધારણ જાણવા માટે કરી હતી. સાઈક્લોટ્રોનમાં વિદ્યુત અને ચુંબકીયક્ષેત્રોનો સંયુક્ત રીતે ઉપયોગ વિદ્યુતભારીત કણોની ઊર્જા વધારવા માટે થાય છે. બંને ક્ષેત્રો એકબીજાને લંબરૂપે હોવાથી તેઓ ક્રોસ્ડ ફીલ્ડ્સ (Crossed Fields) કહેવાય છે. ચુંબકીયક્ષેત્રમાં વિદ્યુતભારિત કણની પરિભ્રમણ આવૃત્તિ તેની ઊર્જા પર આધાર રાખતી નથી, આ હકીકતનો ઉપયોગ સાઈક્લોટ્રોનમાં થાય છે. મોટાભાગના સમય માટે વિદ્યુતભારિત કણો ધાતુના બે અર્ધવર્તીઘાંસ-પાત્રો જેવી, તકિતાઓ D₁ અને D₂માં ગતિ કરે છે, જેમનો આકાર અંગેજી D જેવો હોવાથી તેમને Dees કહે છે. આકૃતિ 4.8માં સાઈક્લોટ્રોનની રૂપરેખા દર્શાવી છે. ધાતુના પાત્રોમાં (વિદ્યુતભારિત) કણ પર વિદ્યુતક્ષેત્રની અસર થતી નથી કારણ કે તે ડાબામાં પ્રવેશી શકતું નથી (વિદ્યુતભાર માટે પાત્ર કવચ તરીકે કાર્ય કરે છે). પરંતુ, ચુંબકીયક્ષેત્ર (વિદ્યુતભારિત) કણ પર લાગે છે અને તેને ડી (Dee)ની અંદર વર્તુળાકાર માર્ગ પર ગતિ કરાવે છે. જેટલી વખત આ કણ એક Deeમાંથી બીજામાં જાય, એટલી દરેક વખત તેના પર વિદ્યુતક્ષેત્રની અસર થાય છે. વિદ્યુતક્ષેત્રની દિશા આ કણની ગતિ સાથે અનુરૂપ રીતે વારાફરતી ઉલટ સુલટ થયા કરે છે. આ એવી રીતે થાય છે કે જેથી દરેક વખતે આ કણ પ્રવેગિત થાય. દરેક વખતે પ્રવેગના કારણે આ કણની ઊર્જા વધતી જાય છે. જેમ ઊર્જા

ગતિમાન વિદ્યુતભારો અને ચુંબકત્વ

વધે તેમ તેના વર્તુળાકાર ગતિ પથની ત્રિજ્યા પણ વધતી જાય છે. આથી, આ માર્ગ સ્પાઇરલ (Spiral) હોય છે.

આયનો અને હવાના અણુઓ વચ્ચેની અથડામણ નિવારવા આ આખી રૂચના શૂન્યાવકાશિત (Evacuated) કરવામાં આવે છે. ઊંચી આવૃત્તિનું વીજદબાણ બંને Dees વચ્ચે લગાડવામાં આવે છે. આઈતિ 4.8માં દર્શાવેલ રૂપ રેખા મુજબ, કેન્દ્ર P પાસે ધન આયનો કે ઋણ વિદ્યુતભારિત કણો (દા.ત. પ્રોટોન્સ)ને મુક્ત કરવામાં આવે છે. તે કોઈ પણ એક Deeમાં અર્ધવર્તુળાકાર માર્ગ ગતિ કરીને બે Dee વચ્ચેની જગ્યા (Gap)માં T/2 સમય અંતરાલમાં આવે છે, જ્યાં, T એ એક પરિભ્રમણ માટેનો સમય છે, જે સમીકરણ (4.6) પરથી

$$T = \frac{1}{v_c} = \frac{2\pi m}{qB}$$

$$\text{અથવા } v_c = \frac{qB}{2\pi m} \quad (4.8)$$

મળે છે. આ આવૃત્તિને દેખીતી રીતે સાઈક્લોટ્રોન આવૃત્તિ કહે છે જેને v_c વડે દર્શાવાય છે.

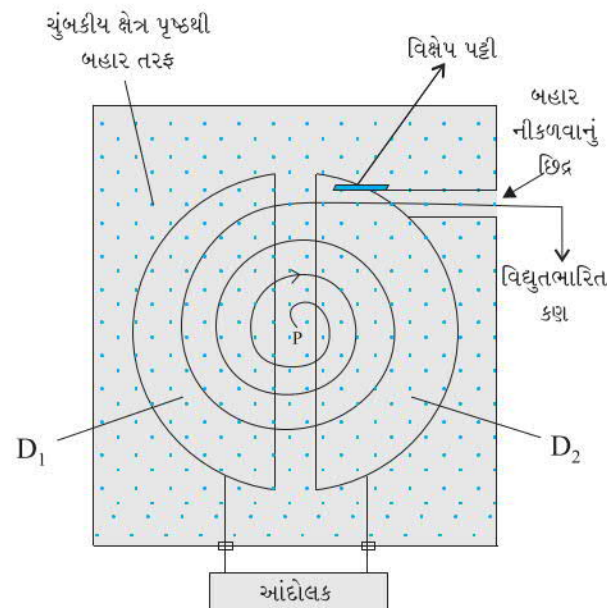
આપેલ વિદ્યુતદ્વારાની આવૃત્તિ v_a બદલીને એવી રાખવામાં આવે છે કે જેથી જ્યારે આયનો અહંકુરું પરિભ્રમણ પુરું કરે ત્યારે Dee પરના ધ્રુવની દિશા બદલાય. $v_a = v_c$ હોવા માટેની જરૂરીયાતને અનુનાદ (Resonance) શરત કહે છે. વિદ્યુતસોત (વીજ સપ્લાય)ની કળા એવી રીતે બદલવામાં આવે છે કે જેથી જ્યારે પણ ધન આયનો D₁ની ધાર પર આવે ત્યારે D₂ ઓછા (ઋણ) વીજદબાણ પર હોય કે જેથી, આયનો પ્રવેગિત થાય. ડી (Dee)ની અંદર વિદ્યુતક્ષેત્રથી મુક્ત અવકાશમાં આયનો ગતિ કરે છે. જેટલી વખત આયનો એક ડી (Dee)માંથી બીજામાં જાય ત્યારે તેમની ઉર્જામાં થતો વધારો eV (જ્યાં V એ તે સમયે બંને Dee વચ્ચેનું વીજદબાણ છે) જેટલો હોય છે. સમીકરણ (4.5) પરથી જોઈ શકાય કે જેટલી વખત તેમની ગતિ ઉર્જા વધે, તેટલી વખત તેમના (વર્તુળમય) માર્ગની ત્રિજ્યા વધતી જાય છે. જ્યાં સુધી આયનો એટલી ઉર્જા પ્રાપ્ત ન કરે કે જેથી તેમના ગતિમાર્ગની ત્રિજ્યા Dees જેટલી ન થાય, ત્યાં સુધી જેટલી વખત તેઓ એક Deeમાંથી બીજી Deeમાં જાય ત્યારે તે પ્રવેગિત થતા રહે છે. ત્યાર બાદ તેઓ ચુંબકીયક્ષેત્ર વડે કોણાવર્તન અનુભવે છે અને (બહાર નીકળવાના) છિદ્ર (Slit)માંથી આ પ્રકાશલીની બહાર નીકળી જાય છે. સમીકરણ (4.5) પરથી આપણને

$$v = \frac{qBR}{m} \quad (4.9)$$

મળે. જ્યાં, R એ બહાર નીકળતી વખતે તેમના ગતિમાર્ગની ત્રિજ્યા છે, જે Deeની ત્રિજ્યા જેટલી હોય છે. આથી, આયનોની ગતિ ઉર્જા,

$$\frac{1}{2} mv^2 = \frac{q^2 B^2 R^2}{2m} \quad (4.10)$$

સાઈક્લોટ્રોનનું કાર્ય એ હકીકત પર આધારિત છે કે જેમાં આયનના એક પરિભ્રમણ માટે લાગતો સમય તેની ઝડપ કે તેની ભ્રમણ કક્ષાની ત્રિજ્યા પર આધાર રાખતો નથી. સાઈક્લોટ્રોનનો ઉપયોગ, તેના દ્વારા પ્રવેગિત થયેલા ઊંચી ઉર્જાવાળા કણો (આયનો)ને ન્યુક્લિયસ પર પ્રતારિત (બોઅફ્ટ) કરીને પરિણામે થતી ન્યુક્લિઅર પ્રક્રિયાનો અભ્યાસ કરવા માટે થાય છે. તેનો ઉપયોગ ધન પદાર્થોમાં બીજા આયનો ઘુસાડીને (Implant કરીને) તેમના ગુણવર્ણા બદલવા



આઈતિ 4.8 સાઈક્લોટ્રોનની રૂપરેખા. ઉદ્ગમ Pમાંથી ઉત્સર્જિત થતા વિદ્યુતભારિત કણો કે આયનો, સમાન લંબ ચુંબકીયક્ષેત્ર Bના કારણે, D₁ અને D₂માં વર્તુળાકાર માર્ગ ગતિ કરે છે. ઉલટ સુલાટ થતું વીજદબાણ આ આયનોને પ્રવેગિત કરીને તેમની ઝડપ વધારે છે. અંતમાં આ આયનોને બહાર નીકળવાના માર્ગ પાસેથી મેળવી (જાપી) લેવામાં આવે છે.

માટે અથવા નવા પ્રકારના દ્રવ્યો બનાવવા (સિન્થેસાઈજ કરવા) માટે પણ થાય છે. તેનો ઉપયોગ હોસ્પિટલોમાં રેડિયોએક્ટિવ પદાર્થો બનાવવા માટે થાય છે, જે રોગ નિદાન અને તેના નિવારણ માટે ઉપયોગી છે.

ઉદાહરણ 4.4 એક સાઈક્લોડ્રોનની દોલન આવૃત્તિ 10 MHz છે. પ્રોટોન્સને પ્રવેગિત કરવા માટે કેટલું ચુંબકીયક્ષેત્ર જરૂરી છે? જો Deesની ત્રિજ્યા 60 cm હોય, તો આ પ્રવેગક વડે ઉત્પન્ન થયેલા પ્રોટોનની કિરણાવલિ (બીમ)ની ગતિગીર્જા કેટલી હોય?

$$(e = 1.60 \times 10^{-19} \text{ C}, m_p = 1.67 \times 10^{-27} \text{ kg}, 1 \text{ MeV} = 1.6 \times 10^{-13} \text{ J})$$

ઉકેલ દોલન આવૃત્તિ, પ્રોટોનની સાઈક્લોડ્રોન આવૃત્તિ જેટલી હોવી જોઈએ. સમીકરણ (4.5) અને [4.6(a)] પરથી

$$B = 2\pi m v / q = 6.3 \times 1.67 \times 10^{-27} \times 10^7 / (1.6 \times 10^{-19}) = 0.66 \text{ T}$$

પ્રોટોનનો અંતિમ વેગ

$$v = r \times 2\pi v = 0.6 \text{ m} \times 6.3 \times 10^7 = 3.78 \times 10^7 \text{ m/s છે.}$$

$$E = \frac{1}{2} mv^2 = 1.67 \times 10^{-27} \times 14.3 \times 10^{14} / (2 \times 1.6 \times 10^{-13}) = 7 \text{ MeV}$$

દ્વારા 4.4

ભારતમાં પ્રવેગકો (ACCELERATORS IN INDIA)

પ્રવેગક આધ્યાત્રિત સંશોધન (રીસર્ચ)માં ભારત પહેલેથી પ્રવેશેલું છે. સ્વખનદ્રષ્ટા ડૉ. મેઘનાથ સહાએ, 1953માં કોલકતામાં, સહા ઈન્સ્ટીટ્યુટ ઓફ ન્યુક્લિયર ફિઝિક્સમાં $37''$ નું સાઈક્લોડ્રોન બનાવ્યું હતું. આના પછી આવા ઘણા બધા કોકોફિટ-વોલ્ટન (Cockcroft-Walton) પ્રકારના પ્રવેગકોની શ્રેણી ટાટા ઈન્સ્ટીટ્યુટ ઓફ ઇન્ડિયન ટીફર (TIFR), મુંબઈ, અલ્લિગાઠ મુસ્લિમ યુનિવર્સિટી (AMU), અલિગાઠ, બોર્ડ ઈન્સ્ટીટ્યુટ, કોલકતા અને આન્ધ્ર યુનિવર્સિટી, વોલ્ટર (વિશાખાપટ્ણમ)માં રચાઈ હતી.

ઓગણીસસો સાઈડ (~1960)ના દશકમાં ઘણાં બધાં વાન ડી ગ્રાફ જનરેટર બન્યા : 5.5 MVનું ટર્મિનલ મશીન ભાબી એટમિક રિસર્ચ સેન્ટર (BARC), મુંબઈ (1963); એક 2 MVનું ટર્મિનલ મશીન ઈન્સ્ટીટ્યુટ ઓફ ટેકનોલોજી (IIT), કાનપુરમાં; એક 400 kVનું ટર્મિનલ મશીન બનારસ ઈન્દ્રુ યુનિવર્સિટી (BHV), વારાણસીમાં; અને પંજાબ યુનિવર્સિટી, પતિયાલામાં બન્યા. એક 66 cmનું સાઈક્લોડ્રોન USAની રોચ્સ્ટર યુનિવર્સિટીએ દાનમાં આપ્યું હતું, જે પંજાબ યુનિવર્સિટી, ચંદ્રિગઢમાં કાર્યરત થયું હતું. પુનામાં એક નાનું ઈલેક્ટ્રોન પ્રવેગક બનાવવામાં આવ્યું હતું.

સિન્ટર અને એંસીના દાયકામાં મોટા પાયે શરૂઆત કરવા, વેરીએબલ એનજી સાઈક્લોડ્રોન સેન્ટર (VECC), કોલકતામાં વેરીએબલ એનજી (બદલી શકાય તેવી ઊર્જાના) સાઈક્લોડ્રોનની સ્વદેશી ર્યાના કરવામાં આવી; BARCમાં 2 MVનું ટેન્ડમ વાન ડી ગ્રાફ જનરેટર ઊભુ કરવામાં આવ્યું તથા TIFRમાં 14 MVનું ટેન્ડમ (Tandem) પેલેટ્રોન એક્સીલરેટર (પ્રવેગક) સ્થાપિત કરવામાં આવ્યું.

યાર બાદ યુનિવર્સિટી ગ્રાન્ટ્સ કમિશન (UGC) દ્વારા, આંતર યુનિવર્સિટી ઉપયોગીતા માટે ઈન્ટર યુનિવર્સિટી એક્સીલરેટર સેન્ટર (IUAC), ન્યુ ડિલ્હીમાં 15 MVનું ટેન્ડમ પેલેટ્રોન સ્થાપિત કરવામાં આવ્યું; એક 3 MVનું ટેન્ડમ પેલેટ્રોન ભૂવનેશ્વરના ઈન્સ્ટીટ્યુટ ઓફ ફિઝિક્સમાં; અને બે 1.7 MVના ટેન્ડ્ઝ્રોનને હૈદ્રાબાદ સ્થિત એટોમિક મિનરલ્સ ડાઇરેક્ટરેટ ફોર એક્સ્પ્લોરેશન એન્ડ રિસર્ચ તથા કલ્પક્કમ સ્થિત ઈન્દ્રિયા ગાંધી સેન્ટર ફોર એટોમિક રિસર્ચ ખાતે સ્થાપિત કરવામાં આવ્યા. TIFR અને IUAC બંને એ આયનોને વધુ ઊર્જા ઊર્જા સુધી પ્રવેગિત કરવા માટે સુપરકન્ડક્ટોંગ LINAC ઉમેરીને મોંડ્યુલ્સનો સગવડતામાં વધારો કર્યો છે.

આ આયન પ્રવેગકો ઉપરાંત, ડિપાર્ટમેન્ટ ઓફ એટમિક એનજી (DAE) એ બીજા ઘણા ઈલેક્ટ્રોન પ્રવેગકો વિકસાવ્યા છે. ઈન્દ્રોર સ્થિત, રાજા રામના સેન્ટર ફોર એડવાન્સ્ડ ટેકનોલોજીસ ખાતે એક 2 MeVના સિન્કોડ્રોન રેડિએશન સોર્સનું કાર્યરત છે.

એક્સીલરેટર ગ્રીવન સિસ્ટમ્સ (ADS)ને ડિપાર્ટમેન્ટ ઓફ એટમિક એનજી ભવિષ્યના પાવર ઉત્પાદન અને આણુ ઊર્જા માટે જરૂરી વિખંડનિય દ્રવ્યના સંવર્ધન કેન્દ્રોતરીકે ગણી રહ્યું છે.

4.5 વિદ્યુતપ્રવાહ ખંડના કારણે મળતું ચુંબકીયક્ષેત્ર, બાયો-સાવરનો નિયમ (MAGNETIC FIELD DUE TO A CURRENT ELEMENT, BIOT-SAVART LAW)

આપણે જેટલા ચુંબકીયક્ષેત્રો જાણીએ છીએ તે કાં તો વિદ્યુતપ્રવાહ (અથવા ગતિમાન વિદ્યુતભારો)ના કારણે અથવા કણોની આંતરિક / પ્રાકૃતિક ચુંબકીય ચાકમાત્રાઓના કારણે હોય છે. અહીં આપણે વિદ્યુતપ્રવાહ અને તેના કારણે ઉત્પન્ન થતા ચુંબકીયક્ષેત્ર વચ્ચેના સંબંધનો અભ્યાસ કરીશું. તે બાયોસાવરના નિયમ વડે આપવામાં આવે છે. આઈતિ 4.9માં વિદ્યુતપ્રવાહ I ધરિત વાહક XY દર્શાવ્યો છે. આ વાહકનો અતિ સૂક્ષ્મ ખંડ dI દ્વારા ઘાનમાં લો. આ ખંડના કારણે તેનાથી r અંતરે આવેલા બિંદુ P પાસે ઉદ્ભવતું ચુંબકીયક્ષેત્ર શોધવું છે. ધારો કે dI અને સ્થાનાંતર સદિશ r વચ્ચેનો કોણ θ છે. બાયોસાવરના નિયમ મુજબ, ચુંબકીયક્ષેત્ર dB નું મૂલ્ય વિદ્યુતપ્રવાહ I અને ખંડ લંબાઈ $|dI|$ ના સમપ્રમાણમાં તથા અંતર r ના વર્ગના વસ્તુ પ્રમાણમાં હોય છે. તેની દિશા* dI અને તને સમાવતા સમતલને લંબ રૂપે હોય છે. આમ, સદિશ સ્વરૂપે,

$$dB \propto \frac{IdI \times r}{r^3}$$

$$= \frac{\mu_0}{4\pi} \frac{IdI \times r}{r^3} \quad [4.11(a)]$$

જ્યાં, $\mu_0/4\pi$ એ સપ્રમાણતાનો અચળાંક છે.

શૂન્યાવકાશ માટે ઉપરનું સમીકરણ લાગુ પડે છે.

આ ક્ષેત્રનું મૂલ્ય

$$|dB| = \frac{\mu_0}{4\pi} \frac{IdI \sin \theta}{r^2} \quad [4.11(b)]$$

જ્યાં, આપણે સદિશ ગુણાકારના ગુણધર્મનો ઉપયોગ કર્યો છે. સમીકરણ [4.11(a)] આપણા માટે ચુંબકીયક્ષેત્રનું મૂળભૂત સમીકરણ રચે છે. SI એકમોમાં સપ્રમાણતા અચળાંકનું ચોક્કસ મૂલ્ય

$$\frac{\mu_0}{4\pi} = 10^{-7} \text{ T m/A} \quad [4.11(c)]$$

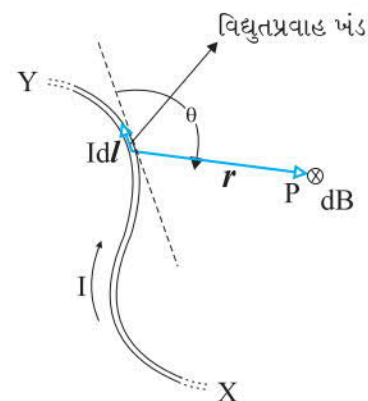
છે. આપણે μ_0 ને મુક્ત અવકાશ (કે શૂન્યાવકાશ) ની પરમીએબિલિટી કહીએ છીએ.

ચુંબકીયક્ષેત્ર માટેનો બાયોસાવરનો નિયમ, સ્થિત વિદ્યુતક્ષેત્ર માટે કુલંબના નિયમ સાથે કેટલીક સાખ્તીઓ તેમજ કેટલીક વિષમતાઓ દર્શાવે છે. જેમાંની કેટલીક આ મુજબ છે :

(i) બંને લાંબા અંતર (Long Range) સુધી લાગે છે, કારણ કે બંને ઉદ્ગમથી આપેલ બિંદુ સુધીના અંતરના વર્ગના વસ્તુ પ્રમાણ પર આધાર રાખે છે.

સંપાતપણાનો સિદ્ધાંત બંને ક્ષેત્રો માટે લાગુ પડે છે. [આ સંદર્ભમાં નોંધો કે, જેવી રીતે સ્થિત વિદ્યુતક્ષેત્ર તેના ઉદ્ગમ, વિદ્યુતભારના રેખીય સમપ્રમાણમાં છે તે જ રીતે ચુંબકીયક્ષેત્ર તેના ઉદ્ગમ $|IdI|$ ના રેખીય સમપ્રમાણમાં હોય છે.]

(ii) સ્થિત વિદ્યુતક્ષેત્ર અદિશ ઉદ્ગમ, એટલે કે વિદ્યુતભાર વડે ઉદ્ભવે છે. ચુંબકીયક્ષેત્ર સદિશ ઉદ્ગમ IdI વડે ઉદ્ભવે છે.



આઈતિ 4.9 બાયોસાવરના નિયમનું
દાખાંત. વિદ્યુતપ્રવાહ ખંડ IdI તેનાથી r અંતરે ચુંબકીયક્ષેત્ર dB ઉત્પન્ન કરે છે.
⊗ ચિહ્ન દર્શાવે છે કે આ ક્ષેત્ર પુસ્તકના પાનાના સમતલને લંબરૂપે તથા તેની અંદરની દિશામાં છે.

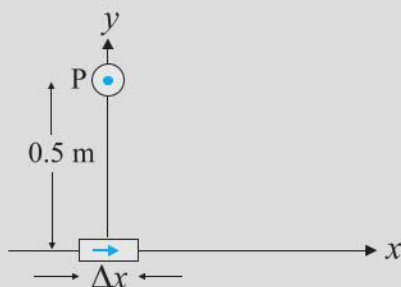
* $dI \times r/n$ ની દિશા. જમણા ડાથના સ્કુના નિયમ વડે પણ અપાય છે. સદિશો dI અને તને સમાવતું સમતલ જુઓ. પહેલા સદિશથી બીજા સદિશ તરફ જવાનું કલ્પો. જો આ ગતિ વિષમધરી હોય, તો પરિણામી સદિશ તમારી તરફ હોય. જો તે સમધરી હોય, તો પરિણામી સદિશ તમારાથી દૂર તરફ હોય.

- (iii) સ્થિત વિદ્યુતક્ષેત્ર જે ઉદ્ગમ અને અવકાશમાં રહેલા બિંદુને જોડતા સ્થાનાંતર સદિશની દિશામાં છે. ચુંબકીયક્ષેત્ર, સ્થાનાંતર સદિશ \mathbf{r} અને વિદ્યુતપ્રવાહ ખંડ Idl ને સમાવતા સમતલને લંબ રૂપે છે.
- (iv) બાયોસાવરનો નિયમ કોણ પર આધારિત છે. જે સ્થિત વિદ્યુતના કિરસામાં નથી હોતું. આંકૃતિ 4.9માં, dI/dx (ત્રુટક રેખા વડે દર્શાવેલ)માં આવેલ કોઈ પણ બિંદુએ ચુંબકીયક્ષેત્ર શૂન્ય હોય છે. આ દિશામાં $\theta = 0, \sin\theta = 0$ અને તેથી સમીકરણ [4.11(a)] પરથી, $|dB| = 0$. મુક્ત અવકાશની પરમિટીવિટી ϵ_0 , મુક્ત અવકાશની પરમિઅબિલિટી μ_0 અને શૂન્યાવકાશમાં પ્રકાશની ઝડપ C વચ્ચે એક રસપ્રદ સંબંધ છે :

$$\epsilon_0 \mu_0 = (4\pi \epsilon_0) \left(\frac{\mu_0}{4\pi} \right) = \left(\frac{1}{9 \times 10^9} \right) (10^{-7}) = \frac{1}{(3 \times 10^8)^2} = \frac{1}{c^2}$$

વિદ્યુત ચુંબકીય તરંગોના પ્રકરણ-8માં આ સંબંધ વિશે વધુ ચર્ચા કરીશું. શૂન્યાવકાશમાં પ્રકાશની ઝડપ અચળ હોવાથી, $\epsilon_0 \mu_0$ ગુણાકારનું મૂલ્ય અચળ હોય છે. કોઈ પણ એક E_0 અથવા μ_0 નું મૂલ્ય ધારીએ એટલે બીજાનું મૂલ્ય નક્કી થઈ જાય છે. SI એકમોમાં, μ_0 નું મૂલ્ય $4\pi \times 10^{-7}$ જેટલું નિશ્ચિત કરેલ છે.

ઉદાહરણ 4.5 સૂક્ષ્મ ખંડ $\Delta I = \Delta x \hat{i}$ ને ઉદ્ગમ બિંદુ પર મુકેલો છે, અને તેમાંથી મોટો વિદ્યુતપ્રવાહ $I = 10 \text{ A}$ પસાર થાય છે (આંકૃતિ 4.10). y -અક્ષ પર 0.5 m અંતરે ચુંબકીયક્ષેત્ર કેટલું હશે? $\Delta x = 1 \text{ cm}$.



આંકૃતિ 4.10

ઉકેલ

$$|dB| = \frac{\mu_0}{4\pi} \frac{Idl \sin\theta}{r^2} \quad [\text{સમીકરણ (4.11) પરથી}]$$

$$dl = \Delta x = 10^{-2} \text{ m}, I = 10 \text{ A}, r = 0.5 \text{ m} = y, \mu_0/4\pi = 10^{-7} \frac{\text{T m}}{\text{A}}$$

$$\theta = 90^\circ; \sin\theta = 1$$

$$|dB| = \frac{10^{-7} \times 10 \times 10^{-2}}{25 \times 10^{-2}} = 4 \times 10^{-8} \text{ T}$$

ચુંબકીયક્ષેત્રની દિશા +z-દિશામાં છે. આ એટલા માટે છે કે,

$$dl \times \mathbf{r} = \Delta x \hat{i} \times y \hat{j} = y \Delta x (\hat{i} \times \hat{j}) = y \Delta x \hat{k}$$

સદિશ ગુણાકાર માટેનો ચક્કિય નિયમ યાદ કરો,

$$\hat{i} \times \hat{j} = \hat{k}; \hat{j} \times \hat{k} = \hat{i}; \hat{k} \times \hat{i} = \hat{j}.$$

નોંધો કે ચુંબકીયક્ષેત્રનું મૂલ્ય નાનું છે.

હવે પછીના વિભાગમાં આપણે બાયોસાવરના નિયમનો ઉપયોગ વર્તુળાકાર ગાળા વડે ઉદ્ભવતું ચુંબકીયક્ષેત્ર શોધવા માટે કરીશું.

4.6 વિદ્યુતપ્રવાહ ધારિત વર્તુળાકાર પ્રવાહગાળાની અક્ષ પર ચુંબકીયક્ષેત્ર (MAGNETIC FIELD ON THE AXIS OF A CIRCULAR CURRENT LOOP)

આ વિભાગમાં, ગોળાકાર ગુંચળા (Coil) વડે તેની અક્ષ (ધરી) પર ઉદ્ભવતા ચુંબકીયક્ષેત્રની ગણતરી કરીશું. આ ગણતરીમાં આપણે અગાઉ દર્શાવ્યું તેમ, વિદ્યુતપ્રવાહ ધારિત સૂક્ષ્મ ખંડો (Idl) વડે થતી અસરોનો સરવાળો કરીશું. ધારો કે વિદ્યુતપ્રવાહ I સ્થિર છે (બદલાતો નથી) અને આ ગણતરી મુક્ત અવકાશ (શૂન્યાવકાશ)માં કરીએ છીએ.

આફૂતિ 4.11માં સ્થિર વિદ્યુતપ્રવાહ I ધારિત ગોળાકાર ગાળો દર્શાવ્યો છે. આ ગાળાની નિજ્યા R છે. તેમજ તેનું કેન્દ્ર ઉગમાંદું O પર રહે તે રીતે તેને y-z સમતલમાં મુક્તયું છે. x-અક્ષ એ આ ગાળાની અક્ષ છે. આપણે તેની અક્ષ પર આવેલા P બિંદુએ ચુંબકીયક્ષેત્ર શોધવું છે. ધારોકે ગાળાના કેન્દ્ર Oથી Pનું અંતર x છે.

આ ગાળાનો વાહક ખંડ dl ધારો.

તે આફૂતિ 4.11માં દર્શાવેલ છે. dlના કારણે ઉદ્ભવતા ચુંબકીયક્ષેત્ર dBનું માન બાયોસાવરના નિયમ (સમીકરણ 4.11(a)) પરથી મળે છે.

$$dB = \frac{\mu_0}{4\pi} \frac{I |dl \times r|}{r^3} \quad (4.12)$$

હવે $r^2 = x^2 + R^2$. બીજું, આ ગાળાનો કોઈ પણ ખંડ, તે ખંડથી અક્ષ પર આવેલા બિંદુ સુધીના સ્થાનાંતર સંદર્ભને લંબ હશે. ઉદાહરણ તરીકે, આફૂતિ 4.11માં dl એને y-z સમતલમાં છે જ્યારે dlથી અક્ષ પરના બિંદુ P સુધીનો સ્થાનાંતર સંદર્ભ r એને x-y સમતલમાં છે. આથી $|dl \times r| = r dl$. આથી,

$$dB = \frac{\mu_0}{4\pi} \frac{Idl}{(x^2 + R^2)} \quad (4.13)$$

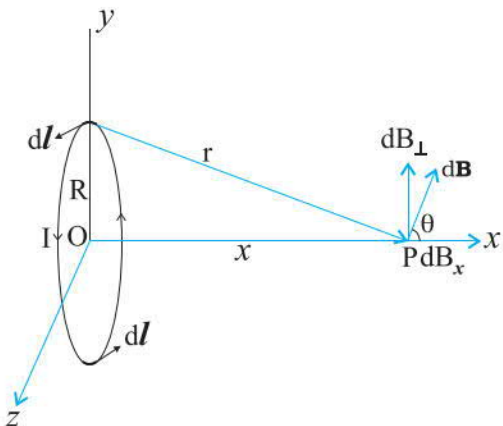
dB ની હિસા આફૂતિ 4.11માં દર્શાવી છે, જે dl અને r વડે બનતા સમતલને લંબ છે. તેનો x-ઘટક dB_x છે અને x-અક્ષને લંબ ઘટક dB_{\perp} છે. જ્યારે x-અક્ષને લંબ ઘટકોનો સરવાળો કરવામાં આવે, ત્યારે તે એકબીજાને નાભુદ કરે છે અને પરિણામ શૂન્ય મળે છે. ઉદાહરણ તરીકે, dlના કારણે મળતા ઘટક dB_{\perp} નું મૂલ્ય (Contribution) તેના વ્યાસની સામેના આફૂતિ 4.11માં દર્શાવેલા ઘટક વડે મળતા મૂલ્ય વડે નાભુદ થાય છે. આમ, ફક્ત x-ઘટક જ બચે છે. સંપૂર્ણ ગાળા પર $dB_x = dB \cos \theta$ નું સંકલન કરતાં આપણાને x-દિશા પરનું પરિણામી મૂલ્ય મળે. આફૂતિ 4.11 માટે,

$$\cos \theta = \frac{R}{(x^2 + R^2)^{1/2}} \quad (4.14)$$

(∴ R અને r વચ્ચેનો કોણ પણ θ થાય)

સમીકરણ (4.13) અને (4.14) પરથી,

$$dB_x = \frac{\mu_0 Idl}{4\pi} \frac{R}{(x^2 + R^2)^{3/2}}$$



આફૂતિ 4.11 વિદ્યુતપ્રવાહ ધારિત R નિજ્યાના વર્તુળાકાર ગાળાની અક્ષ (ધરી) પર ચુંબકીયક્ષેત્ર. અહીં ચુંબકીયક્ષેત્ર dB (સૂક્ષ્મ ખંડ dlના કારણે) અને તેના અક્ષ (ધરી) પરના તેમજ તેને લંબ ઘટકો દર્શાવ્યા છે.

આ ગાળા પર સૂક્ષ્મ ખંડો ટ/નો સરવાળો ગાળાના પરિધિ $2\pi R$ જેટલો થાય છે. આથી, સંપૂર્ણ વર્તુળાકાર ગાળા વડે P બિંદુએ ઉદ્ભવતું ચુંબકીયક્ષેત્ર

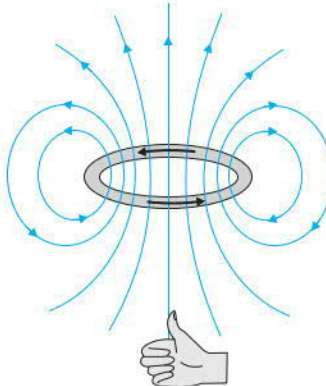
$$\mathbf{B} = B_x \hat{\mathbf{i}} = \frac{\mu_0 I R^2}{2(x^2 + R^2)^{3/2}} \hat{\mathbf{i}} \quad (4.15)$$

આ પરિણામના વિશિષ્ટ કિસ્સા તરીકે આપણે આ ગાળાના કેન્દ્ર પર ચુંબકીયક્ષેત્રનું મૂલ્ય મેળવી શકીએ. અહીં $x=0$ અને તેથી આપણને

$$\mathbf{B}_0 = \frac{\mu_0 I}{2R} \hat{\mathbf{i}} \quad (4.16)$$

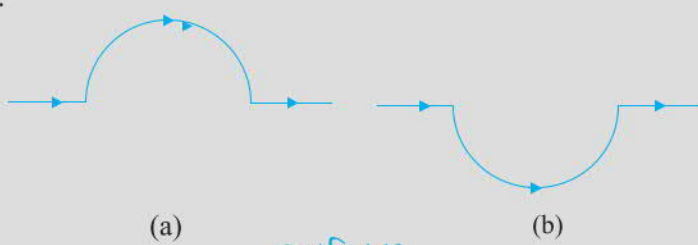
મળે છે. વર્તુળાકાર તારને લીધે ઉદ્ભવતી ચુંબકીયક્ષેત્ર રેખાઓ આકૃતિ 4.12માં દર્શાવ્યા મુજબ બંધ ગાળાઓ રચે છે. ચુંબકીયક્ષેત્રની દિશા (બીજા) જમણા-હાથના અંગુઠાના નિયમ વડે દર્શાવાય છે જે નીચે આપેલ છે :

તમારા જમણા હાથની મુઠી વર્તુળાકાર તારની ફરતે એ રીતે વાળો કે જેથી તમારી આંગળીઓ વિદ્યુતપ્રવાહની દિશામાં હોય. જમણા હાથનો અંગુઠો ચુંબકીયક્ષેત્રની દિશા દર્શાવશે.



આકૃતિ 4.12 વિદ્યુતપ્રવાહ ધારિત ગાળા માટે ચુંબકીયક્ષેત્ર રેખાઓ. ચુંબકીયક્ષેત્રની દિશા જમણા-હાથના અંગુઠાના નિયમ વડે મળે છે જે લમાણમાં દર્શાવ્યું છે. ગાળાની ઉપરની બાજુને ચુંબકનો ઉત્તર પ્રૂવ ગણી શકાય જયારે નીચેની બાજુને દક્ષિણ પ્રૂવ ગણી શકાય.

ઉદાહરણ 4.6 આકૃતિ 4.13(a)માં દર્શાવ્યા મુજબ 12 A વિદ્યુતપ્રવાહ ધારિત સીધા તારને 2 cm ત્રિજ્યાના અર્ધ વર્તુળાકાર ચાપમાં વાળ્યો છે. ધારોકે આ ચાપના કેન્દ્ર પર ચુંબકીયક્ષેત્ર \mathbf{B} છે. (a) સીધા વિભાગો વડે ઉદ્ભવતું ચુંબકીયક્ષેત્ર કેટલું હશે? (b) અર્ધવર્તુળાકાર ચાપના કારણે મળતા \mathbf{B} કરતાં, વર્તુળાકાર ગાળા વડે મળતું ચુંબકીયક્ષેત્ર કઈ રીતે જુદું પડે છે અને કઈ રીતે તેને મળતું આવે છે? (c) આકૃતિ 4.13(b)માં દર્શાવ્યા મુજબ આ તારને તેટલી જ ત્રિજ્યાના પરંતુ વિરુદ્ધ દિશામાં અર્ધ વર્તુળાકાર ચાપમાં વાળવામાં આવે તો તમારો જવાબ જુદો હશે?



ઉકેલ

- દરેક સીધા ખંડ માટે dI અને r સમાંતર છે. આથી, $dI \times r = 0$. સીધા ખંડ $|B|$ માં કોઈ ફાળો આપતા નથી.
- અર્ધવર્તુળાકાર ચાપના દરેક ખંડ માટે દરેક $dI \times r$ એકબીજાને સમાંતર છે (આ પુસ્તકના પાનના સમતલની અંદર જતું). આ દરેકનો ફાળો કુલ માનમાં ઉમેરાય છે. આથી અર્ધવર્તુળાકાર ચાપ માટે B ની દિશા જમણા હાથના અંગુઠાના નિયમ વડે દર્શાવાય છે અને તેનું મૂલ્ય વર્તુળાકાર ગાળા વડે મળતા માન કરતાં અડવું હોય છે. આમ B આ પાનના સમતલને લંબરૂપે અંદરની દિશા તરફ 1.9×10^{-4} T જેટલું છે.
- B નું માન (b)માં મળતા માન જેટલું જ પરંતુ વિરુદ્ધ દિશામાં મળશે.

ઉદાહરણ 4.7 10 cm ત્રિજ્યા ધરાવતું અને ખૂબ પાસે રહેલા 100 આંટા ધરાવતું એક ગુંચળું (Coil) ધ્યાનમાં લો, જેમાંથી 1 A વિદ્યુતપ્રવાહ પસાર થાય છે. આ ગુંચળાના કેન્દ્રમાં ચુંબકીયક્ષેત્રનું મૂલ્ય કેટલું હશે?

ઉકેલ ગુંચળું ખૂબ પાસે આંટા ધરાવતું હોવાથી, આપણે દરેક વર્તુળાકાર ઘટક (અંશ)ની ત્રિજ્યા એક સમાન $R = 10 \text{ cm} = 0.1 \text{ m}$ લઈ શકીએ. આંટાઓની સંખ્યા $N = 100$ ચુંબકીયક્ષેત્રનું મૂલ્ય

$$B = \frac{\mu_0 N I}{2R} = \frac{4\pi \times 10^{-7} \times 10^2 \times 1}{2 \times 10^{-1}} = 2\pi \times 10^{-4} = 6.28 \times 10^{-4} \text{ T}$$

4.7 ઓમ્પિયરનો સર્કીટલ (બંધ ગાળાનો) નિયમ (AMPERE'S CIRCUITAL LAW)

બાયોસાવરના નિયમને વધુ સારી અને સચોટ રીતે દર્શાવવાની બીજી રીત પણ છે.

ઓમ્પિયરના સર્કીટલ નિયમમાં સીમા રેખા ધરાવતી મુક્ત (ખૂલ્લી) સપાટી ધ્યાનમાં લેવામાં આવે છે (આફુતિ 4.14). આ સપાટીમાંથી વિદ્યુતપ્રવાહ પસાર થાય છે. આપણે સીમા રેખાને નાના ખંડોમાં વહેચાયેલી ગણી શકીએ. dI લંબાઈનો આવો એક ખંડ ધ્યાનમાં લો. આ ખંડ માટે આપણે ચુંબકીયક્ષેત્રનો સ્પર્શીય (Tangential) ઘટક B , લઈ તેની સાથે આ ખંડની લંબાઈ d નો ગુણાકાર કરીએ (નોંધ : $B, dI = B \cdot dI$). આવા બધા ગુણાકારોનો સરવાળો કરવામાં આવે છે. આ ખંડો સૂક્ષ્મ થતા જાય અને તેમની સંખ્યા વધતી જાય તે લક્ષ (Limit) વિચારીએ. અહીં સરવાળો સંકલનમાં પરિણમશે. ઓમ્પિયરનો સર્કીટલ નિયમ જણાવે છે કે આ સંકલન આ સપાટીમાંથી પસાર થતા વિદ્યુતપ્રવાહ અને μ_0 ના ગુણાકાર જેટલું હશે. એટલે કે,

$$\oint B \cdot dI = \mu_0 I \quad [4.17(a)]$$

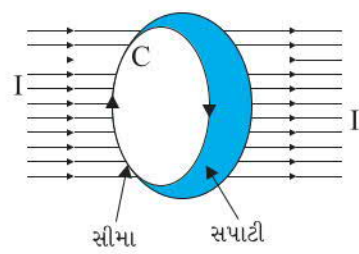
જ્યાં, I એ આ સપાટીમાંથી પસાર થતો કુલ વિદ્યુતપ્રવાહ છે. સંકલન આ સપાટીને સમાવતી સીમા Cના બંધ ગાળા પર લેવામાં આવે છે. ઉપરનું સમીકરણ, જમણા હાથના નિયમ વડે દર્શાવતી સંજ્ઞા-પ્રણાલિકા (રુઢિ)નું પાલન કરે છે. જમણા હાથની આંગળીઓને આ સીમા પર જે દિશામાં જવાના હોઈએ તે રીતે વાળો કે જે માટે બંધ ગાળા પર સંકલન $\oint B \cdot dI$ લીધું છે.

અહીં અંગુઠાની દિશા જે દિશામાં વિદ્યુતપ્રવાહ ને ધન ગણવામાં આવે છે તે દર્શાવે છે.

કેટલાક ઉપયોગો માટે, સમીકરણ 4.17(a)નું વધુ સરળ સ્વરૂપ પુરતું થઈ રહે છે. આવા કિસ્સાઓમાં આપણે એમ ધારીશું કે, એવો બંધ ગાળો (જેને ઓમ્પિરિયન લૂપ કહે છે) પસંદ કરવાનું શક્ય છે કે જે ગાળાના દરેક બિંદુ માટે, કંતો

ઉદાહરણ 4.7

ઉદાહરણ 4.7



આફુતિ 4.14



આન્ડ્રે ઓમ્પિયર

(Andre Ampere) (1775-1836)
 આન્ડ્રે મેરી ઓમ્પિયર ફેન્ચ ભौતિક શાસ્ત્રી, ગણિતજ્ઞ અને રસાયણજ્ઞાની હતો જેણે વિદ્યુત ગતિ શાળાના વિજ્ઞાનની શોધ કરી. ઓમ્પિયર નાનપણથી વિલક્ષણ હતો, જે 12 વર્ષની ઉંમરે તો વિકસિત (Advanced) ગણિતમાં પારંગત હતો. તેણે ઓર્સ્ટેડ્સ (Oersted's) ક્રેલી શોધનું મહત્વ સમજ્યું હતું. તેણે વિદ્યુતપ્રવાહ અને ચુંબકત્વ વચ્ચેનો સંબંધ જાળવા માટે ઘણા બધા પ્રયોગોની હારમાળાનો અભ્યાસ કર્યો. આ બધા પ્રયોગોના પરિણામ સ્વરૂપે 1827માં ‘ફક્ત પ્રયોગો આધારિત વિદ્યુતગતિ શાસ્ત્રની ઘટનાઓ વિશે ગણિતીય સિદ્ધાંત’ (Mathematical Theory of Electrodynamic Phenomena Deduced Solely from Experiments) પ્રકાશિત થયો. તેણે પૂર્વધારકા કરી કે બધી ચુંબકીય ઘટનાઓ, વર્તુળમાર્ગ (Circulating) વિદ્યુતપ્રવાહોના કારણે હોય છે. ઓમ્પિયર વિનન્દ્ર અને ભૂલકણા (બેધાન) હતા. એક વખત તે સપ્રાટ નેપોલીયને આપેલ જમણાનું આમંત્રણ પણ ભૂલી ગયા હતા. 61 વર્ષની ઉંમરે તે ન્યુમોનિયાના કારણે ગૃજરી ગયા. તેમની કબર પરના સમાધી લેખમાં લખ્યું છે : અંતે સુખી (Tandem Felix - Happy at Last).

આન્ડ્રે ઓમ્પિયર (Andre Ampere) (1775-1836)

- (i) **B** આ ગાળાને સ્પર્શિતું (સ્પર્શકની દિશામાં) હોય અને **B** અશૂન્ય અચળ હોય, અથવા

- (ii) **B** આ ગાળાને લંબરૂપે હોય, અથવા

- (iii) **B** નાભુદ થતું હોય.
 હવે, ધારોકે ગાળા (ના વિભાગ)ની લંબાઈ L માટે **B** સ્પર્શકની દિશામાં છે. ધારોકે આ ગાળા વડે ધેરાયેલ વિદ્યુતપ્રવાહ I_e છે. આથી સમીકરણ (4.17) પરથી

$$BL = \mu_0 I_e \quad [4.17(b)]$$

જ્યારે કોઈ સંભિતિ ધરાવતું તંત્ર હોય જેમકે આકૃતિ 4.15 મુજબ વિદ્યુતપ્રવાહ ધારિત અનંત લંબાઈનો સીધો તાર, તો ગુંસનો નિયમ જે રીતે વિદ્યુતક્ષેત્રની ગણતરી માટે મદદરૂપ થાય છે તે જ રીતે, ઓમ્પિયરના નિયમથી ચુંબકીયક્ષેત્રની ગણતરી સહેલાઈથી કરી શકાય છે. આ સ્થિતિ આગળ આપેલ ઉદાહરણ 4.8માં દર્શાવી છે. ધાનમાં લીધેલ ગાળાની સીમા વર્તુળાકાર છે અને ચુંબકીયક્ષેત્ર વર્તુળના પરિધિને સ્પર્શકની દિશામાં છે. સમીકરણ 4.17(b)ની ડાબી બાજુ માટે આ નિયમ મુજબ $B \cdot 2\pi r$ મળે. તારથી r અંતરે ચુંબકીયક્ષેત્ર સ્પર્શકની દિશામાં મળે, જેનું મૂલ્ય

$$B \times 2\pi r = \mu_0 I,$$

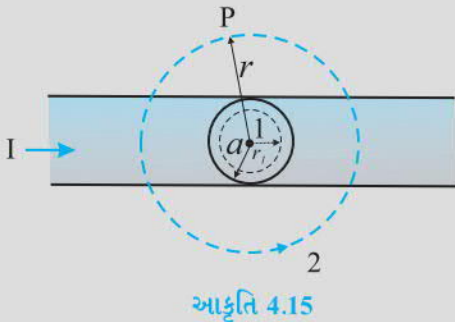
$$B = \mu_0 I / (2\pi r) \quad (4.18)$$

અનંત લંબાઈના તાર માટે ઉપરનું પરિણામ ઘણા દર્શિકોણથી રસપ્રદ છે.

- (i) તે દર્શાવે છે કે (તારને અક્ષ તરીકે ગણીએ તો), r ત્રિજ્યાના વર્તુળના દરેક બિંદુએ ચુંબકીયક્ષેત્રનું મૂલ્ય એક સરખું હોય છે. બીજો શરીરોમાં, ચુંબકીયક્ષેત્ર નળજીબારીય સંભિતિ ધરાવે છે. ક્ષેત્ર જે સામાન્ય રીતે ત્રણ યામ પર આધાર રાખે છે તે (અહીં) ફક્ત એક યામ r પર આધારિત છે. જ્યાં જ્યારે પણ સંભિત હોય ત્યાં (ઉકેલો સહેલા હોય છે (સહેલાઈથી મળે છે)).
- (ii) વર્તુળના દરેક બિંદુએ ચુંબકીયક્ષેત્ર સ્પર્શકની દિશામાં હોય છે. આમ, અચળ માનવાળા ચુંબકીયક્ષેત્રની રેખાઓ સમકેન્દ્રી વર્તુળો રચે છે. હવે યાદ કરો કે, આકૃતિ 4.1(c)માં, લોખંડની ભૂકી સમકેન્દ્રી વર્તુળો રચતી હતી. આ રેખાઓ જે બંધ વકો (ગાળા) રચે છે તેમને ચુંબકીયક્ષેત્ર રેખાઓ કહે છે. તે સ્થિત વિદ્યુતક્ષેત્ર રેખાઓની જે મ ધન વિદ્યુતભારોમાંથી ઉત્પન્ન થઈ ઋણ વિદ્યુતભારમાં સમાઈ જાય તેવી નથી. સીધા તાર વડે ઉદ્ભબતા ચુંબકીયક્ષેત્રનું સમીકરણ ઓરસ્ટેડ્સ કરેલા પ્રયોગોનું સૈદ્ધાંતિક સમાધાન કરે છે.
- (iii) બીજો નોંધવા જેવો મુદ્દો એ છે કે તાર અનંત લંબાઈનો હોવા છીતાં, તેનાથી નહિવતુ (પણ Non Zero) અંતરે (અત્યંત નજીક) ચુંબકીયક્ષેત્ર અનંત નથી. તારની ખૂબ નજીક પહોંચીએ ત્યારે જ તે ખૂબ જડપથી વધે છે. આ ક્ષેત્ર વિદ્યુતપ્રવાહના સમપ્રમાણમાં અને (અનંત લંબાઈનાં) વિદ્યુતપ્રવાહ ઉદ્ગમથી અંતરના વસ્તુ પ્રમાણમાં હોય છે.

- (iv) લાંબા (વિદ્યુતપ્રવાહ ધારિત) તાર વડે ઉદ્ભવતા (ચુંબકીય) ક્ષેત્રની દિશા શોધવા માટે એક સીધો નિયમ* છે. જમણા હાથના નિયમ તરીકે ઓળખાતો આ નિયમ નીચે મુજબ છે :
- તારને તમારા જમણા હાથથી એવી રીતે પકડો કે જેથી તમારો વિસ્તારેલો અંગૂઠો વિદ્યુતપ્રવાહની દિશામાં રહે. તમારી આંગળીઓ ચુંબકીયક્ષેત્રની દિશામાં વળેલી હશે.
- ઓભિયરનો સર્કીટલ નિયમ બાયોસાવરના નિયમ કરતાં કઈ પણ નવું કહેતો નથી. બંને ચુંબકીયક્ષેત્ર અને વિદ્યુતપ્રવાહને સાંકળે છે, અને બંને સ્થિર વિદ્યુતપ્રવાહના કારણો મળતા એકસમાન ભૌતિક પરિણામો જ દર્શાવે છે. જે રીતે કુલંબના નિયમ માટે ગોસનો નિયમ છે, તે જ રીતે બાયોસાવરના નિયમ માટે ઓભિયરનો નિયમ છે. ઓભિયરનો નિયમ બંને પરિમિતિ/પરિધિ કે સીમા પર આવેલી ભૌતિક રાશિ (ચુંબકીય કે વિદ્યુતક્ષેત્ર)ને અંદર રહેલી બીજી ભૌતિક રાશિ, જેમકે ક્ષેત્રના ઉદ્ગમ (વિદ્યુતપ્રવાહ કે વિદ્યુતભાર) સાથે સાંકળે છે. આપણે એ પણ નોંધીએ કે ઓભિયરનો સર્કીટલ નિયમ સ્થિર વિદ્યુતપ્રવાહો માટે સત્ય છે જે સમય સાથે બદલાતા ન હોય. હવે આપેલું ઉદાહરણ આપણને અંદર રહેલ (ધેરાયેલા) વિદ્યુતપ્રવાહ શર્દનો અર્થ સમજવા માટે મદદરૂપ થશે.

ઉદાહરણ 4.8 આકૃતિ 4.15માં વિદ્યુતપ્રવાહ I ધારિત, વર્તુળકાર આડહેદ (ત્રિજ્યા a)નો એક લાંબો સીધો તાર દર્શાવ્યો છે. વિદ્યુતપ્રવાહ I, આડહેદમાં સમાન રીતે પ્રસરેલો છે. $r < a$ અને $r > a$ વિસ્તારોમાં ચુંબકીયક્ષેત્રની ગણતરી કરો.



ઉકેલ

- (a) ધારોકે $r > a$. અનુકમ 2 વડે દર્શાવેલ ઓભિરિયન ગાળો, આ આડહેદ સાથે સમકેન્દ્રિત વર્તુળ (રચ્યે) છે. આ ગાળા માટે,

$$L = 2\pi r$$

$$I_e = \text{ગાળા વડે ધેરાયેલ વિદ્યુતપ્રવાહ} = I$$

પરિણામે, લાંબા સીધા તાર માટેનું જાહીઠું સમીકરણ

$$B(2\pi r) = \mu_0 I.$$

$$B = \frac{\mu_0 I}{2\pi r}$$

$$B \propto \frac{1}{r} (r \geq a) \quad [4.19(a)]$$

- (b) ધારોકે $r < a$. ઓભિરિયન ગાળો અનુકમ 1 વડે દર્શાવ્યો છે. આ ગાળા માટે, વર્તુળની ત્રિજ્યા r લઈએ તો,

$$L = 2\pi r$$

ઉદાહરણ 4.8

* નોંધો કે અહીં બે બિલકુલ અલગ જમણા હાથના નિયમો છે : એક વિદ્યુતપ્રવાહ ધારિત ગાળાની અક્ષ પર ચુંબકીયક્ષેત્ર B ની દિશા દર્શાવે છે. જ્યારે બીજો સીધા વિદ્યુતપ્રવાહ ધારિત તાર માટે B ની દિશા દર્શાવે છે. બંનેમાં આંગળીઓ અને અંગૂઠો અલગ અલગ ભજવે છે.

હવે ધેરાયેલ વિદ્યુતપ્રવાહ I_e , I જેટલો નથી પરંતુ આ મૂલ્યથી ઓછો છે. વિદ્યુતપ્રવાહનું વિતરણ સમાન હોવાથી, ધેરાયેલો વિદ્યુતપ્રવાહ

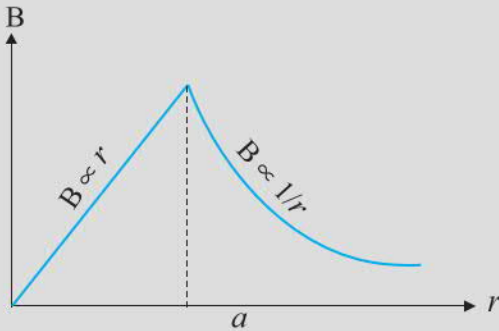
$$I_e = I \left(\frac{\pi r^2}{\pi a^2} \right) = \frac{I r^2}{a^2}$$

$$\text{એમિયરના નિયમ પરથી, } B(2\pi r) = \mu_0 \frac{I r^2}{a^2}$$

$$B = r \left(\frac{\mu_0 I}{2\pi a^2} \right)$$

$$B \propto r \quad (r \leq a)$$

[4.19(b)]



આકૃતિ 4.16

આકૃતિ (4.16)માં ચુંબકીયક્ષેત્ર B ના મૂલ્ય વિરુદ્ધ તારના કેન્દ્રથી અંતર a નો આલેખ દર્શાવ્યો છે. ચુંબકીયક્ષેત્રની દિશા અનુરૂપ વર્તુળાકાર ગાળા (1 કે 2) સાથે સ્પર્શકની દિશામાં હોય છે જે આ વિભાગમાં સમજાવેલ જમણા હાથના નિયમ મુજબ મળે છે. આ ઉદાહરણ જરૂરી સંમિતિ ધરાવે છે કે જેથી એમિયરનો નિયમ સરળતાથી લગાડી શકાય.

ફાઈલ 4.8

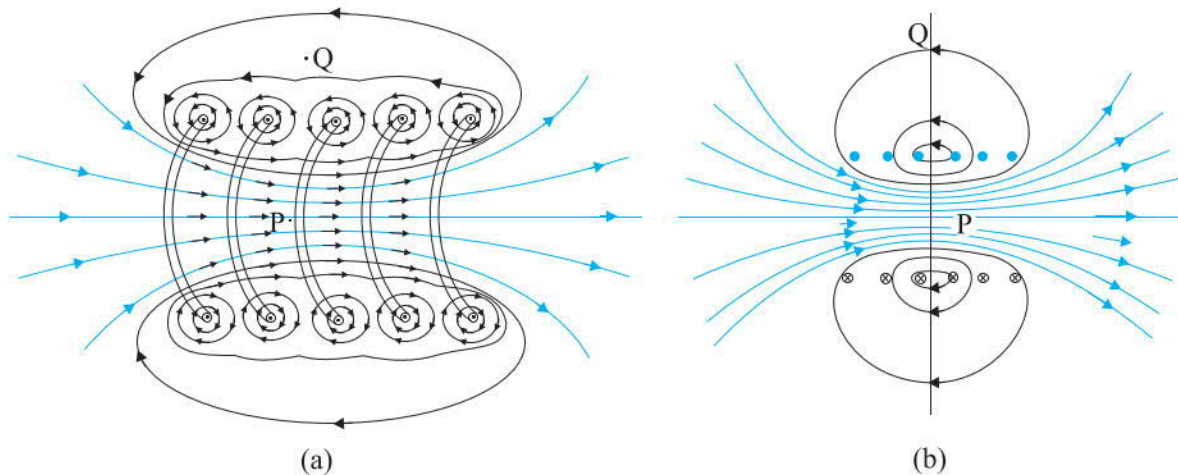
એ નોંધવું જોઈએ કે એમિયરનો સર્કિટલ નિયમ કોઈપણ ગાળા માટે સાચો હોવા છતાં, દરેક કિસ્સામાં તેના દ્વારા ચુંબકીયક્ષેત્રની ગણતરી દરેક વખતે શક્ય ન પણ બને. ઉદાહરણ તરીકે, પરિસ્ક્રેદ 4.6માં દર્શાવેલ વર્તુળાકાર ગાળાના કિસ્સામાં, ગાળાના કેન્દ્ર પાસે ચુંબકીયક્ષેત્ર માટેનું સામાન્ય સમીકરણ $B = \mu_0 I / 2R$ (સમીકરણ (4.16)) મેળવવા માટે તે (એમિયરનો નિયમ) લાગુ ન પાડી શકાય. આમ છતાં, ઊંચી સંમિતિ ધરાવતી એવી ઘણી બધી પરિસ્થિતિઓ છે કે જેના માટે આ નિયમ સહેલાઈથી લાગુ પાડી શકાય. આપણે તેનો ઉપયોગ હવે પછીના પરિશિષ્ટમાં સામાન્ય રીતે ઉપયોગમાં લેવાતા અને ખૂબ ઉપયોગી એવા બે ચુંબકીય તંત્રો, સોલેનોઇડ અને ટોરોઇડ માટે કરીશું.

4.8 સોલેનોઇડ અને ટોરોઇડ (THE SOLENOID AND THE TOROID)

સોલેનોઇડ અને ટોરોઇડ એ એવા બે સાધન છે જે ચુંબકીયક્ષેત્ર ઉત્પન્ન કરે છે. ટેલિવિઝનમાં સોલેનોઇડનો ઉપયોગ જરૂરી ચુંબકીયક્ષેત્રો ઉત્પન્ન કરવા માટે થાય છે. સિન્કોટ્રોનમાં આ બંનેનો ઉપયોગ સંયુક્ત રીતે, જરૂરી એવા ખૂબ ઊંચા ચુંબકીયક્ષેત્રો ઉત્પન્ન કરવા માટે થાય છે. સોલેનોઇડ અને ટોરોઇડ, બંનેમાં ખૂબ ઊંચી સંમિતિ (ની માત્રા) હોવાથી એમિયરનો નિયમ સહેલાઈથી લાગુ પાડી શકાય છે.

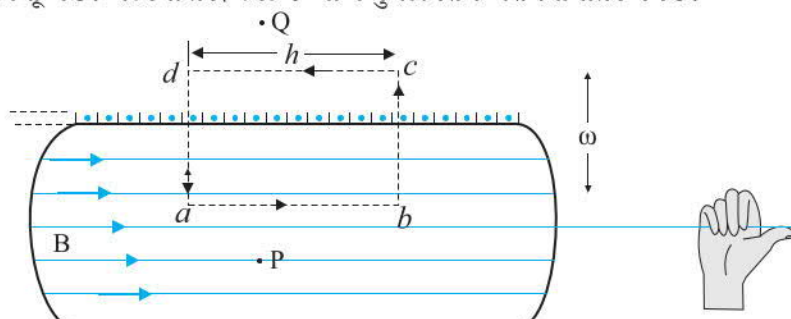
4.8.1 સોલેનોઇડ (The Solenoid)

આપણે લાંબા સોલેનોઇડની ચર્ચા કરીશું. લાંબા સોલેનોઇડનો મતલબ એ કે તેની ત્રિજ્યાની સરખામણીમાં તેની લંબાઈ ધણી વધુ હોય. તે એક લાંબા તારને ખૂબ પાસે રહેલા આંટાઓમાં હેલીકલ રૂપમાં વિંટાળીને બનાવેલ હોય છે. આથી દરેક આંટાને વર્તુળાકાર ગાળો ગણી શકાય. કુલ ચુંબકીયક્ષેત્ર, દરેક આંટાઓના કારણે ઉદ્ભવતા ચુંબકીયક્ષેત્રોના સહિત સરવાળા જેટલું હોય છે. આંટા વિટવા માટે ઈનેમલવાળા (અવાહક પડ ચઢાવેલા) તારનો ઉપયોગ કરવામાં આવે છે જેથી આ આંટા એક બીજાના સંપર્કમાં અવાહક તરીકે વર્તે.



આકૃતિ 4.17 (a) સોલેનોઇડના કારણે ઉદ્ભવતું ચુંબકીયક્ષેત્ર, જે સ્પષ્ટતા માટે પ્રસરાવીને દર્શાવ્યું છે.
ફક્ત બહારનો અર્ધવર્તુળાકાર ભાગ દર્શાવ્યો છે. આજુબાજુના વર્તુળાકાર ગાળાના આંટાઓની અસર
એકબીજાને કેવી રીતે નાખું કરે છે તે નોંધો. (b) સિમિત (પરિમિત) સોલેનોઇડનું ચુંબકીયક્ષેત્ર.

આકૃતિ 4.17માં સિમિત સોલેનોઇડની ચુંબકીયક્ષેત્ર રેખાઓ દર્શાવ્યો છે. આપણે આ સોલેનોઇડના એક ભાગનું વિવર્ણિત નિરૂપણ આકૃતિ 4.17(a)માં દર્શાવ્યું છે. આકૃતિ 4.17(b)માં સમગ્ર સોલેનોઇડ તેના ચુંબકીયક્ષેત્ર સાથે દર્શાવ્યો છે. આકૃતિ 4.17(a)માં, વર્તુળાકાર ગાળાઓ પરથી તે દેખીતું છે કે બાજુ બાજુના આંટાઓનું ચુંબકીયક્ષેત્ર નાખું થઈ જાય છે. આકૃતિ 4.17(b)માં આપણે જોઈ શકીએ કે સોલેનોઇડની અંદરની તરફ મધ્યમાં આવેલા બિંદુ P પાસે ચુંબકીયક્ષેત્ર નિયમિત (Uniform), પ્રબળ અને તેની અક્ષની દિશામાં છે. બહારના મધ્યબિંદુ Q પાસે ચુંબકીયક્ષેત્ર નબળું અને મોટાભાગે સોલેનોઇડની અક્ષને સમાંતર હોય છે. જેનો લંબ ઘટક હોતો નથી. સોલેનોઇડ જેમ મોટો બનતો જાય તેમ તે જાણે કે લાંબી નજાકાર ધાતુની તકિટ (Sheet) જેવો લાગે છે. આકૃતિ 4.18માં તેનું આદર્શ નિરૂપણ દર્શાવ્યું છે. સોલેનોઇડની બહાર ચુંબકીયક્ષેત્ર શૂન્યવત્ત થતું જાય છે. આપણે ધારીશું કે, બહારની તરફ ચુંબકીયક્ષેત્ર શૂન્ય છે. અંદરની તરફ દરેક જગ્યાએ ચુંબકીયક્ષેત્ર અક્ષને સમાંતર બને છે.



આકૃતિ 4.18 ખૂબ લાંબા સોલેનોઇડનું ચુંબકીયક્ષેત્ર. ચુંબકીયક્ષેત્ર શોખવા માટે
આપણે લંબચોરસ ઓફિસિયન ગાળો abeda ધ્યાનમાં લઈશું.

એક લंબચોરસ એમ્પિરિયન ગાળો $abcda$ ધારો. અગાઉ દર્શાવ્યું તેમ cd પર ચુંબકીય ક્ષેત્ર શૂન્ય છે. લંબ ખંડો bc અને ad પર, ચુંબકીયક્ષેત્રનો ઘટક શૂન્ય છે. આથી, આ બંને ખંડો કોઈ ફાળો આપતા નથી. ધારોકે ab ને સમાંતર ચુંબકીયક્ષેત્ર B છે.

આમ, એમ્પિરિયન ગાળાની પ્રસ્તુત લંબાઈ $L = h$ છે. જો એકમ લંબાઈ દીઠ આંટાઓની સંખ્યા n હોય, તો કુલ આંટાઓની સંખ્યા nh હોય. વેરાયેલો વિદ્યુતપ્રવાહ, $I_e = I(nh)$ છે. જ્યાં, I એ સોલેનોઇડમાંથી વહેતો વિદ્યુતપ્રવાહ. એમ્પિરના સર્કિટલ નિયમ (સમીકરણ 4.17(b)) પરથી,

$$BL = \mu_0 I_e, \quad BH = \mu_0 I(nh) \\ B = \mu_0 nI \quad (4.20)$$

ચુંબકીયક્ષેત્રની દિશા જમણા હાથના નિયમ પરથી મળે છે. સોલેનોઇડનો ઉપયોગ મોટા બાગે સમાન (નિયમિત) ચુંબકીયક્ષેત્ર મેળવવા માટે થાય છે. હવે પછીના પ્રકરણમાં આપણે જોઈશું કે સોલેનોઇડમાં અંદર નરમ લોખંડ ગર્ભ દાખલ કરવાથી મોટું ચુંબકીયક્ષેત્ર ઉત્પન્ન કરી શકાય છે.

4.8.2 ટોરોઇડ (The Toroid)

ટોરોઇડએ પોલી વર્તુળકાર રીંગ (વલય) છે. જેના પર તારના ધારા બધા આંટા (અવાહક પડ ચઢાવેલા) પાસપાસે વિંટાળેલા હોય છે. તેને એવા સોલેનોઇડ તરીકે વિચારી શકાય કે જેને વર્તુળકારમાં વાળીને એકબીજાને જોડેલ હોય. તેને વિદ્યુતપ્રવાહ I સાથે આકૃતિ 4.19(a)માં દર્શાવ્યો છે. આપણે જોઈશું કે ટોરોઇડની અંદરની ખૂલ્લી જગ્યામાં (P બિંદુઅંદર) અને તેની બહાર (Q બિંદુઅંદર) ચુંબકીયક્ષેત્ર શૂન્ય છે. ખૂબ નજીક આંટા ધરાવતા આદર્શ ટોરોઇડની અંદર ચુંબકીયક્ષેત્ર B નું મૂલ્ય અચળ હોય છે.

આકૃતિ 4.19 (b)માં ટોરોઇડનો આડહેદ દર્શાવ્યો છે. વર્તુળકાર ગાળાઓ માટે જમણા હાથના નિયમ મુજબ (ટોરોઇડની) અંદરના ભાગમાં ચુંબકીયક્ષેત્રની દિશા સમબંધી હોય છે. ત્રણ એમ્પિરિયન ગાળાઓ 1, 2 અને 3 ને નુટક રેખાઓ વડે દર્શાવ્યા છે. સંમિતિ મુજબ, ચુંબકીયક્ષેત્ર દરેક ગાળાને સ્પર્શકની દિશામાં હોવું જોઈએ તથા આપેલ ગાળા માટે તેનું મૂલ્ય અચળ હોવું જોઈએ. 2 અને 3 વડે બનતા બંને વર્તુળકાર વિસ્તારો ટોરોઇડને એવી રીતે છેદ છે કે જેથી વિદ્યુતપ્રવાહ ધારિત તારનો દરેક આંટો એક વખત ગાળા 2 વડે તથા બે વખત ગાળા 3 વડે છેદાય છે.

ધારોકે, ગાળા 1 પર ચુંબકીયક્ષેત્રનું મૂલ્ય B_1 છે : આથી એમ્પિરના સર્કિટલ નિયમ [સમીકરણ 4.17(a)]માં, $L = 2\pi r_1$

આમ છતાં, આ ગાળો કોઈ વિદ્યુતપ્રવાહને વેરતો (સમાવતો) ન હોવાથી $I_e = 0$. આથી,

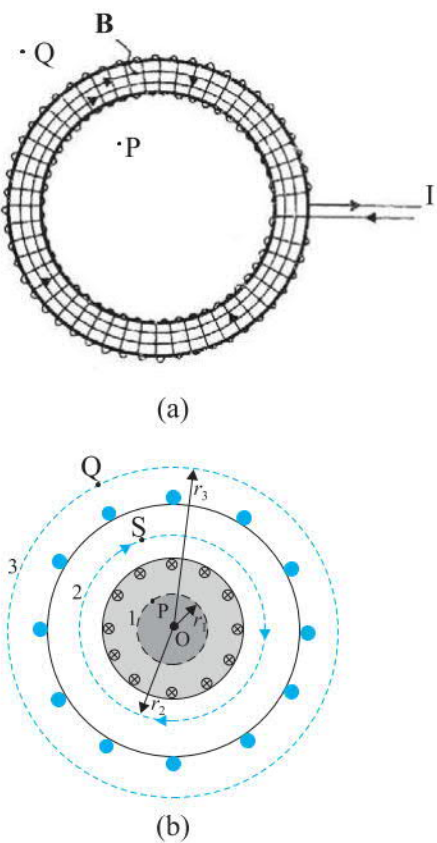
$$B_1(2\pi r_1) = \mu_0(0), \quad B_1 = 0$$

આથી, ટોરોઇડમાં ખૂલ્લી જગ્યામાં આવેલા કોઈ પણ બિંદુ P પાસે ચુંબકીયક્ષેત્ર શૂન્ય હોય છે.

હવે આપણે દર્શાવીશું કે આ જ રીતે Q પાસે ચુંબકીયક્ષેત્ર શૂન્ય હોય છે. ધારોકે ગાળા 3 પર ચુંબકીયક્ષેત્ર B_3 છે. અહીંયા પણ એમ્પિરના નિયમ પરથી $L = 2\pi r_3$. આમ છતાં, આડહેદ પરથી આપણે જોઈ શકીએ કે પુસ્તકના (પાનાના) સમતલમાંથી બહાર તરફ આવતો વિદ્યુતપ્રવાહ અંદર તરફ જતા તેટલા જ પ્રવાહ વડે નાખું થાય છે. આથી, $I_e = 0$ અને $B_3 = 0$. ધારોકે (સોલેનોઇડ) ટોરોઇડની અંદર ચુંબકીયક્ષેત્ર B છે. હવે આપણે S પાસે ચુંબકીયક્ષેત્ર ગણીશું અહીંયા પણ આપણે સમીકરણ [4.17(a)] મુજબ એમ્પિરના નિયમનો ઉપયોગ કરીશું આપણને $L = 2\pi r$ મળશે.

વેરાયેલો (સમાવતો) વિદ્યુતપ્રવાહ I_e (ટોરોઇડના ગુંયળાના N આંટા માટે), NI જેટલો છે.

$$B_1(2\pi r) = \mu_0 NI$$



આકૃતિ 4.19 (a) વિદ્યુતપ્રવાહ I ધારિત ટોરોઇડ. (b) ટોરોઇડનો આડહેદ. એમ્પિરના સર્કિટલ નિયમનો ઉપયોગ કરીને ટોરોઇડના કેન્દ્ર Oથી યાદચિક્કિત્તસ અંતરે ચુંબકીયક્ષેત્ર મેળવી શકાય છે. 1, 2 અને 3 વડે દર્શાવેલ નુટક રેખાઓ ત્રણ એમ્પિરિયન ગાળાઓ દર્શાવે છે.

$$B = \frac{\mu_0 NI}{2\pi r} \quad (4.21)$$

હવે આપણે ટોરોઇડ અને સોલેનોઇડ માટેના બે પરિણામોની સરખામણી કરીએ. સોલેનોઇડ માટે મળેલા સમીકરણ (4.20) સાથે સરખામણી સહેલાઈથી થાય તે માટે આપણે સમીકરણ (4.21)ને બિજ રીતે લખીશું. ધારોકે ટોરોઇડની સરેરાશ નિઝ્યા r છે અને એકમ લંબાઈ દીઠ આંટાઓની સંખ્યા n છે.

આથી,

$$N = 2\pi r n = \text{ટોરોઇડનો (સરેરાશ) પરિધિ} \times \text{એકમ લંબાઈ દીઠ આંટાઓની સંખ્યા}$$

અને આમ,

$$B = \mu_0 n I \quad (4.22)$$

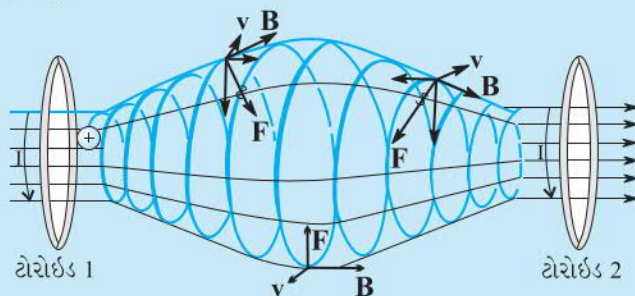
આ, સોલેનોઇડ માટેનું સમીકરણ છે !

આદર્શ ટોરોઇડમાં આંટાઓ વર્તુળાકાર હોય છે.

વાસ્તવમાં ટોરોઇડના ગુંચણામાં આંટાઓ હેલીક્ષ બનાવે છે જેમાં ટોરોઇડની બહાર થોડુંક ચુંબકીયક્ષેત્ર તો હોય જ છે.

ચુંબકીય બંધન (ધેરાવો) (MAGNETIC CONFINEMENT)

પરિચ્છેદ 4.3માં આપણે જોયું (આ પ્રકરણમાં અગાઉ આપેલ, વિદ્યુતભારીત કણોની હેલીક્લ ગતિ વિશેના બોક્ષમાં પણ જુઓ) કે વિદ્યુતભારીત કણોની કક્ષાઓ (ચુંબકીયક્ષેત્રમાં) હેલીક્લ (પેચ આકારની, સર્પિલ) હોય છે. જો ચુંબકીયક્ષેત્ર નિયમિત ન હોય, પરંતુ એક વર્તુળાકાર કક્ષા દરમિયાન વધુ પડતું બદલતું ન હોય, તો જ્યારે તે તીવ્ર ચુંબકીયક્ષેત્રમાં પ્રવેશો ત્યારે હેલીક્ષની નિઝ્યા ઘટશે અને જ્યારે તે નભળા ચુંબકીયક્ષેત્રમાં પ્રવેશો ત્યારે (હેલીક્ષની નિઝ્યા) વધશે. શૂન્યાવકાશિત બંધુ પાત્રમાં થોડાક અંતરે રહેલા બે સોલેનોઇડ ધાનમાં લો (નીચે આપેલ આકૃતિ જુઓ જેમાં આપણે બંધ પાત્ર દર્શાવ્યું નથી). બે સોલેનોઇડ વચ્ચેના અવકાશમાં વિદ્યુતભારીત કણો નાની નિઝ્યા (ના હેલીક્લ માર્ગ)થી ગતિ શરૂ કરશે. જેમ ચુંબકીયક્ષેત્ર ધેરે તેમ આ નિઝ્યા વધશે અને બીજા સોલેનોઇડ પાસે પહોંચતા (ચુંબકીયક્ષેત્ર વધાવથી) નિઝ્યા ફરીથી ઘટશે. સોલેનોઇડ જાહેર કે અરિસા (પરાવર્તક) તરીકે વર્તે છે. [આકૃતિમાં દર્શાવ્યા મુજબ જ્યારે (વિદ્યુતભારીત) કણ ગુંચણા 2 પાસે પહોંચે ત્યારે Fની દિશા જુઓ. આગળ તરફની (Forward) ગતિની વિરુદ્ધ દિશામાં તેને (Fને) સમક્ષિતિજ ઘટક છે]. આ કારણે જ્યારે આ કણો સોલેનોઇડ પાસે પહોંચે ત્યારે પાછા ફરે છે. આવી રચના ચુંબકીય શીશી (Bottle) કે ચુંબકીય પાત્ર તરીકે વર્તે છે. આ કણો ક્રારેય (બે સોલેનોઇડને સમાવતા) પાત્રની દિવાલોને સ્પર્શશે નહીં. ફ્યુઝનના પ્રયોગો દરમાન ઊંચી ઊર્જા ધરાવતા ખાજમાને જકડી રાખવા (To Confine, ધેરી રાખવા) આવી ચુંબકીય બોટલ્સ ખૂબ ઉપયોગી છે. ખૂબ ઊંચા તાપમાનને કારણે આ ખાજમાં બીજા કોઈ પણ પ્રકારના પદાર્થ (દ્રવ્ય)ના પાત્રનો નાશ કરી દેશે. બીજું મહત્વનું (ઉપયોગી) પાત્ર ટોરોઇડ છે. ટોકામેક (Tokamak) કે જે ફ્યુઝન પાવર રીએક્ટર્સ માટે ખાજમાને જકડી (ધેરી) રાખતું ઉપકરણ છે, તેમાં ટોરોઇડ મહત્વનો ભાગ ભજવે તેવું અપેક્ષિત છે. ફાન્સમાં નિયંત્રિત સંલયન (Controlled Fusion) સિદ્ધ કરવા માટે ઇન્ટરનેશનલ થર્મોન્યુક્લિકઅર એક્સપરીમેન્ટલ રિએક્ટર (ITER)ની રચના આંતર રાખ્યી સહયોગથી કરવામાં આવી છે, જેમાં ભારત પણ એક સહયોગી દેશ છે. ITER સહયોગી સંસ્થા અને તેના કાર્ય (Project) વિશે વધુ માહિતી તમે <http://www.iter.org>ની મુલાકાત લઈ મેળવી શકો.



ઉदाहરण 4.9

ઉદાહરણ 4.9 1 cm ન્યિજયા અને 0.5 m લંબાઈનો સોલેનોઇડ 500 આંટા ધરાવે છે. તેમાંથી 5 A વિદ્યુતપ્રવાહ પ્રસાર થાય છે. સોલેનોઇડની અંદર ચુંબકીયક્ષેત્રનું મૂલ્ય કેટલું હશે?

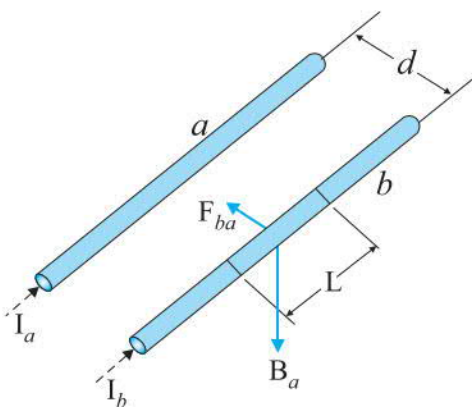
ઉકેલ એકમ લંબાઈ દીઠ આંટાઓની સંખ્યા

$$n = \frac{500}{0.5} = 1000 \text{ turns/m}$$

લંબાઈ $l = 0.5 \text{ m}$ અને ન્યિજયા $r = 0.01 \text{ m}$. આથી $l/a = 50$ એટલે કે $l \gg a$. આથી, આપણે લાંબા સોલેનોઇડના સમીકરણ (4.20)નો ઉપયોગ કરી શકીએ,

$$\begin{aligned} B &= \mu_0 n I \\ &= 4\pi \times 10^{-7} \times 10^3 \times 5 \\ &= 6.28 \times 10^{-3} \text{ T} \end{aligned}$$

4.9 બે સમાંતર વિદ્યુતપ્રવાહ વચ્ચે લાગતું બળ, ઓમ્પિયર (FORCE BETWEEN TWO PARALLEL CURRENTS, THE AMPERE)



આકૃતિ 4.20 સ્થિર વિદ્યુતપ્રવાહ I_a અને I_b ધરાવતા અને એકબીજાથી d અંતરે રહેલા બે સીધા વાહકો (તાર). વાહક 'a' વડે વાહક 'b' પાસે ઉદ્ભવતું ચુંબકીયક્ષેત્ર B_a છે.

આપણે શીખ્યા છીએ કે વિદ્યુતપ્રવાહ ધારિત વાહકના કારણે ચુંબકીયક્ષેત્ર ઉદ્ભવે છે જે બાયોસાવરના નિયમને અનુસરે છે. ઉપરાંત, આપણે એ પણ શીખ્યા છીએ કે બાબત ચુંબકીયક્ષેત્ર, વિદ્યુતપ્રવાહ ધારિત વાહક પર બળ લગાડશે. તે લોરેન્ઝના સમીકરણ પરથી મળે છે. આમ, પાસપાસે મુકેલા બે વિદ્યુતપ્રવાહ ધારિત વાહકો એકબીજા પર (ચુંબકીય) બળ લગાડશે, એવી અપેક્ષા રાખવી તર્કસંગત છે. 1820–25ના ગાળામાં, ઓમ્પિયરે આ ચુંબકીય બળનો પ્રકાર અને વિદ્યુતપ્રવાહના મૂલ્ય પર, વાહકોના આકાર અને કદ પર તથા બે વાહકો વચ્ચેના અંતર પર તેના આધાર વિશે અભ્યાસ કર્યો. આ પરિણયેદમાં આપણે બે સમાંતર વિદ્યુતપ્રવાહ ધારિત વાહકોનું ઉદાહરણ જોઈશું, જે આપણને ઓમ્પિયરે કરેલા કષ્ટમય કાર્ય વિશે ઘ્યાલ આપશે.

આકૃતિ 4.20માં એકબીજાથી d અંતરે રહેલા બે લાંબા, સમાંતર વાહકો a અને b દર્શાવ્યા છે જેમાંથી અનુક્રમે (સમાંતર) વિદ્યુતપ્રવાહો I_a અને I_b પસાર થાય છે. વાહક 'a' દ્વારા વાહક 'b' પર દરેક બિંદુએ સમાન ચુંબકીયક્ષેત્ર B_a ઉત્પન્ન થાય છે. જમણા હાથનો નિયમ દર્શાવે છે કે આ ક્ષેત્રની દિશા (જ્યારે બંને વાહકો સમક્ષિતજ મુક્યા હોય ત્યારે) નીચે તરફ (અધોદિશામાં) હોય છે. તેનું મૂલ્ય સમીકરણ [4.19(a)] પરથી અથવા ઓમ્પિયરના સર્કિટલ નિયમ પરથી મળે છે,

$$B_a = \frac{\mu_0 I_a}{2\pi d}$$

ચુંબકીયક્ષેત્ર B_a ના કારણે વિદ્યુતપ્રવાહ I_b ધરાવતો સુવાહક, બાજુની તરફ (ચુંબકીય) બળ અનુભવશે. B_a ના કારણે લાગતું આ બળ સુવાહક 'a'ની દિશામાં હશે (ચકાસો). આ બળને આપણે F_{ba} વડે દર્શાવીશું, જે 'b'ના વિભાગ (ખંડ) L પર 'a'ના કારણે લાગતું બળ છે. આ બળનું મૂલ્ય સમીકરણ (4.4) પરથી,

$$\begin{aligned} F_{ba} &= I_b L B_a \\ &= \frac{\mu_0 I_a I_b}{2\pi d} L \end{aligned} \quad (4.23)$$

‘b’ના કારણે ‘a’ પર લાગતું બળ શોધવું પણ શક્ય છે. ઉપર કરેલી ધારણાઓ મુજબ આપણે ‘a’ના વિભાગ (ખંડ) L પર ‘b’ વડે લાગતું બળ F_{ab} શોધી શકીએ. તે F_{ab} ના મૂલ્ય જેટલું અને બની તરફ હોય છે. આથી,

$$F_{ba} = -F_{ab} \quad (4.24)$$

નોંધો કે આ ન્યૂટનના ગ્રીજા નિયમ સાથે સુસંગત છે.* આમ, ઓછામાં ઓછું સમાંતર વાહકો અને સ્થિર વિદ્યુતપ્રવાહો માટે આપણે દર્શાવ્યું કે બાયોસાવરનો નિયમ અને લોરેન્ઝ બળનું પરિણામ ન્યૂટનના ગ્રીજા નિયમ મુજબ મળે છે.

ઉપર આપણે જોયું કે, એક જ દિશામાં વહેતા વિદ્યુતપ્રવાહો એક બીજાને આકર્ષે છે. કોઈ એ પણ દર્શાવી શકે કે વિરુદ્ધ દિશામાં વહેતા વિદ્યુતપ્રવાહો એકબીજાને અપાકર્ષે છે. આમ,

સમાંતર વિદ્યુતપ્રવાહો આકર્ષી અને પ્રતિસમાંતર પ્રવાહો અપાકર્ષી હોય છે.

સ્થિત વિદ્યુતના નિયમ કરતાં આ નિયમ ઉલટો છે. સમાન (સાંજાતિક) વિદ્યુતભારો એકબીજાને અપાકર્ષે છે, જ્યારે સમાન (સમાંતર) વિદ્યુતપ્રવાહો એકબીજાને આકર્ષે છે.

ધારો કે, બળ F_{ba} નું એકમ લંબાઈ દીઠ મૂલ્ય f_{ba} વડે દર્શાવીએ તો સમીકરણ (4.23) પરથી,

$$f_{ba} = \frac{\mu_0 I_a I_b}{2\pi d} \quad (4.25)$$

આ સમીકરણનો ઉપયોગ એમ્પિયર (A)ને વ્યાખ્યાયિત કરવા માટે થાય છે, જે સાત મૂળભૂત SI એકમોમાંનો એક છે.

એમ્પિયર એ સ્થિર વિદ્યુતપ્રવાહનું અનું મૂલ્ય છે, જે બે ખૂબ લાંબા, સીધા અને નહીંવત (અવગાણ્ય) આડહેદ ધરાવતા તથા શૂન્યાવકાશમાં એકબીજાથી એક મીટર અંતરે સમાંતર મુકેલા, વાહકોમાંથી પસાર થતો હોય, ત્યારે બંને વાહકો પર એક મીટર લંબાઈ દીઠ 2×10^{-7} ન્યૂટન બળ લગાડે (ઉત્પન્ન કરે).

એમ્પિયરની આ વ્યાખ્યા 1946માં સ્વીકારવામાં આવી. આ સૈદ્ધાંતિક વ્યાખ્યા છે. વ્યવહારમાં આપણે પૃથ્વીના ચુંબકીયક્ષેત્રની અસર નાખું કરવી જોઈએ તથા ખૂબ લાંબા તારની જગ્યાએ યોગ્ય ભૌમિતિક આકારના ઘણા આંટા ધરાવતા ગુંચળાઓનો ઉપયોગ કરવો પડે. વિદ્યુતપ્રવાહ તુલા (ડાંટા, Balance) નામના સાધનનો ઉપયોગ આ યાંત્રિક બળ માપવા માટે થાય છે.

વિદ્યુતભારનો SI એકમ, જે કુલંબ કહેવાય છે, તેને હવે એમ્પિયરના સંદર્ભમાં વ્યાખ્યાયિત કરી શકાય.

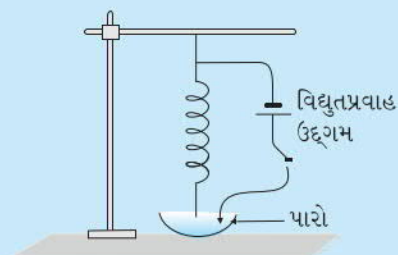
જ્યારે સુવાહકમાંથી 1 A જેટલો સ્થિર વિદ્યુતપ્રવાહ પસાર કરવામાં આવે, ત્યારે તેના આડહેદમાંથી 1 માં પસાર થતો વિદ્યુતભાર એક કુલંબ (1 C) જેટલો હોય છે.

* એ જણાયું છે કે જ્યારે વિદ્યુતપ્રવાહો અને/અથવા ગતિમાન વિદ્યુતભારો સમય પર આધારિત હોય, ત્યારે વિદ્યુતભારો અને/અથવા (વિદ્યુતપ્રવાહ ધારિત) સુવાહકો વચ્ચે લાગતા બળો માટે ન્યૂટનના ગ્રીજાને નિયમ લાગુ પડતો નથી. યંત્રશાલમાં ન્યૂટનના ગ્રીજા નિયમ પરથી, અલગ કરેલા તંત્ર માટે વેગમાનના સંરક્ષણનો નિયમ, સીધો તરી આવે છે. જો (વિદ્યુત કે ચુંબકીય) કેન્દ્ર વડે ધારણા કરાતું વેગમાન ધ્યાનમાં લેવામાં આવે તો આ બાબત વિદ્યુતચુંબકીયક્ષેત્રોની સમય-આધારિત પરિસ્થિતિઓમાં પડા લાગુ પડે છે.

समांतर विद्युतप्रवाहो वथ्येना आकर्षण माटे रोगेटनुं सर्पिल गुंचणुं (ROGET'S SPIRAL FOR ATTRACTION BETWEEN PARALLEL CURRENTS)

सामान्य रीते चुंबकीय असरो, विद्युतीय असरो करतां नानी होय छे. परिणामे, विद्युति प्रवाहो वथ्येनुं बળ सामान्यतः ओहु होय छे, कारण के गुणांक μ नानो होय छे. आथी विद्युतप्रवाहो वथ्येनुं आकर्षण के अपाकर्षण दर्शाववुं अघरुं पडे छे. आम, 1 cm अंतरे रहेला 5 A विद्युतप्रवाह धारित तार माटे, एक भीटर लंबाई दीठ बળ 5×10^{-4} N जेटलुं होय, जे लगभग 50 mg वजन जेटलुं छे. ते गरगडी परथी पसार थती दोरी पर 50 mg वजन लटकावाने तारने उपर खेचवा जेटलुं छे. तारनुं स्थानांतर नोंधपात्र न होय तेवुं होय छे.

नरम स्प्रिंगनो उपयोग करीने, आपणे समांतर विद्युतप्रवाहनी असरकारक लंबाई वधारी शकीओ अने पारानो उपयोग करीने आपणे थोडा भिमि (mm) जेटलुं स्थानांतर दृश्यमान बनावी शकीओ. आ माटे आपणने अचण 5 A विद्युतप्रवाह आपी शके तेवा विद्युतप्रवाह उद्गमनी जडू पडेशे.



जेनो प्राकृतिक दोलन आवर्तकाण 0.5 – 1 s होय तेवुं नरम सर्पिल गुंचणु (स्प्रिंग) लो. तेने लंबरुपे लटकावो. तथा आकृतिमां दर्शाव्या मुजब तेनो नीचेनो छेडो अडीदार राखो. एक पात्रमां पारो लो अने स्प्रिंगने एवी रीते गोठवो के जेथी तेनो अडीदार छेडो पारानी सपाटीने (फक्त) स्लेज अडके. DC विद्युतप्रवाह उद्गम लो, तेना एक छेडाने स्प्रिंगना उपरना छेडा साथे जोडो तथा बीजा छेडाने पारामां ढूबे ते रीते राखो. ज्यारे स्प्रिंगनो अडीदार छेडो पाराना संपर्कमां आवे त्यारे पारा द्वारा परिपथ पूर्ण थाय छे.

शुडआतमां धारेके DC उद्गमने बंध राखवामां आवे छे. स्प्रिंगनी अण्णी अ रीते गोठवेली छे के जेथी ते पाराने फक्त स्लेज अडके. अचण विद्युतप्रवाहना उद्गमने चालु करो अने अद्भुत नजारो जुओ. स्प्रिंग जाटका साथे संकोचाशे, अडीदार छेडो पारामांथी बहार आवशे (फक्त एकाद भीमी जेटलो), परिपथ तूटेशे जेथी विद्युतप्रवाह अटकी जशे. स्प्रिंग पाछी तेना मूळ स्थाने आववा प्रयत्न करेशे, तेनो अडीदार छेडो फरीथी पाराने अडशे जेथी परिपथमां विद्युतप्रवाह वહेवा लागशे अने आ रीते आवर्तनो टीक, टीक, टीक... करतां चालु रहेशे. शुडआतमां, सारी असर उत्पन्न करवा माटे तमारे थोडीक नानी फेरगोठवङ्गी करवी पडे.

पारानी वराण झेरी होय छे आथी तमारो चहेरो तेनाथी दुर राखो. पारानी वराणने लांबा समय सुधी श्वासमां न लो.

उदाहरण 4.10 कोई स्थगे पृथ्वीना चुंबकीयक्षेत्रनो समक्षितिज घटक 3.0×10^{-5} T छे अने आ क्षेत्रनी दिशा भौगोलिक दक्षिणाथी भौगोलिक उत्तर तरफ छे. एक लांबो सीधो वाहक 1 A जेटलो स्थायी विद्युतप्रवाह धरावे छे. तेने समक्षितिज टेबल पर मुकवामां आवे अने तेमांथी पसार थता विद्युतप्रवाहनी दिशा (a) पूर्वथी पश्चिम तरफ, (b) दक्षिणाथी उत्तर तरफ होय, त्यारे तेना एकम लंबाई दीठ तेना पर लागतुं हशे?

$$\text{उकेल } F = I l \times B$$

$$F = I/B \sin\theta$$

एकम लंबाई दीठ बળ

$$f = F/l = I B \sin\theta$$

(a) ज्यारे विद्युतप्रवाह पूर्वथी पश्चिम तरफ वहेतो होय त्यारे $\theta = 90^\circ$

आथी, $f = I B$

$$= 1 \times 3 \times 10^{-5} = 3 \times 10^{-5} \text{ N m}^{-1}$$

જે એમ્પિયરની વ્યાખ્યામાં દર્શાવેલ મૂલ્ય $2 \times 10^{-7} \text{ N m}^{-1}$ કરતાં વધુ છે. આથી અહીંથાં એમ્પિયરને પ્રમાણભૂત કરવા માટે પૃથ્વીના ચુંબકીયક્ષેત્ર અને બીજા ક્ષેત્રોની અસર નાભૂદ કરવી જોઈએ.

બળની હિસા નીચે તરફ છે. સંદિશ ગુણાકારના હિસા ગુણધર્મ મુજબ આ હિસા મેળવી શકાય.

- (b) જ્યારે વિદ્યુતપ્રવાહ ઉત્તરથી દક્ષિણ તરફ વહેતો હોય તારે

$$\theta = 0^\circ$$

$$f = 0$$

આથી વાહક પર કોઈ બળ લાગતું નથી.

4.10 વિદ્યુતપ્રવાહ ધારિત ગૂંઘળા (પ્રવાહગાળા) પર લાગતું ટોક, ચુંબકીય ડાઈપોલ (TORQUE ON CURRENT LOOP, MAGNETIC DIPOLE)

4.10.1 નિયમિત ચુંબકીયક્ષેત્રમાં રાખેલ વિદ્યુતપ્રવાહ ધારિત લંબચોરસ ગૂંઘળા (પ્રવાહગાળા) પર લાગતું ટોક (Torque on a Rectangular Current Loop in a Uniform Magnetic Field)

હવે આપણે દર્શાવીએ કે સ્થિર વિદ્યુતપ્રવાહ I ધારિત લંબચોરસ ગૂંઘળાને નિયમિત ચુંબકીયક્ષેત્રમાં મુકતાં તે ટોક અનુભવે છે. તે કોઈ પરિણામી (ચોખ્યું) બળ અનુભવતું નથી. જે વિદ્યુત ડાઈપોલને નિયમિત વિદ્યુતક્ષેત્રમાં મુકતાં (વિભાગ 1.10) થતી વર્તાણું સાથે મળતું આવે છે.

પહેલાં આપણે સાદો કિસ્સો ધ્યાનમાં લઈશું કે જ્યારે લંબચોરસ ગૂંઘળાનું એ રીતે મુકવામાં આવેલ હોય કે જેથી નિયમિત ચુંબકીયક્ષેત્ર **B** આ ગૂંઘળાના સમતલમાં હોય. જે આફૂતિ 4.21(a)માં દર્શાવેલ છે.

આ ચુંબકીયક્ષેત્ર ગૂંઘળાની AD અને BC બાજુઓ પર કોઈ બળ લગાડતું નથી. તે ગૂંઘળાની AB બાજુને લંબરૂપે છે અને તેના પર \mathbf{F}_1 જેટલું બળ લગાડે છે, જે ગૂંઘળાના સમતલ (પૃષ્ઠ)માં અંદર તરફ હોય છે. તેનું મૂલ્ય

$$\mathbf{F}_1 = I b \mathbf{B}$$

આ જ રીતે તે CD બાજુ પર બળ \mathbf{F}_2 લગાડે છે અને \mathbf{F}_2 પૃષ્ઠના સમતલમાંથી બદાર તરફની હિસામાં હોય છે.

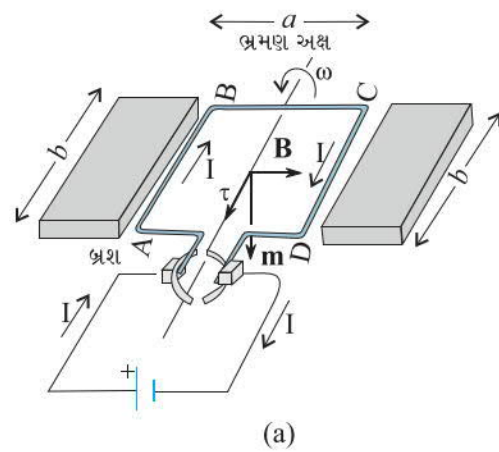
$$\mathbf{F}_2 = I b \mathbf{B} = \mathbf{F}_1$$

આમ, ગૂંઘળા પરનું પરિણામી (ચોખ્યું) બળ શૂન્ય છે. \mathbf{F}_1 અને \mathbf{F}_2 બળોની જોડને કારણે ગૂંઘળા પર ટોક લાગે છે. આફૂતિ 4.21(b)માં AD બાજુના છેડા તરફથી દેખાતું દર્શય દર્શાવ્યું છે. તે દર્શાવે છે કે ગૂંઘળા પર લાગતું ટોક તેને વિષમદી રીતે ઘૂમાવવાનો પ્રયત્ન કરે છે. આ ટોક (નું મૂલ્ય),

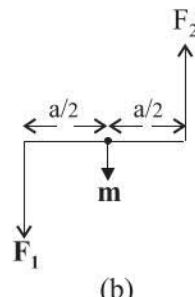
$$\begin{aligned} \tau &= F_1 \frac{a}{2} + F_2 \frac{a}{2} \\ &= IbB \frac{a}{2} + IbB \frac{a}{2} = I(ab)B \\ &= IAB \end{aligned} \quad (4.26)$$

જ્યાં $A = ab$ એ લંબચોરસનું ક્ષેત્રફળ છે.

હવે આપણે એવો કિસ્સો ધ્યાનમાં લઈએ કે જેમાં ગૂંઘળાનું સમતલ, ચુંબકીયક્ષેત્રની હિસામાં ન હોય, પરંતુ તેની સાથે કોઈ ખૂણો બનાવે. આપણે



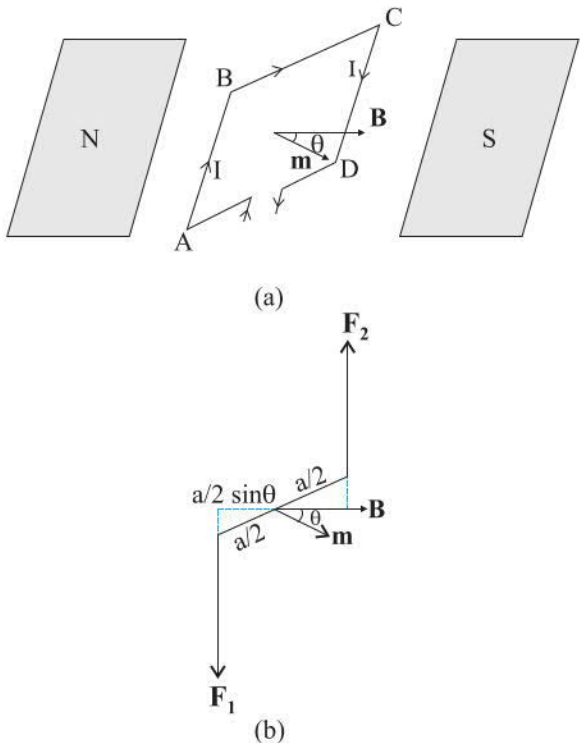
(a)



(b)

આફૂતિ 4.21 (a) નિયમિત ચુંબકીયક્ષેત્રમાં રહેલું વિદ્યુતપ્રવાહ ધારિત લંબચોરસ ગૂંઘળાનું ચુંબકીય મોમેન્ટ (ચાકમાત્રા) m નીચે તરફની હિસામાં છે. ટોક τ અક્ષ પર છે અને તે ગૂંઘળાને વિષમદી હિસામાં ઘૂમાવવાનો પ્રયત્ન કરે છે.

(b) ગૂંઘળા પર લાગતું બળ યુગ્મ



આકૃતિ 4.22 (a) ગૂંચળાનો ક્ષેત્રફળ સદિશ ચુંબકીયક્ષેત્ર સાથે θ ખૂલ્ણો બનાવે છે. (b) ઉપરથી જોતાં ગૂંચળાનો દેખાવ. AB અને CD બાજુઓ પર લાગતાં બળ F_1 અને F_2 દર્શાવ્યા છે.

(ચુંબકીય) ક્ષેત્ર અને ગૂંચળાને દોરેલ લંબ સાથેનો ખૂલ્ણો θ લઈએ(આગળના ડિસ્ટા માટે $\theta = \pi/2$ હતું). આકૃતિ 4.22માં આ વાપક ડિસ્ટો દર્શાવ્યો છે.

BC અને DA બાજુઓ પર લાગતાં બળો સમાન (મૂલ્યના), વિરુદ્ધ દિશામાં, તથા BC અને DAના દ્રવ્યમાન કેન્દ્રોને જોડતી અક્ષ પર લાગે છે. આ બળો અક્ષ પર એક રેખસ્થ હોવાથી આ બળો એકબીજાને નાભુદ કરે છે જેથી પરિણામી બળ કે ટોક લાગતું નથી. AB અને CD બાજુઓ પરના બળ F_1 અને F_2 છે. તે પણ સમાન અને વિરુદ્ધ દિશામાં છે, જેમનું મૂલ્ય

$$F_1 = F_2 = I b B$$

પરંતુ તેઓ (આ બળો) એક રેખા પર (એક રેખસ્થ) નથી ! આથી અગાઉની જેમ બળ યુગ્મ ઉદ્ભવે છે. આમ છતાં, આ ટોક અગાઉના ડિસ્ટા, જેમાં ગૂંચળાનું સમતલ ચુંબકીયક્ષેત્રની દિશામાં હતું તે કરતાં ઓછું છે. આનું કારણ એ છે કે, આ બળોની જોડ (યુગ્મ) વચ્ચેનું લંબ અંતર ઘટ્યું છે. આકૃતિ 4.22(b)માં AD છેડા તરફથી જોતાં દેખાતું દર્શાવ્યું છે અને તે જોડ (યુગ્મ) રચતાં બે બળો દર્શાવે છે. ગૂંચળા પર લાગતાં ટોકનું મૂલ્ય,

$$\begin{aligned} \tau &= F_1 \frac{a}{2} \sin\theta + F_2 \frac{a}{2} \sin\theta \\ &= I ab B \sin\theta \\ &= IAB \sin\theta \end{aligned} \quad (4.27)$$

જેમ $\theta \rightarrow 0$, તેમ બળોની જોડ (યુગ્મ) વચ્ચેનું લંબ અંતર પણ શૂન્ય થતું જાય છે. તે બળોને એક રેખસ્થ કરે છે અને પરિણામી બળ તથા ટોક શૂન્ય થાય છે. સમીકરણો (4.26) અને (4.27)માં દર્શાવેલા ટોકને ગૂંચળાની ચુંબકીય મોમેન્ટ (ચાકમાત્રા) અને ચુંબકીયક્ષેત્રના સદિશ ગુણાકાર વડે દર્શાવી શકાય. આપણે વિદ્યુતપ્રવાહ ધારિત ગૂંચળાની ચુંબકીય મોમેન્ટ આ રીતે વ્યાખ્યાયોગીત કરીએ છીએ,

$$m = IA \quad (4.28)$$

જ્યાં (ગૂંચળાના) ક્ષેત્રફળ સદિશની દિશા જમણા હાથના અંગુઠાના નિયમ પરથી મળે છે. જે આકૃતિ 4.21માં પૃષ્ઠના સમતલમાં અંદરની તરફ જતી દર્શાવી છે. m અને B વચ્ચેનો ખૂલ્ણો પણ θ હોવાથી, સમીકરણો (4.26) અને (4.27)ને એક સમીકરણ વડે આ મુજબ દર્શાવી શકાય.

$$\tau = m \times B \quad (4.29)$$

જે સ્થિત વિદ્યુતના ડિસ્ટા (વિદ્યુતક્ષેત્ર E માં રહેલા ડાઈપોલ મોમેન્ટ p_e ધરાવતા ડાઈપોલ) જેવું છે.

$$\tau = p_e \times E$$

સમીકરણ (4.28) પરથી જોઈ શકાય કે ચુંબકીય મોમેન્ટના પરિમાણ $[A][L^2]$ અને તેનો એકમ Am^2 છે.

સમીકરણ (4.29) પરથી આપણે જોઈ શકીએ કે જ્યારે m , ચુંબકીયક્ષેત્ર B ને સમાંતર કે પ્રતિસમાંતર દિશામાં હોય ત્યારે ટોક τ નાભુદ (શૂન્ય) થાય છે. આ સંતુલન સ્થિતિ દર્શાવે છે, કારણ કે ગૂંચળા પર કોઈ ટોક લાગતું નથી (આ હકીકત ચુંબકીય મોમેન્ટ (ચાકમાત્રા) m ધરાવતા કોઈ પણ પદાર્થ માટે લાગુ પડે છે). જ્યારે m અને B સમાંતર હોય ત્યારે સંતુલન સ્થિર હોય છે. ગૂંચળાનું થોડુંક પણ

બ્રમણ ટોક્ક ઉત્પન્ન કરે છે, જે તેને મૂળ સ્થિતિમાં લાવે છે. જ્યારે તેઓ પ્રતિસમાંતર હોય, ત્યારે સંતુલન અસ્થિર હોય છે કારણ કે કોઈ પણ કોણાવર્તન (બ્રમણ) ટોક્ક ઉત્પન્ન કરે છે અને તે, કોણાવર્તનનું મૂલ્ય વધે તેમ વધે છે. આ ટોકના કારણે જ કોઈ નાના ચુંબક કે કોઈ ચુંબકીય ડાઈપોલને બાખ્ય ચુંબકીયકેત્રમાં મુક્તાં તેની (આ ક્ષેત્રની) દિશામાં ગોઠવાઈ જાય છે.

જો ગૂંચળાને પાસપાસે વિંટાળેલા N આંટા હોય, તો પણ ટોક્ક માટેનું સમીકરણ (4.29) સાચું રહે છે, કે જેથી

$$m = NIA \quad (4.30)$$

ઉદાહરણ 4.11 પાસપાસે વિંટાળેલા 100 આંટાવાળું, 10 cm ત્રિજ્યાનું એક વર્તુળાકાર ગૂંચળું 3.2 A વિદ્યુતપ્રવાહ ધરાવે છે. (a) આ ગૂંચળાના કેન્દ્રમાં કેટલું (ચુંબકીય) ક્ષેત્ર હશે? (b) ગૂંચળાની ચુંબકીય મોમેન્ટ (ચાકમાત્રા) કેટલી હશે?

ગૂંચળાને શિરોલંબ સમતલમાં એવી રીતે રાખેલું છે કે જેથી તે તેના વ્યાસ સાથે એક રેખસ્થ એવી સમક્ષિતિજ અક્ષ પર મુક્ત રીતે બ્રમણ કરી શકે. 2 T જેટલું નિયમિત સમક્ષિતિજ ચુંબકીયકેત્ર એવી રીતે પ્રવર્તે (રહેલું) છે કે જેથી શરૂઆતમાં ગૂંચળાની અક્ષ આ ક્ષેત્રની દિશામાં (એક રેખસ્થ) હોય. ચુંબકીયકેત્રની અસર હેઠળ આ ગૂંચળું 90° કોણ જેટલું બ્રમણ કરે છે. (c) ગૂંચળાની પ્રારંભિક અને અંતિમ સ્થિતિઓમાં તેના પર લાગતા ટોકના મૂલ્યો કેટલા હશે? (d) જ્યારે ગૂંચળું 90° કોણ પાસે પહોંચે ત્યારે તેણે કેટલી કોણીય ઝડપ પ્રાપ્ત કરી હશે? ગૂંચળાની જડત્વની ચાકમાત્રા 0.1 kg m² છે.

ઉક્તાં

(a) સમીકરણ (4.16) પરથી

$$B = \frac{\mu_0 NI}{2R}$$

અહીંથાં, N = 100; I = 3.2 A અને R = 0.1 m. આથી,

$$B = \frac{4\pi \times 10^{-7} \times 10^2 \times 3.2}{2 \times 10^{-1}} = \frac{4 \times 10^{-5} \times 10}{2 \times 10^{-1}}, (\pi \times 3.2 = 10 \text{ હેતા}) \\ = 2 \times 10^{-3} \text{ T}$$

બ્રમણાંથના અંગૂઠાના નિયમ પરથી દિશા મેળવી શકાય.

(b) સમીકરણ (4.30) પરથી ચુંબકીય મોમેન્ટ,

$$m = NIA = NI\pi r^2 = 100 \times 3.2 \times 3.14 \times 10^{-2} = 10 \text{ Am}^2$$

અહીંથાં પણ દિશા, જમણા-હાથના અંગૂઠાના નિયમ પરથી મેળવી શકાય.

(c) $\tau = |m \times B|$ [સમીકરણ (4.29) પરથી]

$$= m B \sin\theta$$

શરૂઆતમાં $\theta = 0$. આથી, શરૂઆતનું ટોક $\tau_i = 0$

અંતમાં, $\theta = \pi/2$ (અથવા 90°)

આથી, અંતિમ ટોક $\tau_f = m B = 10 \times 2 = 20 \text{ N m}$

(d) ચૂંટના બીજા નિયમ પરથી,

$$\oint \frac{d\omega}{dt} = mB \sin\theta$$

જ્યાં, \oint એ ગૂંચળાની જડત્વની ચાકમાત્રા છે. શૂંખલા (Chain)ના નિયમ મુજબ

$$\frac{d\omega}{dt} = \frac{d\omega}{d\theta} \frac{d\theta}{dt} = \frac{d\omega}{d\theta} \omega$$

જેનો ઉપયોગ કરીને,

$$\oint \omega d\omega = mB \sin\theta d\theta$$

$\theta = 0$ થી $\theta = \pi/2$ સુધી સંકલન કરતાં,

$$\oint_0^{\omega_f} \omega d\omega = mB \int_0^{\pi/2} \sin \theta d\theta$$

$$\oint \frac{\omega^2}{2} = -mB \cos \theta \Big|_0^{\pi/2} = mB$$

$$\omega_f = \left(\frac{2mB}{g} \right)^{1/2} = \left(\frac{2 \times 20}{10^{-1}} \right)^{1/2} = 20 \text{ s}^{-1}$$

ઉદાહરણ 4.12

- (a) વિદ્યુતપ્રવાહ ધારિત એક વર્તુળાકાર ગૂંચણું, લીસા સમક્ષિતિજ સમતલ પર રહેલું છે. એવું કોઈ નિયમિત ચુંબકીયક્ષેત્ર ઉત્પન્ન કરી શકાય કે જેથી ગૂંચણું જાતે (શિરોલંબ અક્ષને અનુલક્ષીને) બ્રમજા કરવા લાગે ?
- (b) વિદ્યુતપ્રવાહ ધારિત એક વર્તુળાકાર ગૂંચણું બાબ્ય નિયમિત ચુંબકીયક્ષેત્રમાં રહેલું છે. જો ગૂંચણું મુક્ત બ્રમજા કરી શકે એવું હોય, તો સ્થિર (સ્થાભી) સંતુલનમાં તે કઈ દિશામાં ગોઠવાયું હશે ? દર્શાવો કે આ ગોઠવણીમાં કુલ ક્ષેત્ર (બાબ્યક્ષેત્ર + ગૂંચળા વડે ઉદ્ભબવેલું ક્ષેત્ર) નાનું ફ્લૂક્સ મહત્તમ હશે.
- (c) અનિયમિત આકાર ધરાવતું વિદ્યુતપ્રવાહ ધારિત ગૂંચણું બાબ્ય નિયમિત ચુંબકીયક્ષેત્રમાં રહેલું છે. જો તાર નરમ (વળી શકે તેવો ઢીલો, લચીલો) હોય, તો શા માટે તે વર્તુળ આકાર ધારણ કરે છે ?

ઉક્તાનું

- (a) ના, કારણ કે તે માટે τ શિરોલંબ દિશામાં હોવું જોઈએ. પરંતુ $\tau = I A \times B$, અને સમક્ષિતિજ ગૂંચળા માટે A શિરોલંબ દિશામાં હોવાથી, કોઈપણ B માટે τ ગૂંચળાના સમતલમાં હશે.
- (b) સ્થિર સંતુલનમાં ગોઠવાવાનો અર્થ એ કે ગૂંચળાનો ક્ષેત્રફળ સંદિશ A બાબ્ય ચુંબકીયક્ષેત્રની દિશામાં ગોઠવાયેલ હોય. આ સ્થિતિમાં, ગૂંચળા વડે ઉદ્ભબવેલું ચુંબકીયક્ષેત્ર, બાબ્ય ચુંબકીયક્ષેત્રની દિશામાં હોય અને બંને ગૂંચળાના સમતલને લંબ રૂપે હોય, જેથી કુલ (ચુંબકીય) ક્ષેત્રનાનું ફ્લૂક્સ મહત્તમ થાય.
- (c) આપેલ પરિયોજના માટે, બીજા આકાર કરતાં વર્તુળ આકાર મહત્તમ ક્ષેત્રફળ ધરાવતો હોવાથી, જ્યારે તે (ગૂંચળા) ચુંબકીયક્ષેત્રને લંબરૂપે હોય ત્યારે મહત્તમ ફ્લૂક્સ આવરી લેવા તે વર્તુળ આકાર ધારણ કરે છે.

4.10.2 ચુંબકીય ડાયપોલ તરીકે વિદ્યુતપ્રવાહ ધારિત વર્તુળાકાર ગૂંચણું (Circular Current Loop as a Magnetic Dipole)

આ પરિચ્છેદમાં આપણે સાદો ચુંબકીય ઘટક : એટલે કે વિદ્યુતપ્રવાહ ધારિત ગૂંચણું, ધ્યાનમાં લઈશું. આપણે દર્શાવીશું કે વિદ્યુતપ્રવાહ ધારિત વર્તુળાકાર ગૂંચળાના કારણે (લાંબા અંતરે) ઉદ્ભબવતું ચુંબકીયક્ષેત્ર, વિદ્યુત ડાયપોલના વિદ્યુતક્ષેત્ર જેવું જ છે. પરિચ્છેદ 4.6માં આપણે વિદ્યુતપ્રવાહ I ધારિત, R ત્રિજ્યાના, વર્તુળાકાર ગૂંચળા વડે તેની અક્ષ પર ઉદ્ભબવતા ચુંબકીયક્ષેત્રની ગણતરી કરી હતી. આ (ચુંબકીય) ક્ષેત્રનાનું મૂલ્ય [સમીક્ષણ (4.15)],

$$B = \frac{\mu_0 I R^2}{2(x^2 + R^2)^{3/2}}$$

એ અને તેની દિશા જમણા-દાથના અંગુઠાના નિયમ [આકૃતિ 4.12] મુજબ અક્ષ પર હોય છે. અહીં, x એ ગૂંચળાના કેન્દ્રથી તેની અક્ષ પર (આપેલ બિંદુનું) અંતર છે. $x >> R$ માટે આપણે છેદમાં આવેલ R^2 પદ અવગાળી શકીએ. આથી,

$$B = \frac{\mu_0 I R^2}{2x^3}$$

નોંધો કે ગૂંઘળાનું ક્ષેત્રફળ $A = \pi R^2$. આથી,

$$B = \frac{\mu_0 I A}{2\pi x^3}$$

અગાઉની જેમ, આપણે $I A$ મૂલ્ય ધરાવતી ચુંબકીય મોમેન્ટ (ચાકમાગ્રા)ને $\mathbf{m} = I \mathbf{A}$ વડે વાખ્યાયિત કરી શકીએ. આથી,

$$\begin{aligned} \mathbf{B} &= \frac{\mu_0 \mathbf{m}}{2\pi x^3} \\ &= \frac{\mu_0}{4\pi} \frac{2\mathbf{m}}{x^3} \end{aligned} \quad [4.31(a)]$$

સમીકરણ [4.31(a)] વડે દર્શાવેલું સૂત્ર, અગાઉ ડાયપોલના વિદ્યુતક્ષેત્ર માટે મેળવેલ સૂત્ર જેવું જ છે. જો આપણે

$$\mu_0 \rightarrow 1/\epsilon_0$$

$$\mathbf{m} \rightarrow \mathbf{p}_e \text{ (સ્થિત વિદ્યુત ડાયપોલ)}$$

$$\mathbf{B} \rightarrow \mathbf{E} \text{ (સ્થિત વિદ્યુતક્ષેત્ર)}$$

મુક્કીએ તો આપણને આ સમાનતા જોવા મળે છે. આ પરથી આપણને,

$$\mathbf{E} = \frac{2\mathbf{p}_e}{4\pi \epsilon_0 x^3}$$

જે પ્રકરણ-1 વિભાગ 1.10 [સમીકરણ (1.20)]માં વિદ્યુતડાયપોલ વડે તેની અક્ષ પરના કોઈ બિંદુએ મળતા વિદ્યુતક્ષેત્ર જેવું જ છે.

ઉપરની સાચ્યતા હજુ આગળ વધારી શકાય. પ્રકરણ-1માં આપણે જોયું હતું કે ડાયપોલના લંબ દ્વિભાજક પર વિદ્યુતક્ષેત્ર

$$\mathbf{E} = \frac{\mathbf{p}_e}{4\pi \epsilon_0 x^3}$$

વડે આપી શકાય [જુઓ સમીકરણ (1.21)], જ્યાં x એ ડાયપોલથી અંતર છે. ઉપરના સમીકરણમાં જો આપણે $\mathbf{p} \rightarrow \mathbf{m}$ અને $\mu_0 \rightarrow 1/\epsilon_0$ બદલીએ, તો આપણને ગૂંઘળાના સમતલમાં તેના કેન્દ્રથી x અંતરે આવેલા બિંદુ પાસે \mathbf{B} નું મૂલ્ય મળે. $x \gg R$ માટે,

$$\mathbf{B} = \frac{\mu_0 \mathbf{m}}{4\pi x^3} \quad x \gg R \quad [4.31(b)]$$

સમીકરણો [(4.31(a)) અને [4.31(b)]] વડે મળતા પરિણામો બિંદુવત ચુંબકીય ડાઇપોલ માટે એકદમ ચોક્કસ મળે.

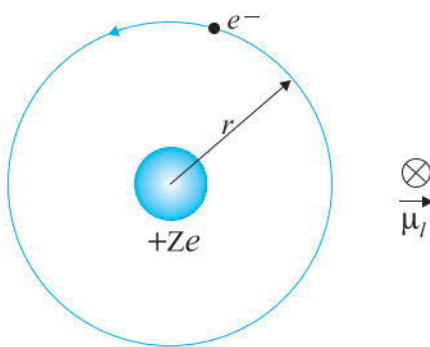
ઉપર મેળવેલા સમીકરણો કોઈ પણ સમતલ ગૂંઘળા પર લાગુ પારી શકાય. વિદ્યુતપ્રવાહ ધારિત સમતલ ગૂંઘળું એ $\mathbf{m} = I \mathbf{A}$ જેટલી ડાયપોલ મોમેન્ટ (ચાકમાગ્રા) ધરાવતા ચુંબકીય ડાયપોલને સમતુલ્ય છે, જ્યાં \mathbf{m} વિદ્યુત ડાયપોલ મોમેન્ટ \mathbf{p} સાથે સાચ્યતા ધરાવે છે. આમ છતાં, એક પાયાનો તફાવત નોંધવો જોઈએ કે વિદ્યુત ડાયપોલ એ બે મૂળભૂત એકમો વિદ્યુતભારો (અથવા વિદ્યુત એક્ષ્યુપ્પીઓ-Monopoles)નો બનેલો છે. ચુંબકત્વમાં, ચુંબકીય ડાયપોલ (અથવા વિદ્યુતપ્રવાહ ધારિત ગૂંઘળું) એ સૌથી મૂળભૂત (પ્રાથમિક) ઘટક છે. વિદ્યુતભારોને સમતુલ્ય એટલે કે ચુંબકીય એક ધ્રુવીઓ, અસ્તિત્વમાં હોવાનું માલુમ પડ્યું નથી.

આપણે દર્શાવ્યું છે કે, વિદ્યુતપ્રવાહ ધારિત ગૂંઘળું (i) ચુંબકીયક્ષેત્ર ઉત્પન્ન કરે છે (જુઓ આકૃતિ 4.12) અને મોટા અંતરો માટે ચુંબકીય ડાયપોલ તરીકે વર્તે છે, અને (ii) ચુંબકીય સોયની માફક ટોક અનુભવે છે.

આ હકीकતને લીધે એમ્પિયરે એવું સૂચન કર્યું કે, બધું જ ચુંબકત્વ ભ્રમણ કરતા (વર્તુળમાર્ગ) વિદ્યુતપ્રવાહોને આભારી છે. આ થોડા અંશે સાચું પણ લાગે છે અને હજુ સુધી કોઈ પણ ચુંબકીય એક પ્રુવીઓ જોવામાં આવી નથી. આમ છતાં, ઈલેક્ટ્રોન કે પ્રોટોન જેવા પ્રાથમિક કણો જે આંતરિક (આગવી) ચુંબકીય મોમેન્ટ ધરાવે છે, જે ભ્રમણ કરતા (વર્તુળમાર્ગ) વિદ્યુતપ્રવાહ પર આધારિત નથી.

4.10.3 પરિભ્રમણ કરતા ઈલેક્ટ્રોનની ચુંબકીય ડાયપોલ મોમેન્ટ (ચાકમાત્રા) (The Magnetic Dipole Moment of a Revolving Electron)

પ્રકરણ-12માં આપણે હાઇડ્રોજન પરમાણુના બોહર મોડેલ વિશે ભણીશું. તમે કદાચ આ મોડેલ વિશે સાંભળ્યુ હશે કે જે ડાયપોલ (Danish) ભૌતિકવિજ્ઞાની નિલ્સ બોહરે (Niels Bohr) 1911માં રજુ કર્યું



આફ્ટિ 4.23 હાઇડ્રોજન જેવા પરમાણુઓ માટે બોહર મોડેલમાં અણ વિદ્યુતભાર ધારિત ઈલેક્ટ્રોન નિયમિત જડપથી કેન્દ્રમાં રહેલા ધન વિદ્યુતભાર (+Z e) ધારિત ન્યુક્લિઅસની આસપાસ ભ્રમણ કરે છે. ઈલેક્ટ્રોનની વર્તુળકાર માર્ગ નિયમિત ગતિ વિદ્યુતપ્રવાહ રહે છે. ચુંબકીય મોમેન્ટની દિશા પૃષ્ઠના સમતલમાં અંદરની તરફ છે જે બાજુમાં અલગથી છે. દર્શાવી છે.

હતું અને તે નવા પ્રકારના યંત્રશાસ્ત્ર, એટલે કે ક્વોન્ટમ યંત્રશાસ્ત્રની દિશામાં પહેલું પગથિયું હતું. બોહર મોડેલમાં, ઈલેક્ટ્રોન (ઋજુ વિદ્યુતભારિત કણ) ધન વિદ્યુતભારિત ન્યુક્લિઅસની આજુ બાજુ ભ્રમણ કરે છે, જે રીતે સૂર્યની આસપાસ ગ્રહ ભ્રમણ કરે છે. પ્રથમ કિર્સામાં આ બળ સ્થિત વિદ્યુતીય (કુલંબ બળ) છે જ્યારે ગ્રહ-સૂર્યના કિર્સામાં તે ગુરુત્વાકર્ષણ છે. ઈલેક્ટ્રોનનું બોહર નિરૂપણ આફ્ટિ 4.23માં દર્શાવ્યું છે.

વિદ્યુતભાર (-e) ($e = +1.6 \times 10^{-19}$ C) ધરાવતો ઈલેક્ટ્રોન, +Ze વિદ્યુતભાર ધરાવતા સ્થિર અને ભારે ન્યુક્લિઅસની આસપાસ નિયમિત વર્તુળકાર ગતિ કરે છે. તે વિદ્યુતપ્રવાહ I રહે છે, જ્યાં

$$I = \frac{e}{T} \quad (4.32)$$

અને T એ એક પરિભ્રમણ માટેનો સમય (આવર્તકાળ) છે. ધારોકે r એ ઈલેક્ટ્રોનની કક્ષાની ત્રિજ્યા, તથા v એ તેની કક્ષીય જડપ છે. આથી,

$$T = \frac{2\pi r}{v} \quad (4.33)$$

સમીકરણ (4.32)માં મુક્તાં, આપણને $I = ev/2\pi r$ મળે.

આ પરિભ્રમણ કરતા વિદ્યુતપ્રવાહ સાથે સંકળાયેલ ચુંબકીય મોમેન્ટ (ચાકમાત્રા) પણ મળે જેને સામાન્ય રીતે μ_l , વડે દર્શાવાય છે. સમીકરણ (4.28) પરથી તેનું મૂલ્ય, $\mu_l = I\pi r^2 = evr/2$.

આ ચુંબકીય મોમેન્ટ (ચાકમાત્રા)ની દિશા આફ્ટિ 4.23 મુજબ પૃષ્ઠના સમતલમાં અંદરની તરફ છે. [ઋજુ વિદ્યુતભાર ધારિત ઈલેક્ટ્રોન વિષમ ઘડી ગતિ કરતો હોય તો તે સમધી વિદ્યુતપ્રવાહ દર્શાવે છે અને તેથી અગાઉ દર્શાવ્યું હતું તે મુજબ જમણા હાથના નિયમ મુજબ આ દિશા મળે છે]. ઉપરના સમીકરણની જમણી બાજુને ઈલેક્ટ્રોનના દળ m_e સાથે ગુણી અને ભાગતાં

$$\begin{aligned} \mu_l &= \frac{e}{2m_e} (m_e vr) \\ &= \frac{e}{2m_e} l \end{aligned} \quad [4.34(a)]$$

અહીં, l એ કેન્દ્રમાં રહેલા ન્યુક્લિઅસની સાપેકે ઈલેક્ટ્રોનના કોણીય વેગમાન ("કક્ષીય" કોણીય વેગમાન) નું મૂલ્ય છે. સદિશની રીતે,

$$\mu_l = -\frac{e}{2m_e} l \quad [4.34(b)]$$

ઋજુ ચિહ્ન દર્શાવે છે કે ઈલેક્ટ્રોનનું કોણીય વેગમાન ચુંબકીય મોમેન્ટ (ચાકમાત્રા)ની વિસ્તૃત દિશામાં હોય છે.

ગતિમાન વિદ્યુતભારો અને ચુંબકત્વ

જો વિદ્યુતભાર ($-e$) ધરાવતા ઈલેક્ટ્રોનની જગ્યાએ આપણો ($+q$) વિદ્યુતભાર ધરાવતો કણ લીધો હોત, તો કોણીય વેગમાન અને ચુંબકીય મોમેન્ટ એક જ દિશામાં હોત. તેમના ગુણોત્તર

$$\frac{\mu_l}{l} = \frac{e}{2m_e} \quad (4.35)$$

ને ગાયરોમેન્ટેટિક (Gyromagnetic) ગુણોત્તર કહે છે અને તે અચળ હોય છે. ઈલેક્ટ્રોન માટે તેનું મૂલ્ય 8.8×10^{10} C/kg છે, જે પ્રયોગો દ્વારા ચકાસવામાં આવ્યું છે.

પરમાણુ કક્ષાએ પણ ચુંબકીય મોમેન્ટ (ચાકમાત્રા) હોય છે. એ હકીકત ઓમ્પિયરના, પરમાણુઓની ચુંબકીય મોમેન્ટ વિશેના સાહસિક અધિત્કને અનુમોદન આપે છે. ઓમ્પિયરે દર્શાવ્યા મુજબ, આ (પરમાણુની ચુંબકીય મોમેન્ટ) આપણને દ્વયોના ચુંબકીય ગુણધર્મો સમજાવવા માટે ઉપયોગી છે. શું આપણે પરમાણુક ડાઈપોલ મોમેન્ટ સાથે કોઈ સંઘાડી શકીએ? એનો જવાબ હા છે. બોહર મોડેલમાં આપણે આવું કરી શકીએ. બોહરે અધિત્ક આપ્યો કે કોણીય વેગમાન અમુક વિભિન્ન (પૃથક) મૂલ્યોનો સમૂહ (Set) ધરાવે છે, જે

$$l = \frac{n h}{2\pi} \quad (4.36)$$

છે, જ્યાં, n એ પ્રાકૃતિક સંખ્યા છે. $n = 1, 2, 3, \dots$ અને h એ અચળાંક છે જેને મેક્સ પ્લાન્કના માનમાં (પ્લાન્કનો અચળાંક) નામ અપાયું છે. તેનું મૂલ્ય $h = 6.626 \times 10^{-34}$ Js છે. આ પૃથકતાના નિયમને બોહરની કવોટમીકરણની શરત કહે છે. તેને વિસ્તૃત રૂપમાં આપણે પ્રકરણ-12માં સમજાશું. અહીં, આપણો હેતુ ફક્ત પ્રાથમિક ડાઈપોલ મોમેન્ટ (ચાકમાત્રા) શોધવાનો જ છે. $n = 1$ લઈએ તો, સમીકરણ (4.34) પરથી,

$$\begin{aligned} (\mu_l)_{\min} &= \frac{e}{4\pi m_e} h \\ &= \frac{1.60 \times 10^{-19} \times 6.63 \times 10^{-34}}{4 \times 3.14 \times 9.11 \times 10^{-31}} \\ &= 9.27 \times 10^{-24} \text{ Am}^2 \end{aligned} \quad (4.37)$$

જ્યાં, 'min' એ લઘુતમ મૂલ્ય દર્શાવે છે. આ મૂલ્યને બોહર મેગનેટોન (Bohr Magneton) કહે છે.

નિયમિત વર્તુળમય ગતિ કરતા કોઈપણ વિદ્યુતભાર સાથે ચુંબકીય મોમેન્ટ સંકળાપેલી હોય છે, જે સમીકરણ (4.34) જેવા સૂત્ર વડે આપી શકાય છે. આ ડાયપોલ ચાકમાત્રાને કશીય ચુંબકીય ચાકમાત્રા કહે છે આથી, μ_l માં 'l' આવે છે. કશીય મોમેન્ટ (ચાકમાત્રા) ઉપરંત, ઈલેક્ટ્રોનને આંતરિક (પ્રાકૃતિક) ચુંબકીય મોમેન્ટ પણ હોય છે, જેનું મૂલ્ય સમીકરણ (4.37) વડે મળતા મૂલ્ય જેટલું જ હોય છે. તેને સ્પિન ચુંબકીય મોમેન્ટ (ચાકમાત્રા) કહે છે. પરંતુ આપણે એ ત્વરિત (ઉમેરોએ છીએ કે ઈલેક્ટ્રોન પોતાનામાંથી પસાર થતી ધરી આસપાસ બ્રમજ કરે છે એવું નથી. ઈલેક્ટ્રોન પ્રાથમિક કણ છે અને તેને ભમરડા કે પૃથ્વીની જેમ ફરવા માટે કોઈ અંતર્ભેદ નથી. આમ છતાં તે આંતરિક ચુંબકીય મોમેન્ટ (ચાકમાત્રા) ધરાવે છે. લોંગડ અને બીજી (તેવી) ધાતુઓમાં અતિસુધ્રાષ્ટ્ર કક્ષાએ ચુંબકીય ગુણધર્મના મૂળ આ આંતરિક સ્પિન ચુંબકીય મોમેન્ટ સુધી દોરી જાય છે.

4.11 ચલિત ગૂંચળાવાળું ગોલ્વેનોમીટર

(THE MOVING COIL GALVANOMETER)

પરિપથોમાં વિદ્યુતપ્રવાહો અને વીજદાણની વિસ્તૃત ચર્ચા પ્રકરણ-3માં કરેલ હતી. પરંતુ આપણે તેમનું માપન કેવી રીતે કરી શકીએ? આપણો કેવી રીતે દાવો કરી શકીએ કે કોઈ પરિપથમાં વિદ્યુતપ્રવાહ 1.5 A અથવા કોઈ અવરોધના બે છેડા વચ્ચે વીજદાણ તફાવત 1.2 V છે? આકૃતિ 4.24માં આ હેતુ



Conversion of galvanometer into ammeter and voltmeter :
http://www.citycollegiate.com/galvanometer_XIIa.htm

ભૌતિકવિજ્ઞાન

માટે ખૂબ જ ઉપયોગી સાધનની રૂપરેખા દર્શાવી છે : જે ચલિત ગુંચળાવાળું ગોલ્વેનોમીટર (MCG) છે.

વિભાગ 4.10માં આપેલ સમજૂતીના આધારે આ સાધનનો સિક્ષાંત સમજ શકાય.

ગોલ્વેનોમીટર ઘણા આંટાવાળા ગુંચળાનું બનેલું છે, જે નિયમિત ત્રિજ્યાવર્તી ચુંબકીયક્ષેત્રમાં, તેની સ્થિર અક્ષની સાપેક્ષ મુક્ત ભ્રમણ કરી શકે છે. તેમાં એક નરમ લોખંડનો નળાકાર કેન્દ્રમાં હોય છે, જે આ ચુંબકીયક્ષેત્રને ત્રિજ્યાવર્તી તો કરે જ છે પણ સાથે ક્ષેત્રની તિપ્રતા પણ વધારે છે. જ્યારે ગુંચળામાંથી વિદ્યુતપ્રવાહ વહન થાય, ત્યારે તેના પર ટોર્ક લાગે છે. સમીકરણ (4.26) પરથી આ ટોર્કનું મૂલ્ય

$$\tau = NIAB$$

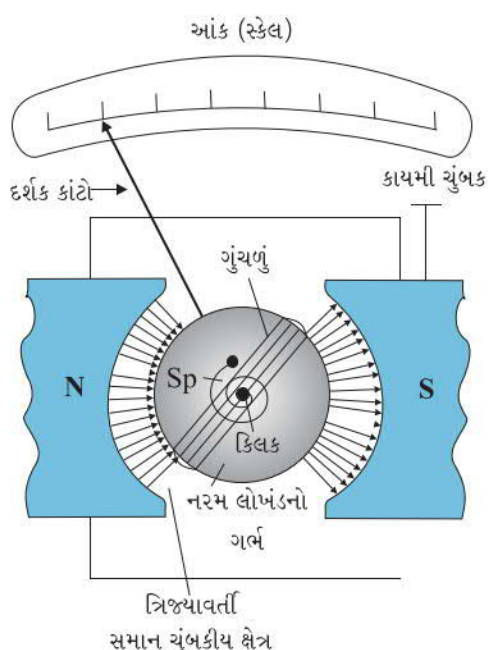
જ્યાં, સંજ્ઞાઓને તેમના પ્રચલિત અર્થ છે. અહીં (ચુંબકીય) ક્ષેત્ર ત્રિજ્યાવર્તી હોવાથી આપણે ઉપર દર્શાવેલ ટોર્કના સમીકરણમાં $\sin\theta = 1$ લીધું છે. ચુંબકીય ટોર્ક NIABના કારણે ગુંચળું કોણાવર્તન અનુભવે છે. સ્પ્રિંગ S_p વડે વિરુદ્ધ ટોર્ક $k\phi$ લાગે છે જે ચુંબકીય ટોર્ક NIABને સમતોલે છે; જેથી સ્થિર કોણાવર્તન ફળને સંતુલન સ્થિતિમાં

$$k\phi = NIAB$$

જ્યાં k એ સ્પ્રિંગનો બળ અચળાંક છે, એટલે કે, એકમ વળ દીઠ લાગતું પુનઃસ્થાપક ટોર્ક. સ્પ્રિંગ સાથે જોડાયેલ દર્શક (પોઈન્ટર) કોણાવર્તન ફલ દર્શાવે છે. આમ,

$$\phi = \left(\frac{NAB}{k} \right) I \quad (4.38)$$

આપેલ ગોલ્વેનોમીટર માટે કૌંસમાંનું પદ અચળ હોય છે.



આકૃતિ 4.24 ચલિત ગુંચળાવાળું ગોલ્વેનોમીટર. તેના ઘટકોનું વર્ણન લખાણમાં/પુસ્તકમાં કર્યું છે. જરૂરીયાત મુજબ, આ સાધનનો ઉપયોગ વિદ્યુતપ્રવાહની હાજરીની નોંધ લેવા માટે અથવા વિદ્યુતપ્રવાહનું મૂલ્ય માપવા (એમીટર) કે વીજદારાળ માપવા માટે (વોલ્ટમીટર) તરીકે થઈ શકે છે.

ગોલ્વેનોમીટરનો ઉપયોગ ઘણી રીતે થઈ શકે છે. તેનો ઉપયોગ કોઈ પરિપથમાંથી વિદ્યુતપ્રવાહ પસાર થતો હોય તો તેની હાજરીની નોંધ લેવા માટે થઈ શકે છે. વિસ્ટન બ્રીજની ગોઠવણીમાં તટસ્થ સ્થાન (Neutral Position) પાસે (જ્યારે ગોલ્વેનોમીટરમાંથી વિદ્યુતપ્રવાહ ન વહેતો હોય ત્યારે) દર્શક (ગોલ્વેનોમીટરનું પોઈન્ટર) માપન આંક સ્કેલ પર મધ્યમાં હોય છે અને આકૃતિ 4.24માં બતાવ્યા મુજબ ડાબી બાજુના છેડે હોતો નથી. વિદ્યુતપ્રવાહની દિશા મુજબ, દર્શકનું કોણાવર્તન જમણી કે ડાબી બાજુ થાય છે.

ગોલ્વેનોમીટરને વિદ્યુતપ્રવાહ માપવા માટે સીધું જ એમીટર તરીકે પરિપથમાં જોડી ન શકાય. આ માટે બે કારણો છે : (i) ગોલ્વેનોમીટર ખૂબ જ સંવેદનશીલ સાધન છે, MAના કમના વિદ્યુતપ્રવાહ માટે પણ તે પૂર્ણ સ્કેલ આવર્તન દર્શાવે છે. (ii) વિદ્યુતપ્રવાહ માપવા માટે, ગોલ્વેનોમીટરના શ્રેણીમાં જોડવું પડે, પરંતુ તેનો અવરોધ વધુ હોય છે, જેથી તે પરિપથમાં વહેતા વિદ્યુતપ્રવાહનું મૂલ્ય બદલી નાખે છે. આ તકલીફી દૂર કરવા માટે, આપણે નાના અવરોધ r_s , જેને શાંટ અવરોધ કરે છે, તે ગોલ્વેનોમીટરના ગુંચળાને સમાંતર જોડવો પડે જેથી મોટા ભાગનો વિદ્યુતપ્રવાહ આ શાન્ટમાંથી પસાર થઈ જાય. આ વ્યવસ્થાનો અવરોધ

$$R_G r_s / (R_G + r_s) = r_s \text{ થાય, જો } R_G \gg r_s$$

જો r_s નું મૂલ્ય બાકીના પરિપથના અવરોધ R_G કરતાં પ્રમાણમાં નાનું હોય, તો માપન માટે જોડેલા આ સાધનની અસર ઓછી થાય છે જે અવગણી શકાય. આ વ્યવસ્થાની રૂપરેખા આકૃતિ 4.25માં દર્શાવી છે. આ એમીટરનો

ગતિમાન વિદ્યુતભારો અને ચુંબકત્વ

સ્કેલ અંકન કરીને દર્શાવેલ છે. જેથી વિદ્યુતપ્રવાહનું મૂલ્ય સહેલાઈથી વાંચી શકાય. આપણે ગેલ્વેનોમીટરની પ્રવાહ સંવેદિતાને એકમ પ્રવાહ દીઠ મળતા આવર્તન વડે વ્યાખ્યાયિત કરીએ છીએ. સમીકરણ (4.38) પરથી આ પ્રવાહ સંવેદિતા,

$$\frac{\phi}{I} = \frac{NAB}{k} \quad (4.39)$$

તેના ઉત્પાદક માટે આ સંવેદિતા વધારવા માટેનો સહેલો ઉપાય એ છે કે આંટાઓની સંખ્યા N વધારવી. આપણે આપણા પ્રયોગમાં જરૂરીયાત મુજબની સંવેદિતાવાળું ગેલ્વેનોમીટર પસંદ કરીએ છીએ.

ગેલ્વેનોમીટરનો ઉપયોગ પરિપથના આપેલ ઘટકના બે છેડાઓ વચ્ચે વીજદબાણ માપવા માટે પણ થઈ શકે છે. આ માટે તેને પરિપથના એ વિભાગને સમાંતર જોડવું પડે. આ ઉપરાંત, તે ખૂબ ઓછો વિદ્યુતપ્રવાહ લેતું હોવું જોઈએ, નહીંતર આ વીજદબાણનું માપન મૂળભૂત ગોઠવણીનું મૂલ્ય મોટા પ્રમાણમાં બદલી નાખશે. સામાન્ય રીતે આપણે ઈશ્ચરીએ કે માપનના સાધન વડે થતો ફેરફાર એક ટકાથી ઓછો હોય. આમ થાય તે માટે, ગેલ્વેનોમીટરની શ્રેષ્ઠીમાં એક મોટો અવરોધ R જોડવામાં આવે છે. આ વ્યવસ્થાની રૂપરેખા આદૃતિ 4.26માં દર્શાવી છે. નોંધો કે હવે વોલ્ટમીટરનો અવરોધ

$$R_G + R \approx R : મોટું મૂલ્ય$$

વોલ્ટમીટરનો સ્કેલ પ્રમાણિત કરીને અંકિત કરવામાં આવે છે કે જેથી વીજદબાણનું મૂલ્ય સહેલાઈથી વાંચી શકાય. આપણે વોલ્ટમીટરની સંવેદિતાને એકમ વોલ્ટ (વીજદબાણ) દીઠ મળતા આવર્તન વડે વ્યાખ્યાયિત કરીએ છીએ. સમીકરણ (4.38) પરથી,

$$\frac{\phi}{V} = \left(\frac{NAB}{k} \right) \frac{1}{V} = \left(\frac{NAB}{k} \right) \frac{1}{R} \quad (4.40)$$

અહીં નોંધવા જેવી રસપ્રદ બાબત એ છે કે પ્રવાહ સંવેદિતા વધારીએ તો વોલ્ટેજ સંવેદિતા વધે એવું જરૂરી નથી. આપણે સમીકરણ (4.39)ને ધ્યાનમાં લઈએ જે પ્રવાહ સંવેદિતા આપે છે. જો $N \rightarrow 2N$, એટલે કે આપણે આંટાઓની સંખ્યા બમળી કરીએ, તો

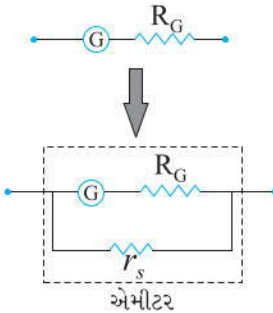
$$\frac{\phi}{I} \rightarrow 2 \frac{\phi}{I}$$

આમ, પ્રવાહ સંવેદિતા વધે છે. પરંતુ, આથી ગેલ્વેનોમીટરનો અવરોધ પણ બમળો થાય છે, કારણ કે તે તારની લંબાઈ પર આધાર રાખે છે. સમીકરણ (4.40)માં $N \rightarrow 2N$ અને $R \rightarrow 2R$, આથી, વોલ્ટેજ સંવેદિતા,

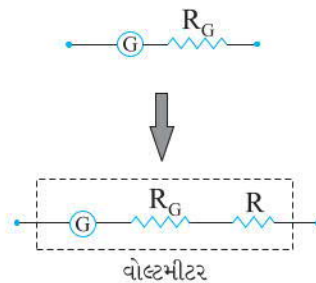
$$\frac{\phi}{V} \rightarrow \frac{\phi}{V}$$

જે બદલાતી નથી (અચળ રહે છે). આમ સામાન્ય રીતે ગેલ્વેનોમીટરના એમીટરમાં રૂપાંતર માટે જરૂરી બદલાવ એ તેના વોલ્ટમીટરમાં રૂપાંતર માટે જરૂરી બદલાવ કરતાં જુદો હોય છે.

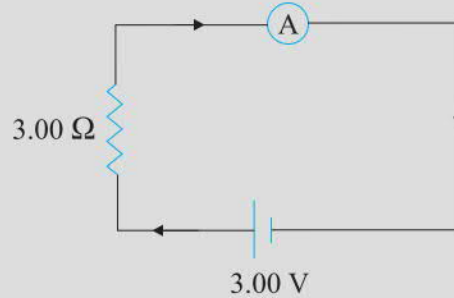
ઉદાહરણ 4.13 આપેલ પરિપથ (આદૃતિ 4.27)માં વિદ્યુતપ્રવાહ માપવાનો છે. જો દર્શાવેલ એમીટર (a) એ $R_G = 60.00 \Omega$ અવરોધનું ગેલ્વેનોમીટર હોય; (b) તે (a)માં દર્શાવ્યા મુજબનું ગેલ્વેનોમીટર હોય પરંતુ શાંટ અવરોધ $r_s = 0.02 \Omega$ વડે એમીટરમાં રૂપાંતર કરેલું હોય, (c) શૂન્ય અવરોધવાળું આદર્શ એમીટર હોય, તો વિદ્યુતપ્રવાહનું મૂલ્ય કેટલું મળશે?



આદૃતિ 4.25 ખૂબ નાના મૂલ્યના શાંટ અવરોધ Rને ગેલ્વેનોમીટર (G)ને સમાંતર જોડીને તેનું એમીટરમાં રૂપાંતર.



આદૃતિ 4.26 મોટા મૂલ્યના અવરોધ Rને ગેલ્વેનોમીટર (G) સાથે શ્રેષ્ઠીમાં જોડીને તેનું વોલ્ટમીટરમાં રૂપાંતર.



આહुति 4.27

ઉકेल

- (a) પરિપथનો કુલ અવરોધ
 $R_G + 3 = 63 \Omega$, આથી $I = 3/63 = 0.048 A$

(b) ઓમીટરમાં રૂપાંતર પામેલ ગોલ્વેનોમીટરનો અવરોધ

$$\frac{R_G r_s}{R_G + r_s} = \frac{60\Omega \times 0.02\Omega}{(60 + 0.02)\Omega} \approx 0.02 \Omega$$

પરિપથમાં કુલ અવરોધ

$$0.02 \Omega + 3 \Omega = 3.02 \Omega \text{ આથી, } I = 3/3.02 = 0.99 A$$

- (c) શૂન્ય અવરોધ વાળા આદર્શ ઓમીટર માટે,
 $I = 3/3 = 1.00 A.$

સારાંશ

- વિદ્યુત અને ચુંબકીયક્ષેત્રો E અને B માં v વેગથી ગતિ કરતા વિદ્યુતભાર q પર લાગતું કુલ બળ, લોરેન્જ બળ કહેવાય છે. તે નીચેના સૂત્ર મુજબ દર્શાવાય છે:
 $F = q(v \times B + E)$
- બાબુ ચુંબકીયક્ષેત્ર B માં રહેલો વિદ્યુતપ્રવાહ I ધારિત, I લંબાઈનો સીધો તાર F જેટલું બળ અનુભવે છે.
 $F = I I \times B$
જ્યાં $|I| = I$ અને I ની દિશા વિદ્યુતપ્રવાહની દિશામાં હોય છે.
- નિયમિત ચુંબકીયક્ષેત્ર B માં, વિદ્યુતભાર q વર્તુળાકાર કક્ષામાં ફરે છે, જે ચુંબકીયક્ષેત્ર B ને લંબ હોય છે. તેની નિયમિત વર્તુળાકાર ગતિની આવૃત્તિને સાઈક્લોટ્રોન આવૃત્તિ કહે છે, જે

$$v_c = \frac{qB}{2\pi m}$$

વડે દર્શાવાય છે. આ આવૃત્તિ કણની ઝડપ અને તેની (વર્તુળાકાર માર્ગની) ત્રિજ્યા પર આધાર રાખતી નથી. આ હકીકતનો ઉપયોગ સાઈક્લોટ્રોનમાં થાય છે, જે વિદ્યુતભારોને પ્રવેગિત કરવાનું કર્ય કરે છે.

- બાયોસાવરનો નિયમ દર્શાવે છે કે સ્થિર વિદ્યુતપ્રવાહ I ધારિત dI લંબાઈના ખંડને કારણે તેનાથી r અંતરે આવેલા બિંદુ P પાસે ઉદ્ભવતું ચુંબકીયક્ષેત્ર $d\mathbf{B}$ આ મુજબ મળે છે.

$$d\mathbf{B} = \frac{\mu_0}{4\pi} \frac{Idl \times \mathbf{r}}{r^3}$$

P બિંદુએ કુલ (ચુંબકીય) ક્ષેત્ર મેળવવા માટે, આપણો આ સદિશ સૂત્રનું સમગ્ર તારની લંબાઈ પર સંકલન કરવું પડે.

5. વિદ્યુતપ્રવાહ I ધારિત, R ત્રિજ્યાના વર્તુળાકાર ગૂંઘળા વડે તેની અક્ષ પર તેના કેન્દ્રથી R અંતરે ઉદ્ભવતા ચુંબકીયક્ષેત્રનું મૂલ્ય

$$B = \frac{\mu_0 IR^2}{2(x^2 + R^2)^{3/2}}$$

(ગૂંઘળાના) કેન્દ્ર પર તેનું મૂલ્ય

$$B = \frac{\mu_0 I}{2R} \quad \text{વડે અપાય છે.}$$

6. ઓભિયરનો સર્કિટલ નિયમ : ધારોકે એક બંધ ગાળા C વડે એક ખુલ્લી સપાઠી S ઘેરાયેલી છે, તો ઓભિયરનો નિયમ દર્શાવે છે કે $\oint \mathbf{B} \cdot d\mathbf{l} = \mu_0 I$, જ્યાં I એ

Sમાંથી પસાર થતો વિદ્યુતપ્રવાહ છે. નું ચિહ્ન જમણા હાથના નિયમ પરથી મેળવી શકાય છે. આપણો આ નિયમના સરળ સ્વરૂપની ર્ચર્ચા કરી છે. જો \mathbf{B} બંધ વક્ની પરિમિતિ L પરના દરેક બિંદુએ સ્પર્શકની દિશામાં હોય, અને પરિમિતિ પર દરેક જગ્યાએ તેનું મૂલ્ય એક જ હોય, તો

$$BL = \mu_0 I_e$$

જ્યાં I_e એ બંધ વક્ન વડે ઘેરાયેલો પરિણામી (ચોખ્ખો) વિદ્યુતપ્રવાહ છે.

7. વિદ્યુતપ્રવાહ I ધારિત, લાંબા સીધા તારથી R અંતરે ચુંબકીયક્ષેત્રનું મૂલ્ય

$$B = \frac{\mu_0 I}{2\pi R}$$

જેટલું હોય છે. ક્ષેત્રરેખાઓ તારને સમકેન્દ્રીત વર્તુળો હોય છે.

8. વિદ્યુતપ્રવાહ I ધારિત લાંબા સોલેનોઇડની અંદર ચુંબકીયક્ષેત્ર Bનું મૂલ્ય

$$B = \mu_0 nI$$

જ્યાં, n એ એકમ લંબાઈ દીઠ આંટાઓની સંખ્યા છે.

ટોરોઇડ માટે આ મૂલ્ય

$$B = \frac{\mu_0 NI}{2\pi r}$$

જેટલું મળે છે, જ્યાં N એ કુલ આંટાઓની સંખ્યા અને r એ સરેરાશ ત્રિજ્યા છે.

9. સમાંતર વિદ્યુતપ્રવાહો આકર્ષણી અને પ્રતિ-સમાંતર વિદ્યુતપ્રવાહો અપાકર્ષણી હોય છે.

10. પાસપાસે વિંટાળોલા N આંટા ધરાવતું, A ક્ષેત્રફળનું તથા વિદ્યુતપ્રવાહ I ધારિત સમતલ ગૂંઘળું, ચુંબકીય મોમેન્ટ (ચાકમાત્રા) m ધરાવે છે, જ્યાં,

$$m = NIA$$

અને m -ની દિશા જમણા-હાથના અંગુઠાના નિયમ પરથી મળે છે :

તમારી હથેળીને ગૂંઘળા પર એ રીતે વાળો કે જેથી તમારી આંગળીઓ વિદ્યુતપ્રવાહની દિશા દર્શાવે. આ સ્થિતિમાં તુલો અંગુઠો m (અને A)ની દિશા દર્શાવશે.

જ્યારે આ ગૂંઘળાને નિયમિત ચુંબકીયક્ષેત્ર \mathbf{B} માં મુકવામાં આવે ત્યારે તેના પર લાગતું બળ $F = 0$ અને ગૂંઘળા પર લાગતું ટોર્ક,

$$\tau = \mathbf{m} \times \mathbf{B}$$

ચલિત ગૂંઘળાવાળા ગેલ્વેનોમીટરમાં, આ ટોર્કને સ્પ્રિંગ વડે લાગતું વિરોધી ટોર્ક

સમતોલે છે. આથી,

$$k\phi = NIAB \text{ મળે.}$$

ભौतिकવिज्ञान

- જ્યાં, ϕ એ સંતુલન સ્થિતિમાંનું આવર્તન છે અને k એ સ્પ્રિંગનો બળ અચળાંક છે.
11. કેન્દ્રમાં રહેલા ન્યુક્લિઅસની આસપાસ ફરતા (બ્રમણ કરતા) ઈલેક્ટ્રોનની ચુંબકીય મોમેન્ટ (ચાકમાત્રા) M_B નું મૂલ્ય

$$\mu_B = \frac{e}{2m} l$$

જ્યાં, l એ કેન્દ્રમાં રહેલા ન્યુક્લિઅસની આસપાસ બ્રમણ કરતા ઈલેક્ટ્રોનના કોણીય વેગમાનનું મૂલ્ય છે. M_B ના લઘુતમ મૂલ્યને બોહર મેનેટોન M_B કહે છે જેનું મૂલ્ય $M_B = 9.27 \times 10^{-24} \text{ J/T}$.

12. ચલિત ગુંચળાવાળા ગેલ્વેનોમીટર સાથે શંટ અવરોધ r_s જોડીને તેને ઓમીટરમાં રૂપાંતરીત કરી શકાય છે. તેને (ગેલ્વેનોમીટરને) શ્રેષ્ઠીમાં મોટા મૂલ્યનો અવરોધ જોડીને તેનું વોલ્ટમીટરમાં રૂપાંતર કરી શકાય છે.

ભौતિક રાશિ	સંશા	પ્રકાર	પરિમાણ	એકમ	નોંધ
મુક્ત અવકાશની પરમિએબિલીટી	μ_0	અદિશ	$[MLT^{-2}A^{-2}]$	$T m A^{-1}$	$4\pi \times 10^{-7} T mA^{-1}$
ચુંબકીયક્ષેત્ર	B	સદિશ	$[M T^{-2} A^{-1}]$	T (ટ્રસ્લા)	
ચુંબકીય ચાકમત્રા (મોમેન્ટ)	m	સદિશ	$[L^2 A]$	$A m^2$ અથવા J/T	
બળ અચળાંક	k	અદિશ	$[M L^2 T^{-2}]$	$N m rad^{-1}$	(MCG)માં ઉપયોગી છે.

ગણ વિચારણાના મુદ્દાઓ

- સ્થિત વિદ્યુત ક્ષેત્ર રેખાઓ ધન વિદ્યુતભારમાંથી ઉદ્ભબે છે અને ઋણ વિદ્યુતભારમાં સમાઈ જાય છે અથવા અનંત અંતરે લુપ્ત થઈ જાય છે. ચુંબકીય ક્ષેત્રરેખાઓ હંમેશાં બંધ ગાળા રહ્યે છે.
- આ પ્રકરણમાં થયેલ ચર્ચા ફક્ત સ્થિર વિદ્યુતપ્રવાહો, જે સમય સાથે બદલાતા નથી તેમને માટે લાગુ પડે છે.
જ્યારે વિદ્યુતપ્રવાહો બદલાતા હોય ત્યારે ન્યૂટનનો ગ્રીઝો નિયમ તો જ લાગુ પડે, જો વિદ્યુત ચુંબકીયક્ષેત્ર વડે મળતું વેગમાનનું વહન ગણતરીમાં લેવામાં આવે.
- લોરેન્જ બળનું સૂત્ર યાદ કરો,

$$F = q(v \times B + E)$$

આ વેગ આધારિત બળે ઘણા બધા મોટા વૈજ્ઞાનિક વિચારકોનું ધ્યાન આકર્ષિત કર્યું છે. જો કોઈ તાત્કષિક ઝડપ v થી ગતિ કરતી ફેમ પર જાય તો બળનો ચુંબકીય ભાગ શૂન્ય થાય છે. અહીં વિદ્યુતભારીત કણની ગતિ એ રીતે સમજાવવામાં આવે છે કે નવી ફેમમાં યોગ્ય વિદ્યુતક્ષેત્ર રહેલું છે. આપણે કિયા વિશે વિસ્તારપૂર્વક ચર્ચા નહીં કરીએ. આમ છતાં, આપણે એ ધ્યાનમાં રાખીશું કે આ વિરોધભાસનો (ઉકેલ એ છે કે વિદ્યુત અને ચુંબકત્વ એકબીજા સાથે સંકળાયેલી ઘટનાઓ (વિદ્યુત ચુંબકત્વ) છે અને લોરેન્જ બળનું સૂત્ર ફુદરતમાં કોઈ સાર્વત્રિક પસંદગી પામેલ રેફરન્સ ફેને દર્શાવતું નથી.
- ઓમ્પિયરનો સર્કીટલ નિયમ, બાયોસાવરના નિયમથી સ્વતંત્ર નથી. તેને બાયો સાવરના નિયમ પરથી તારવી શકાય છે. તેનો બાયોસાવરના નિયમ સાથેનો સંબંધ, ગોસના નિયમ અને કુલંબના નિયમ વચ્ચેના સંબંધ જેવો છે.

સ્વાધ્યાય

- 4.1 8.0 cm નિજ્યા વાળા 100 આંટા ધરાવતા, તારના એક વર્તુળાકાર ગૂંચળામાંથી 0.40 A વિદ્યુતપ્રવાહ વહે છે. ગૂંચળાના કેન્દ્ર પાસે ચુંબકીયક્ષેત્ર **B**નું મૂલ્ય કેટલું હશે ?
- 4.2 એક લાંબા સીધા તારમાંથી 35 A વિદ્યુતપ્રવાહ વહે છે. તારથી 20 cm અંતરે રહેલા કોઈ બિંદુ પાસે ચુંબકીયક્ષેત્ર **B**નું મૂલ્ય કેટલું હશે ?
- 4.3 સમક્ષિતિજ સમતલમાં રહેલા એક લાંબા સીધા તારમાંથી 50 A જેટલો વિદ્યુતપ્રવાહ, ઉત્તરથી દક્ષિણ દિશા તરફ વહે છે. તારની પૂર્વમાં 2.5 m અંતરે આવેલા કોઈ બિંદુ પાસે **B**નું મૂલ્ય અને દિશા શોધો.
- 4.4 માથા પરથી પસાર થતા વીજળીના તારમાંથી 90 A વિદ્યુતપ્રવાહ પૂર્વથી પશ્ચિમ દિશા તરફ વહે છે. આ તારથી 1.5 m નીચે ચુંબકીયક્ષેત્રનું મૂલ્ય અને દિશા શું હશે ?
- 4.5 0.15 T ના નિયમિત ચુંબકીયક્ષેત્ર સાથે 30° કોણ બનાવતી દિશામાં રહેલા તારમાંથી 8 A વિદ્યુતપ્રવાહ વહે છે. આ તાર પર લાગતા ચુંબકીય બળનું મૂલ્ય કેટલું હશે ?
- 4.6 3.0 cm લંબાઈના તારમાંથી 10 A વિદ્યુતપ્રવાહ પસાર થાય છે, જેને એક સોલેનોઇડમાં તેની અક્ષને લંબરૂપે મુકેલો છે. સોલેનોઇડની અંદર ચુંબકીયક્ષેત્ર 0.27 T આપેલ છે. તાર પર કેટલું ચુંબકીય બળ લાગતું હશે ?
- 4.7 4 cm અંતરે રહેલા, બે લાંબા સીધા અને સમાંતર તાર **A** અને **B**માંથી 8.0 A અને 5.0 A વિદ્યુતપ્રવાહો એક જ (સમાન) દિશામાં વહે છે. તાર **A**ના 10 cm લંબાઈના વિભાગ પર લાગતું બળ શોધો.
- 4.8 80 cm લંબાઈના એક સોલેનોઇડ પર પાસ-પાસે દરેક 400 આંટા વાળા 5 આવરણ વિંટાળ્યા છે. સોલેનોઇડનો વ્યાસ 1.8 cm છે. જો સોલેનોઇડમાં 8.0 A વિદ્યુતપ્રવાહ વહેતો હોય, તો તેના કેન્દ્ર પાસે **B**નું મૂલ્ય શોધો.
- 4.9 10 cm બાજુઓ વાળા એક ચોરસ ગૂંચળાને 20 આંટા છે અને તેમાંથી 12 A વિદ્યુતપ્રવાહ પસાર થાય છે. આ ગૂંચળું શિરોલંબ લટકાવેલું છે અને ગૂંચળાના સમતલનો લંબ 0.80 T મૂલ્યના સમક્ષિતિજ નિયમિત ચુંબકીયક્ષેત્ર સાથે 30° કોણ બનાવે છે. ગૂંચળું કેટલા મૂલ્યનું ટોક અનુભવશે ?
- 4.10 બે ચલિત ગૂંચળાવાળા મીટરો **M**₁ અને **M**₂ની વિગત આ મુજબ છે :
 $R_1 = 10 \Omega, N_1 = 30,$
 $A_1 = 3.6 \times 10^{-3} \text{ m}^2, B_1 = 0.25 \text{ T}$
 $R_2 = 14 \Omega, N_2 = 42,$
 $A_2 = 1.8 \times 10^{-3} \text{ m}^2, B_2 = 0.50 \text{ T}$
(બંને મીટર માટે સ્થિર અચળાંક સરખા છે.)
- 4.11 **M**₁ અને **M**₂ માટે, (a) વિદ્યુતપ્રવાહ સંવેદિતાનો ગુણોત્તર, અને (b) વોલ્ટેજ સંવેદિતાનો ગુણોત્તર શોધો.
- 4.12 એક ઓરડામાં, 6.5 G ($1 \text{ G} = 10^{-4} \text{ T}$) જેટલું નિયમિત ચુંબકીયક્ષેત્ર રાખેલું છે. આ ક્ષેત્રમાં લંબ રૂપે એક ઈલેક્ટ્રોન 4.8 $\times 10^6 \text{ m s}^{-1}$ ઝડપે છોડવામાં આવે છે. ઈલેક્ટ્રોનનો માર્ગ વર્તુળાકાર કેમ હશે તે સમજાવો. વર્તુળાકાર કક્ષાની નિજ્યા શોધો.
($e = 1.6 \times 10^{-19} \text{ C}, m_e = 9.1 \times 10^{-31} \text{ kg}$)
- 4.13 સ્વાધ્યાય 4.11માં વર્તુળાકાર કક્ષામાં ઈલેક્ટ્રોનના ભ્રમણની આવૃત્તિ શોધો. શું આ જવાબ ઈલેક્ટ્રોનની ઝડપ પર આધાર રાખે છે ? સમજાવો.

- 4.13** (a) 1.0 T જેટલા નિયમિત સમક્ષિતિજ ચુંબકીયક્ષેત્રમાં 8.0 cm ત્રિજ્યા અને 30 આંટા ધરાવતું વર્તુળાકાર ગૂંચળું લટકાવેલ છે, જેમાંથી 6.0 A વિદ્યુતપ્રવાહ પસાર થાય છે. ક્ષેત્રરેખાઓ ગૂંચળાના લંબ સાથે 60° કોડા બનાવે છે. ગૂંચળાનું આવર્તન ન થાય તે માટે તેના પર લગાડવા પડતા જરૂરી વિરુદ્ધ દિશાના ટોર્કનું મૂલ્ય શોધો.
- (b) જો (a)માં દર્શાવેલ ગૂંચળાની જગ્યાએ અનિયમિત આકારનું બીજુ કોઈ સમતલ ગૂંચળું રાખવામાં આવે કે જેનું ક્ષેત્રક્ષેત્ર પણ એટલું જ હોય તો તમારો જવાબ બદલાશે? (બાકીની બીજી વિગતોમાં કોઈ ફેરફાર કર્યો નથી).

વધારાના સ્વાધ્યાય

- 4.14** બે સમકેન્દ્રિત વર્તુળાકાર ગૂંચળાઓ X અને Yની ત્રિજ્યા અનુક્રમે 16 cm અને 10 cm છે, જે ઉત્તરથી દક્ષિણ દિશામાં રહેલા એક જ શિરોલંબ સમતલમાં રહેલા છે. ગૂંચળા Xને 20 આંટા છે અને તેમાંથી પસાર થતો વિદ્યુતપ્રવાહ 16 A છે; જગ્યારે ગૂંચળા Yને 25 આંટા છે અને તેમાંથી 18 A વિદ્યુતપ્રવાહ પસાર થાય છે. પશ્ચિમ તરફ મોઢું રાખીને ઊભેલા અવલોકનકારની દાખિયા એ Xમાંથી પસાર થતો પ્રવાહ વિષમ ધરી અને Yમાંથી સમધડી દિશામાં છે. આ ગૂંચળાઓ વડે તેમના કેન્દ્ર પાસે ઉદ્ભબતા પરિણામી (ચોખા) ચુંબકીયક્ષેત્રનું મૂલ્ય અને દિશા શોધો.

- 4.15** 10 cm લંબાઈ અને 10^{-3} m^2 આઇછેદના ક્ષેત્રક્ષેત્ર ધરાવતા વિસ્તારમાં 100 G ($1 \text{ G} = 10^{-4} \text{ T}$) જેટલું નિયમિત ચુંબકીયક્ષેત્ર જરૂરી છે. એક ગૂંચળાના તારની મહત્તમ વિદ્યુતપ્રવાહ ધારણક્ષમતા 15 A છે તથા તેના કેન્દ્ર (Core)ની આસપાસ એકમ લંબાઈ દીઠ વધુમાં વધુ 1000 આંટા / m વીટાળી શકાય છે. આ માટે જરૂરી એવા સોલેનોઇડની યોગ્ય રચના સમજાવો. ધારો કે તેના કેન્દ્રમાં (Core માં) ફેરોમેનેટીક નથી.

- 4.16** R ત્રિજ્યા અને N આંટા ધરાવતા એક વર્તુળાકાર ગૂંચળામાંથી વિદ્યુતપ્રવાહ I પસાર થાય છે; અને તેની અક્ષ પર તેના કેન્દ્રથી x અંતરે ચુંબકીયક્ષેત્રનું મૂલ્ય

$$B = \frac{\mu_0 I R^2 N}{2(x^2 + R^2)^{3/2}} \quad \text{જેટલું છે.}$$

- (a) દર્શાવો કે ગૂંચળાના કેન્દ્ર પાસે આ સમીકરણ જાહીતા સમીકરણ જેવું બને છે.
(b) બે સમાંતર, એક અક્ષ પર આવેલા સમાન ત્રિજ્યા Rના ગૂંચળા વિચારો, જેમના આંટાની સંખ્યા N છે, તથા એક સમાન દિશામાં સમાન વિદ્યુતપ્રવાહ ધરાવે છે, અને તેમની વચ્ચેનું અંતર પણ R છે. દર્શાવો કે બે ગૂંચળાના મધ્યમાં, તેમની અક્ષ પર આવેલા બિંદુની આસપાસ Rની સરખામણીમાં નાના અંતર સુધી ચુંબકીયક્ષેત્ર નિયમિત હશે, જે લગભગ

$$B = 0.72 \frac{\mu_0 NI}{R}, \quad \text{વડે દર્શાવી શકાય.}$$

[અમુક નાના અંતર સુધી નિયમિત ચુંબકીયક્ષેત્ર ઉત્પન્ન કરી શકતી આ ગોઠવણીને ડેલ્મહોલ્ટ્ઝ ગૂંચળા કહે છે.]

- 4.17** 25 cm આંતરિક ત્રિજ્યા અને 26 cm બહારની ત્રિજ્યા ધરાવતા એક ટોરોઇડના Core (ગર્ભ-જે ફેરોમેનેટીક નથી)ની આસપાસ તારના 3500 આંટા વીટાળેલા છે. જો તાર માંથી 11 A વિદ્યુતપ્રવાહ પસાર થતો હોય, તો

- (a) ટોરોઇડની બહાર,
(b) ટોરોઇડના Coreની અંદર, અને
(c) ટોરોઇડ વડે ઘેરાયેલી ખાલી જગ્યામાં, ચુંબકીયક્ષેત્ર કેટલું હશે?

4.18 આપેલા પ્રશ્નોના જવાબ આપો :

- (a) એક ચેમ્બરમાં એવું ચુંબકીયક્ષેત્ર પ્રસ્થાપિત કરેલ છે કે જે જુદા જુદા બિંદુએ જુદુ હોય પરંતુ તેની દિશા એક જ હોય (પૂર્વથી પશ્ચિમ). એક વિદ્યુતભારિત કણ આ ચેમ્બરમાં દાખલ થાય છે અને આવર્તન અનુભવ્યા વગર અચળ ઝડપે સુરેખ માર્ગ પસાર થાય છે. આ કણના પ્રારંભિક વેગ વિશે તમે શું કહેશો ?

(b) તીવ્ર અને અનિયમિત ચુંબકીયક્ષેત્ર ધરાવતા વાતાવરણમાં ચુંબકીયક્ષેત્રનું મૂલ્ય અને દિશા જુદા જુદા બિંદુએ જુદા જુદા છે, તેમાં એક વિદ્યુતભારિત કણ દાખલ થાય છે અને જટિલ માર્ગ બહાર આવે છે. જો તેણે આ વાતાવરણ સાથે કોઈ પણ અથડામણ ન અનુભવી હોય તો શું તેની અંતિમ ઝડપ, તેની પ્રારંભિક ઝડપ જેટલી હશે ?

(c) પશ્ચિમથી પૂર્વ તરફ ગતિ કરતો એક ઈલેક્ટ્રોન ઉત્તરથી દક્ષિણ દિશામાં નિયમિત ચુંબકીયક્ષેત્ર ધરાવતી ચેમ્બરમાં દાખલ થાય છે. નિયમિત ચુંબકીયક્ષેત્રને કઈ દિશામાં લગાડવું જોઈએ કે જેથી ઈલેક્ટ્રોન કોઈ પણ કોણાવર્તન અનુભવ્યા વગર સીધી રેખામાં ગતિ કરે ?

4.19 કેથોડ ગરમ થવાથી ઉત્સર્જયેલ એક ઈલેક્ટ્રોન, 2.0 kV વિદ્યુત ત્રિયતિમાન તરફાવત વડે પ્રવેગિત થઈને, 0.15 T જેટલા નિયમિત ચુંબકીયક્ષેત્રના વિસ્તારમાં દાખલ થાય છે. જો આ ક્ષેત્ર,

- (a) પ્રારંભિક વેગને લંબ રૂપે હોય,
 (b) પ્રારંભિક વેગ સાથે 30° કોણ બનાવતું હોય, તો ઈલેક્ટ્રોનના ગતિ પથની ગણતરી કરો.

4.20 હેલ્પડોલ્ટજ ગુંચળાઓ (સ્વાધ્યાય 4.16માં દર્શાવેલ) ની મદદથી નાના વિસ્તારમાં 0.75 T મૂલ્યનું નિયમિત ચુંબકીયક્ષેત્ર ઉત્પન્ન કરવામાં આવ્યું છે. આ જ વિસ્તારમાં, ગુંચળાઓની સામાન્ય અક્ષને લંબ રૂપે નિયમિત સ્થિર વિદ્યુતક્ષેત્ર જાળવી રાખવામાં આવે છે. 15 kV વહે પ્રેવેગિત થયેલ (એક જ પ્રકારના) વિદ્યુતભારિત કણોની એક સાંકદી કિરણાવલી આ વિસ્તારમાં બંને ગુંચળાઓની અક્ષ તથા સ્થિર વિદ્યુતક્ષેત્ર બંનેને લંબરૂપે દાખલ થાય છે. જો $9.0 \times 10^{-5} \text{ Vm}^{-1}$ જેટલા સ્થિર વિદ્યુતક્ષેત્રમાં આ કિરણાવલી આવર્તન ન અનુભવે તો વિચારો કે આ કિરણાવલી શરીં બનેલી હશે? શા માટે જવાબ અજોડનથી?

4.21 0.45 m લંબાઈ અને 60 g દળનો એક સીધો વાહક સળીયો તેના છેડે બાંધેલા બે તાર વડે સમક્ષિતિજ લટકાવેલો છે. આ તારોમાં થઈને સળીયામાં 5.0 A જેટલો વિદ્યુતપ્રવાહ વહે છે.

- (a) આ વાહક સણીયાને લંબરુપે કેટલું ચુંબકીયક્ષેત્ર ઉત્પન્ન કરવું જોઈએ કે જેથી (લટકવેલ) તારોમાં તણાવ (Tension) શૂન્ય થાય ?

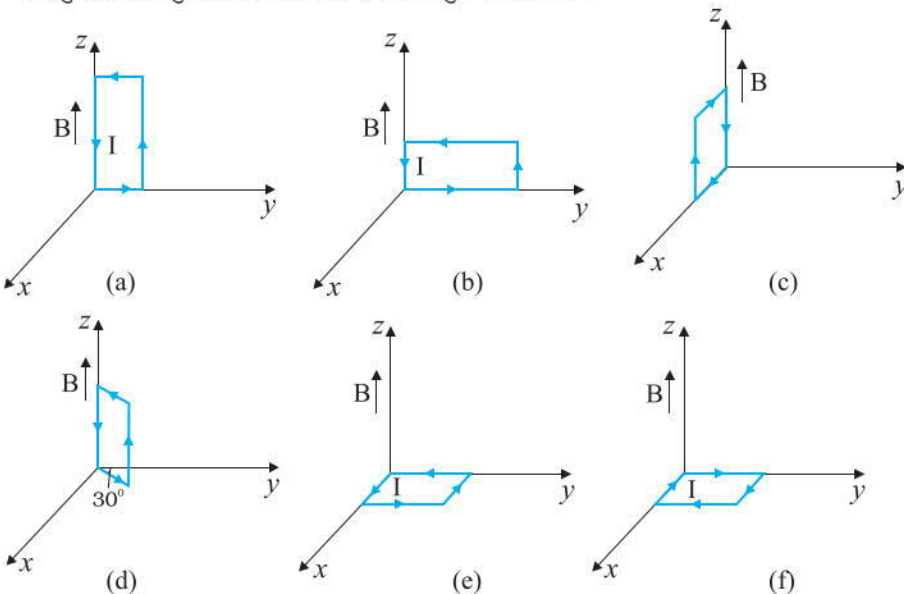
(b) જો ચુંબકીયક્ષેત્ર અને જ રહેવા દર્દીને વિવુતપ્રવાહની દિશા ઉલટાવવામાં આવે તો તારોમાં કુલ ટેન્શન (તણાવ) કેટલું હશે ? (તારોનું દળ અવગારો). $g = 9.8 \text{ m s}^{-2}$.

4.22 कारनी बेटरीने तेने चालू करती मोटर साथे जोड़ता तार 300 A विद्युतप्रवाह वहन करे छे (थोड़ाक समय माटे). आ तार 70 cm लांबा होय अने तेमनी वच्चेनुं अंतर 1.5 cm होय तो एकम लंबाई ठीक आ तारो वच्चे लागतुं बग केटलूं हशे? आ बग आकर्षीक अपाकर्षी हशे?

4.23 10.0 cm ત્રિજ્યાના નણાકાર વિસ્તારમાં 1.5 T જેટલું નિયમિત ચુંબકીયક્ષેત્ર છે જેની દિશા તેની અક્ષને સમાંતર પૂર્વથી પશ્ચિમ તરફ છે. 7.0 A વિદ્યુતપ્રવાહ ધારીત એક તાર આ વિસ્તારમાંથી ઉત્તરથી દક્ષિણ તરફ પસાર થાય છે. જો

- (a) તાર આ અક્ષને છિદે,
 (b) તારને ઉત્તર-દક્ષિણાંતર જગ્યાએ ઉત્તરપૂર્વ-દક્ષિણ પશ્ચિમ દિશા તરફ ફેરવવામાં આવે (લઈ જવામાં આવે),
 (c) ઉત્તર-દક્ષિણ દિશામાં રહેલા તારને અક્ષથી 6.0 cm જેટલો નીચે લેવામાં આવે, તો આ પરિસ્થિતિઓમાં તાર પર લાગતા (યંબડીય) બળનું મુલ્ય અને દિશા શું હશે ?

- 4.24 3000 G જેટલું નિયમિત ચુંબકીયક્ષેત્ર ધન z-અક્ષની દિશામાં ઉત્પન્ન કરેલું છે. 10 cm અને 5 cm બાજુઓ વાળા એક લંબચોરસ ગૂંઘળામાંથી 12 A વિદ્યુતપ્રવાહ પસાર થાય છે. આફુતિ 4.28માં દર્શાવેલ જુદા જુદા કિસ્સાઓમાં ગૂંઘળા પર લાગતું ટોક કેટલું હશે? દરેક કિસ્સામાં કેટલું બળ લાગતું હશે? કયો કિસ્સો સ્થાયી સંતુલન દર્શાવે છે?



આફુતિ 4.28

- 4.25 20 આંટા અને 10 cm ત્રિજ્યા ધરાવતું એક વર્તુળાકાર ગૂંઘળું, તેનું સમતલ 0.10 Tના નિયમિત ચુંબકીયક્ષેત્રને લંબરૂપે રહે તે રીતે મુકેલું છે. જો ગૂંઘળામાં 5.0 A વિદ્યુતપ્રવાહ વહેતો હોય, તો

- (a) ગૂંઘળા પરનું કુલ ટોક,
- (b) ગૂંઘળા પરનું કુલ બળ,
- (c) ચુંબકીયક્ષેત્રના કારણે ગૂંઘળાના તારમાંના દરેક ઈલેક્ટ્રોન પર લાગતું સરેરાશ બળ કેટલું હશે?

(ગૂંઘળું તાંબાના તારમાંથી બનેલું છે, જેના આડહેદનું ક્ષેત્રફળ 10^{-5} m^2 છે, અને તાંબા માટે મુક્ત ઈલેક્ટ્રોન ઘનતા $6 \times 10^{29} \text{ m}^{-3}$ જેટલી આપેલ છે.)

- 4.26 60 cm લંબાઈ અને 4.0 cm ત્રિજ્યા ધરાવતા સોલેનોઇડમાં દરેક 300 આંટાના હોય તેવા 3 સ્તર વિનિયોગ કરી શકતાની અનુભૂતિ કરી શકતી અનુભૂતિ અને સોલેનોઇડમાં (તેના કેન્દ્ર પાસે) અક્ષને લંબરૂપે રહેલો છે; તાર અને સોલેનોઇડની અક્ષ બંને સે સમક્ષિતજ સમતલમાં છે. આ તારને અક્ષને સમાંતર બે છેડાઓ વડે બાબું બેટરી સાથે જોડેલો છે, જેથી તારમાં 6.0 A વિદ્યુતપ્રવાહ વહે છે. સોલેનોઇડના આંટાઓમાંથી કેટલા મૂલ્યનો પ્રવાહ (વહનની યોગ્ય દિશા સાથે) વહન થવો જોઈએ કે જે તારના વજનને સમતોલે? $g = 9.8 \text{ m s}^{-2}$.

- 4.27 ગોલ્વેનોમીટરના ગૂંઘળાનો અવરોધ 12Ω છે અને 3 mA વિદ્યુતપ્રવાહ માટે તે પૂર્ણ સ્કેલનું આવર્તન દર્શાવે છે. આ મીટરને 0થી 18 Vની અવધિના વોલ્ટમીટરમાં તમે કેવી રીતે રૂપાંતરિત કરશો?

- 4.28 ગોલ્વેનોમીટરના ગૂંઘળાનો અવરોધ 15Ω છે અને 4 mA વિદ્યુતપ્રવાહ માટે તે પૂર્ણ સ્કેલનું આવર્તન દર્શાવે છે. તેને 0 થી 6 A અવધિના એમીટરમાં તમે કેવી રીતે રૂપાંતરિત કરશો?